

**DURABILITAS *CLAY SHALE* HAMBALANG LAPUK
DISTABILISASI DENGAN SEMEN *PORTLAND*
DAN ENERGI PEMADATAN BERLEBIH**

LAPORAN PENELITIAN



Oleh : DR. Ir. Idrus M. Alatas M.Sc

**PROGRAM STUDI MAGISTER TEKNIK SIPIL
FAKULTAS PASCASARJANA
INSTITUT SAINS DAN TEKNOLOGI
NASIONAL
JAKARTA
AGUSTUS 2022**

PENGESAHAN LAPORAN PENELITIAN

- 1 Judul Penelitian : **DURABILITAS CLAY SHALE HAMBALANG LAPUK
DISTABILISASI DENGAN SEMEN PORTLAND
DAN ENERGI PEMADATAN BERLEBIH**
- 2 Ketua Peneliti :
- i. Nama Lengkap : DR.Ir. Idrus M. Alatas M.Sc
- b. Jenis Kelamin : Laki-laki
- c. NIP : 11860032
- d. Disiplin ilmu : Geoteknik (Teknik Sipil)
- e. Pangkat/Golongan : Lektor /III d
- f. Jabatan : Dosen
- g. Fakultas/Prodi : Teknik Sipil dan Perencanaan / Teknik Sipil
- h. Alamat : Jl. Moh. Kahfi II, Srengseng Sawah Jak-Sel.
- i. Telpon/Faks/E-mail : 0218410387/hb_idrus@yahoo.com
- 3 Anggota Peneliti : ---
- 4 Lokasi Penelitian : Kampus ISTN, Srengseng Indah Jakarta
- 5 Jumlah biaya : 12.500.000,-

Jakarta, Agustus 2022

**Mengetahui,
Ketua Program Studi
Teknik Sipil**

Ketua Peneliti





Rafama Dewi S.Pd, M.Arch, MT

**Menyetujui,
Ketua LP2M – ISTN**



DR. Ir. Idrus M. Alatas

Ilr. Syahril Taufik, M.Sc.Eng., Ph.D

KATA PENGANTAR

Puji syukur saya panjatkan kepada Tuhan Yang Maha Esa, karena atas berkat dan rahmat-Nya, saya dapat menyelesaikan tesis ini. Penulisan tesis ini dilakukan dalam rangka memenuhi salah satu syarat untuk mencapai gelar Magister Teknik Program Studi Magister Teknik Sipil pada Fakultas Pasca Sarjana Institut Sains Dan Teknologi Nasional. Saya menyadari bahwa, tanpa bantuan dan bimbingan dari berbagai pihak, dari masa perkuliahan sampai pada penyusunan tesis ini, sangatlah sulit bagi saya untuk menyelesaikan tesis ini. Oleh karena itu, saya mengucapkan terima kasih kepada:

- a) Ir. Syahril Taufik , M.Sc. Eng, Ph.D, selaku Ka Prodi Magister Teknik Sipil, ISTN
- b) Dr. Ir. Idrus M. Alatas, M.T. selaku dosen pembimbing utama yang telah menyediakan waktu, tenaga, dan pikiran untuk mengarahkan saya dalam penyusunan tesis ini;
- c) Seluruh dosen yang telah mengajar dan membimbing saya, sejak awal perkuliahan di Kampus ISTN
- d) PT. Nindya Karya yang telah memberikan kesempatan untuk melanjutkan kuliah;
- c) Orang tua dan keluarga saya yang telah memberikan bantuan dukungan material dan moral; dan
- d) Rekan-rekan yang telah banyak membantu saya dalam menyelesaikan tesis ini.

Akhir kata, saya berharap Tuhan Yang Maha Esa berkenan membalas segala kebaikan semua pihak yang telah membantu. Semoga tesis ini membawa manfaat bagi pengembangan ilmu pengetahuan.

Jakarta, 20 Agustus 2022

Penulis

DR. Ir. Idrus M. Alatas M.Sc

ABSTRAK

Sifat mekanik *Clay Shale* sangat unik. Ketika kering akan menyusut dan mengeras, tetapi ketika menyerap air, itu membengkak dan sampai batas tertentu kehilangan kekuatannya sehingga kekuatan jatuh dapat terjadi secara tiba-tiba bahkan dengan beratnya sendiri. Karena sifat swell-shrink yang sangat dipengaruhi oleh iklim dan cuaca, daya tahan *Clay Shale* dapat menurun seiring waktu ketika bersentuhan langsung dengan udara dan air. Penelitian *Clay Shale* dilakukan di Hambalang, Bogor - Jawa Barat, Indonesia pada formasi Jatiluhur, menggunakan stabilisasi lapuk distabilisasi dengan semen portland dan energi pemadatan berlebih. dengan slaking dinamis (uji durabilitas slake). Uji slaking dinamis dilakukan sebanyak tiga kali yaitu setelah sampling dilakukan pemadatan 10, 20, dan 30 blow/layer. Dengan indeks plastisitas rendah, penelitian durabilitas di Hambalang berada dalam klasifikasi durabilitas sedang hingga durabilitas sedang-tinggi. Kemudian dilakukan pengujian terhadap energi pemadatan berlebih terhadap variasi stabilisasi semen portland dengan meningkatkan tambahan pressure. Untuk mengetahui pengaruh stabilisasi semen portland dengan komposisi 5%, 10% dan 15% terhadap *Clay Shale* pada kondisi perendaman 8 hari, memperlihatkan peningkatan slake durability indeks, dengan nilai tertinggi pada campuran 10% PC. Pada sampel dengan tambahan 15% PC dan dengan energi 30 blow + pressure menunjukkan peningkatan nilai Slake Durability Indeks yang paling tinggi yaitu sebesar 93,52%, kategori *Clay Shale* medium high. Walaupun demikian, perilaku tersebut tidak dapat kembali seperti kondisi asli *Clay Shale* (*fresh Clay Shale*).

Kata kunci: *Clay Shale*, durabilitas, Slaking index, semen portland

ABSTRACT

The mechanical properties of Clay Shale are very unique. When dry it will shrink and harden, but when it absorbs water, it swells and to some extent loses its shear strength so that falling forces can occur suddenly even with its own weight. Due to its swell-shrink nature which is strongly influenced by climate and weather, the durability of Clay Shale can decrease over time when it comes into direct contact with air and water. Clay Shale research was carried out in Hambalang, Bogor - West Java, Indonesia in the Jatiluhur formation, using weather stabilization stabilized with portland cement and excess compaction energy with dynamic slaking (slake durability test). The dynamic slacking test was carried out three times, namely after sampling, 10, 20, and 30 blows/layer compaction were performed. With a low plasticity index, the durability research in Hambalang is classified as moderate to medium-high durability. Then, a test of excess compaction energy was carried out on variations in the stabilization of portland cement by increasing additional pressure. To determine the effect of the stabilization of portland cement with a composition of 5%, 10%, and 15% on Clay Shale with curing in 8 days, it showed an increase in the slake durability index, with the highest value in a mixture of 10% PC. The sample with an additional 15% PC and with an energy of 30 blow + pressure shows enhancement to the highest Slake Durability Index value of 93.52%, %, with category of medium-high Clay Shale. However, this behavior cannot return to the original condition of Clay Shale (fresh Clay Shale).

Keywords: Clay Shale, durability, Slaking index, portland cement

ISTN

DAFTAR ISI

Halaman Judul	i
Pernyataan Orisinalitas	ii
Pernyataan Non Plagiat	iii
Pengesahan	iv
Kata Pengantar/Ucapan Terima Kasih	v
Pernyataan Persetujuan Publikasi	vi
Karya Ilmiah untuk Kepentingan Akademis	
Abstrak dan Abstract	vii
Daftar Isi	ix
Daftar Tabel	xi
Daftar Gambar	xiii
Daftar Persamaan	xviii
Daftar Notasi dan Simbol	xix
Daftar Lampiran	xx
BAB 1 PENDAHULUAN	
1.1 Latar Belakang	1
1.2 Rumusan Masalah	4
1.3 Tujuan Penelitian	4
1.4 Manfaat Penelitian	5
1.5 Batasan Masalah	5
1.6 Sistematika Penulisan	6
BAB 2 TINJAUAN PUSTAKA	
2.1 Penelitian yang Sejenis	7
2.2 Klasifikasi Tanah Lempung	14
2.3 Karakteristik <i>Clay Shale</i>	17
2.4 Ketahanan <i>Clay Shale</i>	19
2.5 Pemeriksaan Laboratorium Geoteknik	21
2.6 Pemasakan Tanah	25
2.7 Small Compaction Mould Test (Scmt) Method	26
2.8 Parameter Geoteknik <i>Clay Shale</i>	29
2.9 Analisis Parameter Geoteknik <i>Clay Shale</i>	35

BAB 3 METODE PENELITIAN

3.1 Model Penelitian	39
3.2 Lokasi Penelitian	40
3.3 Sumber Data dan Teknik Pengumpulan Data	41
3.4 Metoda Analisis Data	49
3.5 Bagan Alir	52

BAB 4 HASIL DAN PEMBAHASAN

4.1 Data Penelitian	53
4.2 Hasil Indeks	57
4.3 Parameter Pemadatan	62
4.4 Pengaruh Energi Pemadat	87
4.5 Resume Hasil Analisis dan Pembahasan	95

BAB 5 KESIMPULAN DAN SARAN

5.1 Kesimpulan	98
5.2 Saran	98

DAFTAR PUSTAKA

99

LAMPIRAN

Lampiran A Objek dan Lokasi Penelitian	101
Lampiran B Instrumen Penelitian	108
Lampiran C Rangkuman Data Hasil Analisis	127
Lampiran D Rangkuman Data Slake Durability index	144

DAFTAR TABEL

Tabel 2.1	Hasil Penelitian Sejenis (Jurnal Nasional)	7
Tabel 2.2	Hasil Penelitian Sejenis (Jurnal Internasional)	11
Tabel 2.3	Klasifikasi tanah untuk lapisan tanah dasar jalan raya	15
Tabel 2.4	Klasifikasi Durabilitas dari Gamble	21
Tabel 3.1	Berat Minimum Berdasarkan Ukuran Maksimum Partikel	43
Tabel 4.1	Hasil Pengujian Propertis Indeks <i>Clay Shale</i> Hambalang	57
Tabel 4.2	Data hasil uji <i>Clay Shale</i> Lapuk dengan 0% PC; 10 Blow/Layer	63
Tabel 4.3	Data hasil uji <i>Clay Shale</i> Lapuk dengan 0% PC; 20 Blow/Layer	65
Tabel 4.4	Data hasil uji <i>Clay Shale</i> Lapuk dengan 0% PC; 30 Blow/Layer	66
Tabel 4.5	Data hasil uji <i>Clay Shale</i> Lapuk dengan 0% PC; 30 Blow/Layer + <i>Pressure</i>	68
Tabel 4.6	Data hasil uji <i>Clay Shale</i> Lapuk dengan 5% PC; 10 Blow/Layer	70
Tabel 4.7	Data hasil uji <i>Clay Shale</i> Lapuk dengan 10% PC; 10 Blow/Layer	71
Tabel 4.8	Data hasil uji <i>Clay Shale</i> Lapuk dengan 15% PC; 10 Blow/Layer	73
Tabel 4.9	Data hasil uji <i>Clay Shale</i> Lapuk dengan 5% PC; 20 Blow/Layer	74
Tabel 4.10	Data hasil uji <i>Clay Shale</i> Lapuk dengan 10% PC; 20 Blow/Layer	76
Tabel 4.11	Data hasil uji <i>Clay Shale</i> Lapuk dengan 15% PC; 20 Blow/Layer	77
Tabel 4.12	Data hasil uji <i>Clay Shale</i> Lapuk dengan 5% PC; 30 Blow/Layer	79
Tabel 4.13	Data hasil uji <i>Clay Shale</i> Lapuk dengan 10% PC; 30 Blow/Layer	80
Tabel 4.14	Data hasil uji <i>Clay Shale</i> Lapuk dengan 15% PC; 30 Blow/Layer	82
Tabel 4.15	Data hasil uji <i>Clay Shale</i> Lapuk dengan 5% PC; 30 Blow/Layer + <i>Pressure</i>	83
Tabel 4.16	Data hasil uji <i>Clay Shale</i> Lapuk dengan 10% PC; 30 Blow/Layer + <i>Pressure</i>	85
Tabel 4.17	Data hasil uji <i>Clay Shale</i> Lapuk dengan 15% PC; 30 Blow/Layer + <i>Pressure</i>	86
Tabel 4.18	Hasil SDI <i>Clay Shale</i> lapuk yang dipadatan dengan metode SCMT dengan energi 10 blow/layer (setara dengan ASTM D 1557) tanpa dan dengan penambahan prosentase Semen Portland.....	87

Tabel 4.19 Hasil SDI <i>Clay Shale</i> lapuk yang dipadatkan dengan metode SCMT dengan energi 20 blow/layer (setara dengan ASTM D 1557) tanpa dan dengan penambahan prosentase Semen Portland.....	89
Tabel 4.20 Hasil SDI <i>Clay Shale</i> lapuk yang dipadatkan dengan metode SCMT dengan energi 30 blow/layer (setara dengan ASTM D 1557) tanpa dan dengan penambahan prosentase Semen Portland.....	91
Tabel 4.21 Hasil SDI <i>Clay Shale</i> lapuk yang dipadatkan dengan metode SCMT dengan energi 10 blow/layer (setara dengan ASTM D 1557) tanpa dan dengan penambahan prosentase Semen Portland + Pressure	93



DAFTAR GAMBAR

Gambar 2.1	Perubahan bentuk Perubahan bentuk fisik clay shale dari masa ke masa.....	17
Gambar 2.2	Ilustrasi perubahan <i>Clay Shale</i> terhadap masa akibat proses pelapukan	18
Gambar 2.3	Alat Slake Durability Test.....	20
Gambar 2.4	Mould SCMT	27
Gambar 2.5	Penentuan jumlah pukulan/lapisan dengan Trial Compaction	29
Gambar 2.6	Dua bagian skema klasifikasi berdasarkan minimal 50% partikel berukuran tanah liat	33
Gambar 2.7	<i>Gamble's geotechnical classification</i>	34
Gambar 2.8	<i>Deo's classification of shales</i>	35
Gambar 2.9	Distribusi Ukuran Butir	36
Gambar 2.10	<i>Clay Shale</i> classification Tol Cipularang.....	36
Gambar 2.11	Penentuan rasio disintegritas (DR) dengan hasil uji analisis ayakan	37
Gambar 2.12	Perbandingan perubahan DR <i>Clay Shale</i> akibat waktu pengeringan dan waktu siklus pembasahan pengeringan (a) <i>Clay Shale</i> Semarang-Bawen (b) <i>Clay Shale</i> Hambalang ...	37
Gambar 2.13	Hasil SDI dengan penambahan prosentase PC pada <i>Clay Shale</i> Cariu, Jonggol.	38
Gambar 3.1	Lokas Penelitian; <i>Clay Shale</i> Hambalang, Jawa Barat.....	40
Gambar 3.2	Konsep Pemikiran Pelaksanaan Penelitian	52
Gambar 4.1	Grafik Perbandingan <i>Dry Unit Weight Clay Shale</i> Lapuk Hambalang asli dan variasi kadar air dengan energy pemadat 10 Blow/layer (SCMT) methods setara energi <i>Modified Proctor</i> ASTM D 1557.....	62
Gambar 4.2	Grafik Perbandingan <i>Void Ratio Clay Shale</i> Lapuk Hambalang asli dan variasi kadar air dengan energy pemadat 10 Blow/layer (SCMT) methods setara energi <i>Modified Proctor</i> ASTM D 1557.....	63
Gambar 4.3	Grafik Perbandingan <i>Dry Unit Weight Clay Shale</i> Lapuk Hambalang asli dan variasi kadar air dengan energy pemadat 20 Blow/layer (SCMT) methods setara energi <i>Modified Proctor</i> ASTM D 1557.....	64
Gambar 4.4	Grafik Perbandingan <i>Void Ratio Clay Shale</i> Lapuk Hambalang asli dan variasi kadar air dengan energy pemadat 20 Blow/layer (SCMT) methods setara energi <i>Modified Proctor</i> ASTM D 1557.....	64

Gambar 4.5	Grafik Perbandingan <i>Dry Unit Weight Clay Shale</i> Lapuk Hambalang asli dan variasi kadar air dengan energy pemadat 30 Blow/layer (SCMT) methods setara energi <i>Modified Proctor</i> ASTM D 1557	65
Gambar 4.6	Grafik Perbandingan <i>Void Ratio Clay Shale</i> Lapuk Hambalang asli dan variasi kadar air dengan energy pemadat 30 Blow/layer (SCMT) methods setara energi <i>Modified Proctor</i> ASTM D 1557	67
Gambar 4.7	Grafik Perbandingan <i>Dry Unit Weight Clay Shale</i> Lapuk Hambalang asli dan variasi kadar air dengan energy pemadat 30 Blow/layer (SCMT) methods setara 3 kali energi <i>Modified Proctor</i> + pressure 14,09 kg/cm ²	67
Gambar 4.8	Grafik Perbandingan <i>Void Ratio Clay Shale</i> Lapuk Hambalang asli dan variasi kadar air dengan energy pemadat 30 Blow/layer (SCMT) methods setara 3 kali energi <i>Modified Proctor</i> + pressure 14,09 kg/cm ²	69
Gambar 4.9	Grafik Perbandingan <i>Dry Unit Weight Clay Shale</i> Lapuk Hambalang di tambah 5% PC dan variasi kadar air dengan energi pemadat 10 Blow/layer (SCMT) methods setara energi <i>Modified Proctor</i> ASTM D 1557	69
Gambar 4.10	Grafik Perbandingan <i>Void Ratio Clay Shale</i> Lapuk Hambalang di tambah 5% PC dan variasi kadar air dengan energi pemadat 10 Blow/layer (SCMT) methods setara energi <i>Modified Proctor</i> ASTM D 1557	69
Gambar 4.11	Grafik Perbandingan <i>Dry Unit Weight Clay Shale</i> Lapuk Hambalang di tambah 10% PC dan variasi kadar air dengan energi pemadat 10 Blow/layer (SCMT) methods setara energi <i>Modified Proctor</i> ASTM D 1557	70
Gambar 4.12	Grafik Perbandingan <i>Void Ratio Clay Shale</i> Lapuk Hambalang di tambah 10 % PC dan variasi kadar air dengan energi pemadat 10 Blow/layer (SCMT) methods setara energi <i>Modified Proctor</i> ASTM D 1557	71
Gambar 4.13	Grafik Perbandingan <i>Dry Unit Weight Clay Shale</i> Lapuk Hambalang di tambah 15% PC dan variasi kadar air dengan energi pemadat 10 Blow/layer (SCMT) methods setara energi <i>Modified Proctor</i> ASTM D 1557	72
Gambar 4.14	Grafik Perbandingan <i>Void Ratio Clay Shale</i> Lapuk Hambalang di tambah 15 % PC dan variasi kadar air dengan energi pemadat 10 Blow/layer (SCMT) methods setara energi <i>Modified Proctor</i> ASTM D 1557	72

Gambar 4.15	Grafik Perbandingan <i>Dry Unit Weight Clay Shale</i> Lapuk Hambalang di tambah 5% PC dan variasi kadar air dengan energi pematat 20 Blow/layer (SCMT) methods setara energi Modified Proctor ASTM D 1557	73
Gambar 4.16	Grafik Perbandingan <i>Void Ratio Clay Shale</i> Lapuk Hambalang di tambah 5% PC dan variasi kadar air dengan energi pematat 20 Blow/layer (SCMT) methods setara energi Modified Proctor ASTM D 1557	74
Gambar 4.17	Grafik Perbandingan <i>Dry Unit Weight Clay Shale</i> Lapuk Hambalang di tambah 10% PC dan variasi kadar air dengan energi pematat 20 Blow/layer (SCMT) methods setara energi Modified Proctor ASTM D 1557	75
Gambar 4.18	Grafik Perbandingan <i>Void Ratio Clay Shale</i> Lapuk Hambalang di tambah 10% PC dan variasi kadar air dengan energi pematat 20 Blow/layer (SCMT) methods setara energi Modified Proctor ASTM D 1557	75
Gambar 4.19	Grafik Perbandingan <i>Dry Unit Weight Clay Shale</i> Lapuk Hambalang di tambah 15% PC dan variasi kadar air dengan energi pematat 20 Blow/layer (SCMT) methods setara energi Modified Proctor ASTM D 1557	76
Gambar 4.20	Grafik Perbandingan <i>Void Ratio Clay Shale</i> Lapuk Hambalang di tambah 15% PC dan variasi kadar air dengan energi pematat 20 Blow/layer (SCMT) methods setara energi Modified Proctor ASTM D 1557	77
Gambar 4.21	Grafik Perbandingan <i>Dry Unit Weight Clay Shale</i> Lapuk Hambalang di tambah 5% PC dan variasi kadar air dengan energi pematat 30 Blow/layer (SCMT) methods setara energi Modified Proctor ASTM D 1557	78
Gambar 4.22	Grafik Perbandingan <i>Void Ratio Clay Shale</i> Lapuk Hambalang di tambah 5% PC dan variasi kadar air dengan energi pematat 30 Blow/layer (SCMT) methods setara energi Modified Proctor ASTM D 1557	78
Gambar 4.23	Grafik Perbandingan <i>Dry Unit Weight Clay Shale</i> Lapuk Hambalang di tambah 10% PC dan variasi kadar air dengan energi pematat 30 Blow/layer (SCMT) methods setara 3 kali energi Modified Proctor ASTM D 1557	79

Gambar 4.24	Grafik Perbandingan <i>Void ratio Clay Shale</i> Lapuk Hatmbalang di tambah 10% PC dan variasi kadar air dengan energi pemadat 30 Blow/layer (SCMT) methods setara 3 kali energi Modified Proctor ASTM D 1557	80
Gambar 4.25	Grafik Perbandingan <i>Dry Unit Weight Clay Shale</i> Lapuk Hambalang di tambah 15% PC dan variasi kadar air dengan energi pemadat 30 Blow/layer (SCMT) methods setara 3 kali energi Modified Proctor ASTM D 1557	81
Gambar 4.26	Grafik Perbandingan <i>Void ratio Clay Shale</i> Lapuk Hatmbalang di tambah 15% PC dan variasi kadar air dengan energi pemadat 30 Blow/layer (SCMT) methods setara 3 kali energi Modified Proctor ASTM D 1557	81
Gambar 4.27	Grafik Perbandingan <i>Dry Unit Weight Clay Shale</i> Lapuk Hambalang di tambah 5% PC dan variasi kadar air dengan energi pemadat 30 Blow/layer (SCMT) methods setara 3 kali energi Modified Proctor ASTM D 1557 ditambah <i>Pressure</i> 14,09 kg/cm ²	82
Gambar 4.28	Grafik Perbandingan <i>Dry Unit Weight Clay Shale</i> Lapuk Hambalang di tambah 5% PC dan variasi kadar air dengan energi pemadat 30 Blow/layer (SCMT) methods setara 3 kali energi Modified Proctor ASTM D 1557 ditambah <i>Pressure</i> 14,09 kg/cm ²	83
Gambar 4.29	Grafik Perbandingan <i>Dry Unit Weight Clay Shale</i> Lapuk Hambalang di tambah 10% PC dan variasi kadar air dengan energi pemadat 30 Blow/layer (SCMT) methods setara 3 kali energi Modified Proctor ASTM D 1557 ditambah <i>Pressure</i> 14,09 kg/cm ²	84
Gambar 4.30	Grafik Perbandingan <i>Dry Unit Weight Clay Shale</i> Lapuk Hambalang di tambah 10% PC dan variasi kadar air dengan energi pemadat 30 Blow/layer (SCMT) methods setara 3 kali energi Modified Proctor ASTM D 1557 ditambah <i>Pressure</i> 14,09 kg/cm ²	84
Gambar 4.31	Grafik Perbandingan <i>Dry Unit Weight Clay Shale</i> Lapuk Hambalang di tambah 15% PC dan variasi kadar air dengan energi pemadat 30 Blow/layer (SCMT) methods setara 3 kali energi Modified Proctor ASTM D 1557 ditambah <i>Pressure</i> 14,09 kg/cm ²	85
Gambar 4.32	Grafik Perbandingan <i>Dry Unit Weight Clay Shale</i> Lapuk Hambalang di tambah 15% PC dan variasi kadar air dengan energi pemadat 30 Blow/layer (SCMT) methods setara 3 kali energi Modified Proctor ASTM D 1557 ditambah <i>Pressure</i> 14,09 kg/cm ²	86

Gambar 4.33	Pengaruh energi pematat metode SCMT 10 blow/layer terhadap perubahan Slake Durability Index pada siklus ke-1	88
Gambar 4.34	Pengaruh energi pematat metode SCMT 10 blow/layer terhadap perubahan Slake Durability Index pada siklus ke-2	88
Gambar 4.35	Pengaruh energi pematat metode SCMT 20 blow/layer terhadap perubahan Slake Durability Index pada siklus ke-1	90
Gambar 4.36	Pengaruh energi pematat metode SCMT 20 blow/layer terhadap perubahan Slake Durability Index pada siklus ke-2	90
Gambar 4.37	Pengaruh energi pematat metode SCMT 30 blow/layer terhadap perubahan Slake Durability Index pada siklus ke-1	92
Gambar 4.38	Pengaruh energi pematat metode SCMT 30 blow/layer terhadap perubahan Slake Durability Index pada siklus ke-2	92
Gambar 4.39	Pengaruh energi pematat metode SCMT 30 blow/layer + <i>Pressure</i> terhadap perubahan Slake Durability Index pada siklus ke-1	94
Gambar 4.40	Pengaruh energi pematat metode SCMT 30 blow/layer + <i>Pressure</i> terhadap perubahan Slake Durability Index pada siklus ke-2	94
Gambar 4.41	Hasil SDI dengan penambahan prosentase PC pada <i>Clay Shale</i> Hambalang	95
Gambar 4.42	Hasil SDI dengan penambahan prosentase PC pada <i>Clay Shale</i> Hambalang	96

ISTN

DAFTAR PERSAMAAN

Persamaan 2.1 Persamaan Tanah Ekspansif dan Aktif	16
Persamaan 2.2 Persamaan Nilai Slake Durability Siklus 2	20
Persamaan 2.3 Persamaan Kadar Air	22
Persamaan 2.4 Persamaan Berat Jenis Tanah	22
Persamaan 2.5 Persamaan Berat Volume Kering	23
Persamaan 2.6 Persamaan Energi Pematatan	28
Persamaan 3.1 Persamaan Nilai Slake Durability Siklus 1	49

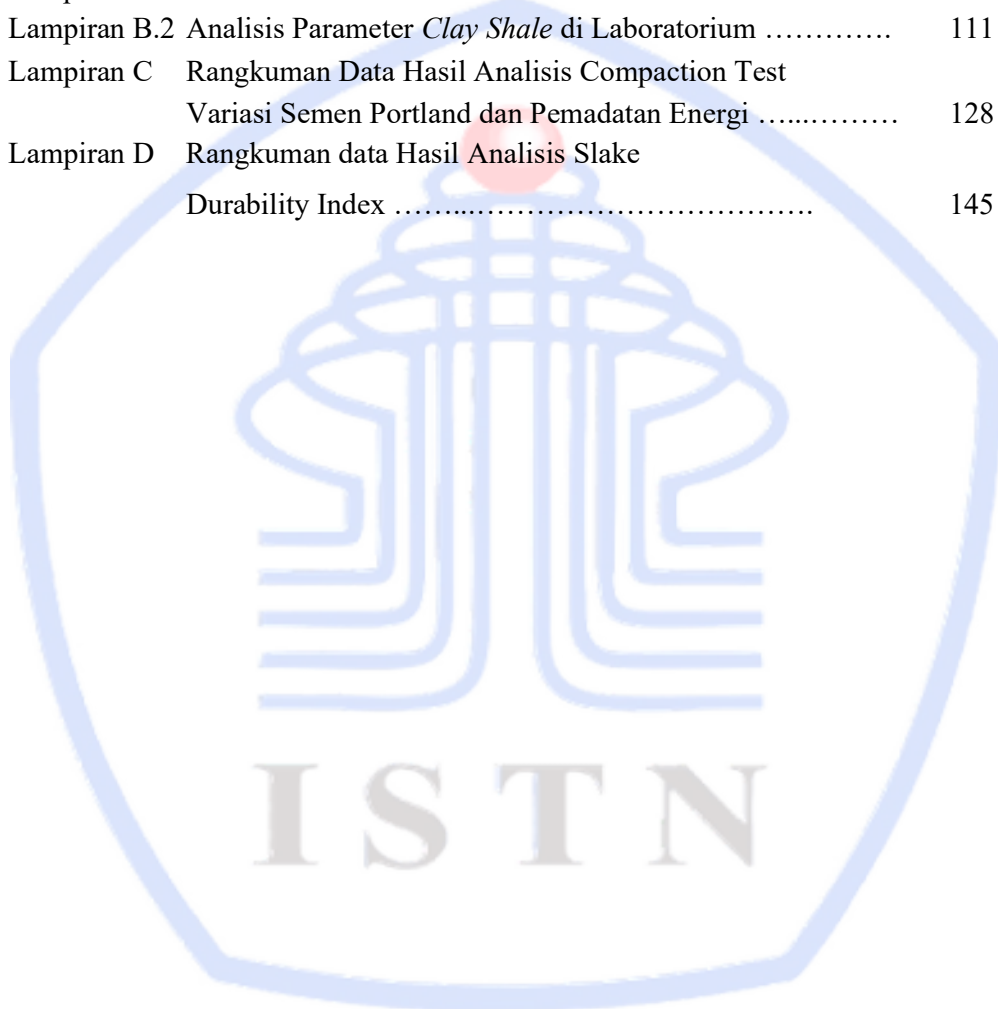


DAFTAR NOTASI DAN SIMBOL

A	=	Intersep atau konstanta regresi
AEP	=	Air entry point
B	=	Koefisien regresi
c	=	Kohesi
c_u	=	Kohesi undrained
d	=	Jarak antar layer
e	=	Angka pori
E	=	Modulus Elastisitas
G_{maks}	=	Modulus geser maksimum pada regangan geser kecil
G_s	=	Berat Spesifik
h_c	=	Tinggi muka di dalam bejana
$I_d(2)$	=	Indeks ketahanan batuan (siklus/putaran kedua)
I_s	=	Indeks kekuatan batuan
IP	=	Indeks Plastisitas
L	=	Panjang benda uji
LL	=	Batas Cair
n	=	porositas
NSPT	=	Nilai SPT tanah
PL	=	Batas Plastis
q_u	=	Kuat tekan (UCS)
SEM	=	Scanning Electron Microscope
S_r	=	Derajat kejenuhan tanah
T_s	=	Tegangan permukaan
t	=	Waktu tempuh gelombang
u	=	Tegangan air pori –
U_w	=	Tegangan air pori negatif
V_p	=	Kecepatan rambat gelombang primer
V_s	=	Kecepatan rambat gelombang sekunder
XRD	=	X-Ray Diffractometer
ϵ_a	=	Regangan vertikal xx
γ_t	=	Berat volume tanah
γ_w	=	Berat volume air
σ	=	Tegangan total
σ'	=	Tegangan efektif butiran tanah
σ'_v	=	Tegangan vertikal efektif
ϕ	=	Sudut geser dalam
ρ	=	Kerapatan masa tanah
μ	=	Poisson Ratio
θ	=	Sudut difraksi sejajar terhadap atomic plastic

DAFTAR LAMPIRAN

Lampiran A.1 Objek Penelitian	103
Lampiran A.2 Lokasi Penelitian	104
Lampiran A.3 Pengambilan sampel penelitian	105
Lampiran A.4 Dokumentasi Pengujian di Laboratorium	106
Lampiran B.1 Peralatan Laboratorium.....	109
Lampiran B.2 Analisis Parameter <i>Clay Shale</i> di Laboratorium	111
Lampiran C Rangkuman Data Hasil Analisis Compaction Test Variasi Semen Portland dan Pematatan Energi	128
Lampiran D Rangkuman data Hasil Analisis Slake Durability Index	145



BAB I PENDAHULUAN

1.1. Latar Belakang

Pada pekerjaan konstruksi, pekerjaan galian dan timbunan tidak bisa dihindari, dalam beberapa lokasi sering ditemui jenis tanah *clay shale*, jenis tanah ini pada umumnya tidak dapat digunakan kembali. *Clay shale* merupakan salah satu tanah problematik yang menyebabkan banyak terjadi kegagalan pekerjaan konstruksi. Hal ini disebabkan oleh karakteristik material *clay shale* yang mudah lapuk ketika terekspos dengan udara atau air (Gouw et al., 2019). Hal ini didukung oleh pernyataan Budijanto (2001) bahwa *clay shale* merupakan material transisi antara tanah dan batuan. Hal ini yang menyebabkan *clay shale* sangat mudah sekali mengalami penurunan durabilitasnya apabila terekspose langsung oleh perubahan iklim dan cuaca sehingga menimbulkan masalah dibidang geoteknik.

Perilaku *clay shale* amat sulit dipahami karena akan menjadi lempung lunak (lumpur) apabila terbuka kepada sinar cahaya matahari, udara dan air dalam masa yang agak singkat. Walau bagaimanapun lapisan *clay shale* yang dilindungi dengan lapisan tanah yang cukup tebal mempunyai durabilitas yang sangat baik. Perubahan sifat *clay shale* yang masih belum dipahami ini telah mendorong penelitian *clay shale* yang telah tersingkap mengalami proses pelapukan dan penurunan kekuatan.

Usaha untuk memanfaatkan kembali sudah dilakukan oleh Ayu Kartika R (Tesis, ISTN, 2021) dengan penambahan 10% PC menunjukkan peningkatan nilai TX-UU dan SDI yang signifikan pada kondisi yang terganggu tapi dengan berjalannya waktu dan pengaruh air dan udara akan menyebabkan penurunan nilai TX-UU dan SDI. Namun, walaupun demikian perilaku tersebut tidak dapat kembali seperti kondisi asli *clay shale* (*fresh clay shale*).

Slake durability Index (SDI) merupakan salah parameter tanah yang yang harus di ketahui dalam melaksanakan pembangunan yang melibatkan tanah *clay shale*.

Clay shale merupakan salah satu jenis tanah ekspansif yang akan mengalami mengalami pelapukan atau berkurangnya kekuatan tanah apabila mengalami kontak lansung dengan air dan udara. Menurut Deen (1981), *clay shale* merupakan material

transisi antara tanah dan batuan serta pembentukan *clay shale* dipengaruhi oleh jenis material penyusunnya, iklim, kondisi fisiografi dan topografi area yang dipertimbangkannya.

Keberadaan lapisan *clay shale* pada area konstruksi cenderung merusak kestabilan tanah meskipun berada di area datar. Di Indonesia material *clay shale* banyak dijumpai di pulau Jawa. Beberapa kasus kegagalan konstruksi yang pernah terjadi akibat lapis tanah *clay shale* yaitu longsohnya timbunan jalan tol Cipularang Km. 97+500 pada tahun 2006 yang menghubungkan Bandung dan Jakarta, selain itu terjadi pergerakan tanah pada Jembatan Penggaron yang merupakan bagian dari Jalan Tol Semarang – Solo ruas Semarang Ungaran. Lapisan tanah *clay shale* juga dijumpai di daerah Hambalang, Jawa Barat.

Idrus, (2019) telah melakukan penelitian tentang Penambahan *Portland Cement* Terhadap Perilaku Pelapukan Ulang *Clay Shale* Hambalang dan menyimpulkan bahwa tanpa ditambahkan *portland cement*, *clay shale* Hambalang lapuk dapat mudah melapuk kembali. Dan Redyananda. AK (2021), dalam penelitiannya mengenai Pengaruh Semen *Portland* Terhadap Ketahanan Tanah *Clay Shale* yang telah Mengalami Pelapukan (Studi Kasus: *Clay Shale* Cariu, Jonggol) menyarankan agar dilaksanakan penelitian stabilisasi campuran *clay shale* yang *weathered* dan semen dengan energi pemadatan yang lebih besar untuk mendekati kepadatan *compacted*-nya dengan *dry density* natural-nya.

Berdasarkan beberapa penelitian diatas tentang tanah *clay shale*, dapat dimanfaatkan kembali dengan melakukan stabilisasi dengan semen namun energi yang dipadatkan melebihi dari energi standar pemadatan, agar didapat nilai *durability* yang mendekati naturalnya di alam.

Durability dalam bahasa Indonesia dapat diterjemahkan sebagai ketahanan, daya tahan. Dalam pengertian lain disebutkan *durability*: durabilitas: Ketahanan bahan terhadap proses kimia dan fisika yang ditimbulkan oleh proses, misal korosi, pelarutan atau perubahan fase.

Semen *portland* merupakan salah satu jenis dari bermacam-macam semen yang ada. Dikarena semen *portland* memiliki sifat, dapat mengeras apabila dicampur dengan air, tidak larut dalam air, plastis sementara apabila dicampur dengan air dan dapat melekatkan batuan apabila dicampur dengan air, diharapkan

dapat meningkatkan kekuatan geser tanah dan ketahanannya. Stabilisasi tanah menggunakan semen telah banyak digunakan karena kemudahan untuk mendapatkan bahan tambah, pengaplikasian di lapangan yang mudah dan dari hasil proses stabilisasi tersebut semen dapat meningkatkan daya dukung tanah yang cukup signifikan. Dari keunggulan semen tersebut maka digunakan sebagai salah satu bahan campur untuk stabilisasi tanah (Basuki, R, Maschus dan Diah, M., 2009), diharapkan penambahan bahan tersebut dapat memperbaiki karakteristik *clay shale*.

Dari uraian diatas penulis merumuskan judul penulisan tesis sebagai berikut
DURABILITAS *CLAY SHALE* HAMBALANG LAPUK DISTABILISASI DENGAN SEMEN *PORTLAND* DAN ENERGI PEMADATAN BERLEBIH.

1.2. Rumusan Masalah

Berdasarkan latar belakang yang ada maka masalah yang dapat diidentifikasi sebagai berikut :

1. Konstruksi yang berada diatas yang menggunakan material *clay shale* lapuk banyak mengalami kegagalan konstruksi, terutama timbunan dan badan jalan.
2. Material *clay shale* tidak tahan terhadap atmosfer dan hidrosfir, kecuali terlindungi oleh lapisan tanah diatasnya.

Adapun perumusan masalahnya adalah :

1. Bagaimana pengaruh penambahan semen *portland* terhadap *clay shale* lapuk jika di padatkan menggunakan energi pemadatan standar sesuai standar ASTM D-698 terhadap sifat durabilitasnya?
2. Bagaimana pengaruh energi berlebih bila diberikan campuran semen *portland* pada tanah *clay shale* lapuk dapat menyamai sifat asli durabilitas *clay shale* segar?

1.3. Tujuan Penelitian

Berdasarkan rumusan masalah, maka dapat ditentukan tujuan dilakukannya penelitian ini adalah sebagai berikut:

1. Untuk menganalisa pengaruh semen *portland* terhadap *clay shale* lapuk jika dipadatkan menggunakan energi berlebih.
2. Untuk **mengetahui** kenaikan *durability* dari tanah *clay shale* lapuk setelah dipadatkan ulang dengan energi berlebih.

1.4. Manfaat Penelitian

Penelitian ini diharapkan untuk memberikan kontribusi berupa masukan kepada:

1. Institut Sains dan Teknologi Nasional, khususnya Fakultas Pasca Sarjana Magister Teknik Sipil sebagai almamater, dalam melengkapi data base bidang geoteknik dan analisis parameter tanah lempung,
2. Bagi semua pihak yang terlibat dalam proyek agar dapat mengidentifikasi kondisi sumber material yang dapat digunakan untuk pelaksanaan konstruksi pekerjaan tanah, sehingga dapat melakukan suatu tindakan antisipasi untuk mengurangi atau bahkan menghilangkan risiko yang timbul, serta penentuan jenis material dapat menghasilkan konstruksi yang sesuai dengan spesifikasi teknis,
3. Sebagai sumbangan pemikiran terhadap upaya perbaikan tanah,
4. Sebagai referensi bagi akademisi atau praktisi yang akan melaksanakan penelitian berkaitan dengan perbaikan tanah bidang keilmu teknik sipil.

1.5. Batasan Masalah

Berdasarkan tujuan penelitian, maka yang menjadi batasan dalam pembahasan masalah penelitian ini sebagai berikut:

1. Percobaan laboratorium dilakukan terhadap material *clay shale* yang telah mengalami pelapukan yang di ambil di daerah Hambalang,
2. Pengujian material hanya dilakukan pengujian fisiknya saja, tidak dilakukan penelitian kandungan mineralnya,
3. Pengujian dilakukan dengan variasi penambahan semen *portland* 0%, 5%, 10%, 15%, dan jumlah energi pemadatan yang berbeda,

4. Metode pemadatan material yang digunakan adalah metode SCMT.

1.6. Sistematika Penulisan

Adapun yang menjadi sistematika pada penulisan tesis ini adalah yang merupakan bagian inti, yaitu sebagai berikut:

BAB. I Pendahuluan

Bab ini mencakup latar belakang penelitian, tujuan penelitian, batasan masalah, manfaat penelitian, dan sistematika penulisan.

BAB. II Tinjauan Pustaka

Bab ini berisi tentang teori yang mendasari penelitian dan digunakan dalam penyelesaian masalah.

BAB. III Metodologi Penelitian

Bab ini membahas tentang diagram alir dan prosedur-prosedur dalam penyelesaian masalah.

BAB. IV Hasil dan Pembahasan

Bab ini membahas tentang hasil pembahasan dan menganalisis data yang diperoleh dari pembahasan.

BAB. V Kesimpulan dan Saran

Menyimpulkan hasil-hasil yang didapat dari pengolahan data dan memberikan saran serta implikasi penelitian untuk hasil tersebut.

BAB II

TINJAUAN PUSTAKA

2.1. Hasil Penelitian Sejenis

Hasil rangkuman penelitian sejenis dari beberapa jurnal dapat dilihat sebagaimana pada Tabel 2.1 berikut:

Tabel 2.1 Rangkuman penelitian Sejenis

No	MAPPING JURNAL PENELITIAN	
1	Nama Peneliti	Alatas, Idrus M dan Pintor T. Simatupang
	Tahun	2017
	Judul	Perilaku Tanah <i>Clay shale</i> yang Telah Lapuk Distabilisasi dengan Semen (Studi Kasus Tanah <i>Clay shale</i> Cariu Jonggol Jawa Barat)
	Variabel	Kadar Air Optimum, Durabilitas, <i>Sheer Strength Ratio</i>
	Metode	Pembasahan dan pengeringan, Uji Laboratorium
	Hasil	Berdasarkan kalsifikasi durabilitas (kd) dengan 1 putaran (Goodman, 1980), maka pada campuran 15% dengan kadar air $W_n > W_{opt}$ didapat nilai $kd = 63,318$ (Low). Pada Nilai <i>Sheer Strength ratio</i> dieproleh campuran 10 % untuk hasil optimum dan pada nilai <i>slake durabilitas</i> diperoleh campuran 15% dengan masing-masing campuran pada kadar air $W_n > W_{opt}$. Sehingga disimpulkan pemakaian semen untuk stabilisasi tanah <i>clay shale</i> yang telah lapuk seluruhnya dapat menggunakan 15% PC pada kadar air $W_n > W_{opt}$.
2	Nama Peneliti	W. Diana, E. Hartono, A. S. Muntohar
	Tahun	2019
	Judul	<i>The Permeability of Portland Cemen-Stabilized Clay shale</i>
	Variabel	<i>Strength, Durability Improvement, Permeability Characteristic</i>
	Metode	<i>Constan head permeability</i>
	Hasil	<i>The result shows that both the liquid limits and plastic limits decrease with increased Portland cement content, hence the plasticity index of the soil-PC mixing decrease. The permeability coefficient of the soil mixed with 2% of cement increased about 14 times greater than the untreated soil. Increase in cement content tends to decrease the coefficient of permeability.</i>

3	Nama Peneliti	Idrus M. Alatas, Wawan K, Panji G
	Tahun	2019
	Judul	Penambahan <i>Portland Cement</i> Terhadap Perilaku Pelapukan Ulang <i>Clay shale</i> Hambalang
	Variabel	Gradasi, <i>Disintegration ratio</i>
	Metode	Pembasahan dan pengeringan, Uji Laboratorium
	Hasil	Tanah <i>clay shale</i> Hambalang yang ditambah 6% PC dengan kadar air awal yang 9% (w optimum), daya tahannya terlihat cukup stabil hingga tertinggal 66.46 % pada siklus ke 9 di hari ke-4, Dari siklus ke-1 sampai siklus ke-9, sampel dengan kadar air 9% (kadar air optimum) lebih tahan, dibanding dengan kadar air 6%. Dan sampel dengan kadar air 12% lebih tahan dibandingkan sampel dengan kadar air 6% hingga siklus ke-6 pembahasan dan pengeringan. Manakala kadar air yang 6% lebih baik dari yang 12% terjadi pada siklus ke 7 hingga ke-9 atau di hari ke-41. Disini terlihat jelas kadar air optimum pegang peranan yang menentukan terhadap kestabilan <i>clay shale</i> Hambalang lapuk yang di stabilisasi dengan 9% PC.
4	Nama Peneliti	Julio Suryajaya, Aniek Prihatiningsih
	Tahun	2019
	Judul	Studi Penggunaan Bahan Mortar Sikadur-52 Sebagai Pelindung Tanah <i>Clay shale</i> Terhadap Pelapukan
	Variabel	Kuat Geser Tanah, Kuat Tekan
	Metode	Pembasahan dan pengeringan, Uji Laboratorium
	Hasil	Pada kondisi kering udara, benda uji memiliki nilai tekan yang tinggi tetapi nilai regangan yang rendah. Sebaliknya pada kondisi terendam, benda uji memiliki nilai tekan yang rendah tetapi nilai regangan yang tinggi. Penelitian ini menunjukkan, bahan Sikadur-52 dapat melindungi benda uji tanah <i>clay shale</i> mengalami kontak dengan air. Hal ini dibuktikan dengan tidak terjadinya perubahan nilai tekan pada benda uji yang terlindung sempurna selama durasi 0 hari, 1, 3, dan 5 minggu pada kondisi direndam air. Pada uji UCT ditemukan variasi nilai tekan, hal ini terjadi karena sulitnya mencegah benda uji mengalami kontak dengan air dan udara. Lapisan bahan Sikadur-52 harus merata secara sempurna tanpa ada celah atau retakan sedikitpun, untuk mencegah kontak dengan air dan udara.

5	Nama Peneliti	Ayu Kartika Redyananda
	Tahun	2021
	Judul	Pengaruh Semen Portland Terhadap Ketahanan Tanah Clay shale yang Telah Mengalami Pelapukan (Studi Kasus : Clay shale Cariu, Jonggol)
	Variabel	<i>Shear Strength, Slake Durability Index</i>
	Metode	Pembasahan dan pengeringan, Uji Laboratorium
	Hasil	Nilai aktivitas tanah pada <i>clay shale</i> lokasi Cariu, Jonggol adalah 0,80 sehingga mempunyai potensi mengembang level sedang. Hasil pengujian kada air pada sampel setelah ditambahkan variasi semen dan kadar air, didapat kesimpulan bahwa semakin banyak persentase semen yang dicampurkan maka kadar air yang didapat semakin kecil. Pada sampel dengan tambahan 10% PC menunjukkan peningkatan nilai TX-UU dan SDI yang signifikan pada kondisi yang terganggu tapi dengan berjalannya waktu dan pengaruh air dan udara akan menyebabkan penurunan nilai TX-UU dan SDI. Namun walaupun demikian perilaku tersebut tidak dapat kembali seperti kondisi asli <i>clay shale (fresh clay shale)</i> .

2.2. Klasifikasi Tanah Lempung

Salah satu jenis tanah yang bermasalah ialah tanah lempung ekspansif. Tanah lempung ekspansif adalah tanah yang memiliki sifat kembang susut yang besar dan prilakunya sangat dipengaruhi oleh air, tanah yang memiliki fluktuasi kembang susut tinggi disebut lempung ekspansif. Tanah ekspansif ini sering menimbulkan kerusakan pada bangunan seperti retaknya dinding, terangkatnya pondasi, jalan bergelombang dan sebagainya. Semua tanah lempung yang mengandung mineral ekspansif akan mempunyai sifat mengembang dan menyusut yang besar, apabila terjadi penambahan atau pengurangan kadar airnya. Proses kembang tanah lempung ekspansif dipengaruhi oleh faktor lingkungan, di antaranya faktor perbedaan iklim, curah hujan, sistem drainasi dan fluktuasi muka air tanah. Jenis tanah ekspansif terbentuk salah satunya akibat adanya proses pelapukan.

Pada saat ini terdapat dua system klasifikasi tanah dasar yang sering digunakan. System klasifikasi ini mengacu pada kondisi fisik tanah dengan memperhitungkan ukuran butiran tanah. System klasifikasi tersebut dapat dilihat pada tabel 2.2.

Tabel 2.2

Klasifikasi tanah untuk lapisan tanah dasar jalan raya (....)

Klasifikasi umum	Tanah berbutir (35 % atau kurang dari seluruh contoh tanah lolos ayakan No. 200)						
	A-1		A-3	A-2			
Klasifikasi kelompok	A-1-a	A-1-b		A-2-4	A-2-5	A-2-6	A-2-7
Analisa ayakan (% lolos) NO. 10 NO. 40 NO. 200	Maks 50 Maks 30 Maks 15	Maks 50 Maks 25	Min 51 Min 25	Maks 35	Maks 35	Maks 35	Maks 35
Sifat fraksi yang lolos ayakan No. 40 Batas cair Batas plastis	Maks 6		NP	Maks 40 Maks 10	Min 41 Maks 10	Maks 40 Min 11	Min 41 Min 11
Tipe material yang paling dominan	Batu pecah, kerikil dan pasir		Pasir halus	Kerikil dan pasir yang berlanau atau berlempung			
Penilaian sebagai tanah dasar	Baik sekali sampai baik						

Klasifikasi umum	Tanah lanau - lempung (Lebih dari 35 % atau kurang dari seluruh contoh tanah lolos ayakan No. 200)			
	A-4	A-5	A-6	A-7 A-7-5* A-7-6"
Analisa ayakan (% lolos) NO. 10 NO. 40 NO. 200	Min 36	Min 36	Min 36	Min 36
Sifat fraksi yang lolos ayakan No. 40 Batas cair Batas plastis	Maks 40 Maks 10	Maks 41 Maks 10	Maks 40 Min 11	Min 41 Min 11
Tipe material yang paling dominan	Tanah berlanau		Tanah berlempung	
Penilaian sebagai tanah dasar	Biasa sampai jelek			

* Untuk A-7-5, $PL \leq LL - 30$ " Untuk A-7-6, $PL > LL - 30$

Menurut Mitchell (1976), mineralogi merupakan faktor utama untuk mengontrol, ukuran, bentuk, sifat-sifat fisik dan kimia dari partikel tanah. Dalam klasifikasi tanah secara umum partikel tanah lempung mempunyai diameter $2\mu\text{m}$ atau sekitar 0,002mm. Lempung didefinisikan sebagai golongan partikel yang berukuran kurang dari 0,002mm (MIT, U.S.D.A, AASTHO, UCS), maka ciri-ciri tanah lempung adalah sebagai berikut:

- Berukuran kurang dari 0,002 mm.
Ukurannya ini sangat kecil sekali sehingga berbentuk butiran halus
- Tingkat permeabilitas yang rendah.
Tingkat permeabilitas yang rendah ini memungkinkan jenis tanah lempung tidak dapat menyerap air sehingga tidak cocok untuk digunakan sebagai lahan pertanian dan perkebunan.
- Tingkat kenaikan air kapiler yang tinggi.

- d) Bersifat kohesif.
Pada saat jumlah air yang sangat banyak mengenai jenis tanah ini maka tanah ini akan sangat lengket sekali
- e) Tingkat kembang dan susutnya sangat tinggi.
- f) Proses konsolidasinya lambat.
- g) Memiliki ion positif yang dapat dipertukarkan.
 1. Memiliki luas permukaan yang sangat besar.
 2. Bertekstur keras jika dibakar.

Untuk menentukan suatu tanah itu Ekspansif dan aktif, Skempton (1953) menetapkan suatu persamaan sebagai berikut :

$$Ac = \frac{PI}{CF}$$

Ac = Tingkat keaktifan

PI = Indeks plastisitas

CP = Presentase Fraksi Lempung (%)

Tanah yang bersifat aktif dan ekspansif mempunyai Ac (*activity*) $> 1,25$. Tanah digolongkan normal adalah yang mempunyai nilai aktivitas antara $0,75 > Ac > 1,25$. Sedangkan tanah yang tidak aktif mempunyai $Ac < 0,75$.

Menurut Wakim (2005), pada umumnya karakteristik dari *clay shale* diidentifikasi berdasarkan parameter teknik, antara lain:

- a. Overconsolidated
 - b. Durabilitas rendah pada saat mengalami pembasahan
 - c. Tekanan pengembangan (*swelling pressure*) tinggi
- Mengalami disintegrasi yang signifikan setelah mengalami kontak dengan air.

2.3. Karakteristik Tanah *Clay shale*

Clay shale mempunyai sifat (intermediate behavior) tanah lempung dan batuan. Hal ini didukung oleh pernyataan Budijanto (2001) bahwa *clay shale* merupakan material transisi antara tanah dan batuan dan *clay shale* ini tersusun dari mineral mineral lempung yang mempunyai karakter kelembaban susut yang besar apabila terjadi perubahan kadar air. Tanah akan mengembang (*Swelling*) pada kondisi basah dan akan menyusut (*Shrinkage*) pada kondisi kering. Selain memiliki

sifat ekspansif yang tinggi *clay shale* sangat mudah sekali mengalami penurunan durabilitasnya dan penurunan kuat gesernya (*strength degradation*) apabila terekspos langsung oleh perubahan iklim, cuaca dan *stress relieve*, sehingga menimbulkan masalah di bidang geoteknik.

Banyak nya masalah di bidang geoteknik akibat adanya tanah *Clay shale* menjadikan tanah ini banyak di telite dan dipelajari para ahli geoteknik guna mencegah terjadinya kegagalan konstruksi nantinya.

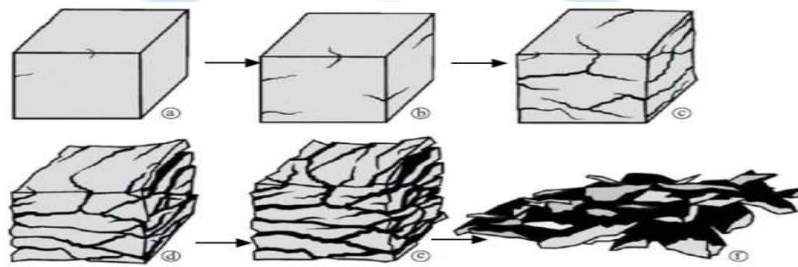


Gambar 2.1 Perubahan bentuk Perubahan bentuk fisik *clay shale* dari masa ke masa (Irsyam, et al., 2011)

Hasil penelitian Gartung (1986) menyimpulkan bahwa jenis tanah ini menunjukkan *creep*. *Creep* yang terjadi yang terjadi merupakan proses akibat pelapukan (*Weathering*) yang terjadi dalam jangka waktu yang relatif lama tanah tersebut terekspose.

Clay Shale sendiri dapat diidentifikasi dengan cara melakukan pengujian ketahanan batuan (*slake durability*). *Slake durability* adalah pengujian yang sering digunakan untuk mengukur derajat degradasi *shale*. Menurut Hopkins (1988), apabila *clay shale* digunakan sebagai bahan konstruksi, dapat menyebabkan masalah besar karena cenderung untuk mengalami degradasi dari massa keras atau mengeras (*indurated*) menjadi massa tanah halus. Sementara menurut Belviso (1977), *shale* belum dapat diidentifikasi sebagai *clay shale* berdasarkan parameter inisial awal, melainkan potensi turunnya properties mekanis yang signifikan setelah mengalami interaksi dengan air.

Perubahan karakteristik pada *clay shale* yang berupa perubahan fisik dan kimia disebabkan oleh adanya reaksi dengan *atmosphere* dan *hidrosfere* yang akan menyebabkan pelapukan. Secara umumnya pelapukan dapat didefinisikan sebagai proses perubahan batuan yang terjadi di bawah pengaruh atmosfer dan hidrosfir. Perubahan tersebut boleh dalam bentuk disintegritas fisik dan penguraian kimia. Di kawasan iklim tropika, proses ini lebih sering terjadi berbanding keadaan iklim lainnya (Sadisun et al., 2006). Gambar 2.2 di bawah ini adalah suatu ilustrasi proses kehancuran *clay shale* akibat pelapukan (Sadisun et al., 2010).



Gambar 2.2 Ilustrasi perubahan *clay shale* terhadap masa akibat proses pelapukan (Sadisun et al., 2010)

Clay shale yang awalnya sangat keras, menurut Irsyam et al (1999) berubah menjadi tanah liat dengan sangat buruk sifat kekuatan geser. Duncan dan Stark (1991) menyebutkan bahwa kuat geser *clay shale* berkurang drastis hingga mencapai sangat lunak (*fully softened strength*) apabila dalam kondisi basah dan terendam. Selain itu, Duncan dan Stark (1992) juga menyatakan bahwa kekuatan geser *clay shale* menurun sangat cepat dan sepenuhnya melunak untuk nilai sisa, dengan kata lain ketika *clay shale* menerima beban berulang (*cyclic loading*), kekuatannya akan mengalami penurunan dari sangat lunak hingga mencapai kekuatan sisa (*residual strength*).

2.4. Ketahanan (Durability) *Clay shale*

Ketahanan batuan terhadap pengaruh cuaca dan air adalah sangat penting untuk diketahui. Khususnya pada pelaksanaan pekerjaan tanah sebagai bagian dari konstruksi dilapangan. Perubahan sifat dari batuan karena cuaca dan air dapat mengakibatkan antara lain terkelupasnya lapis permukaan batuan, hidrasi pada

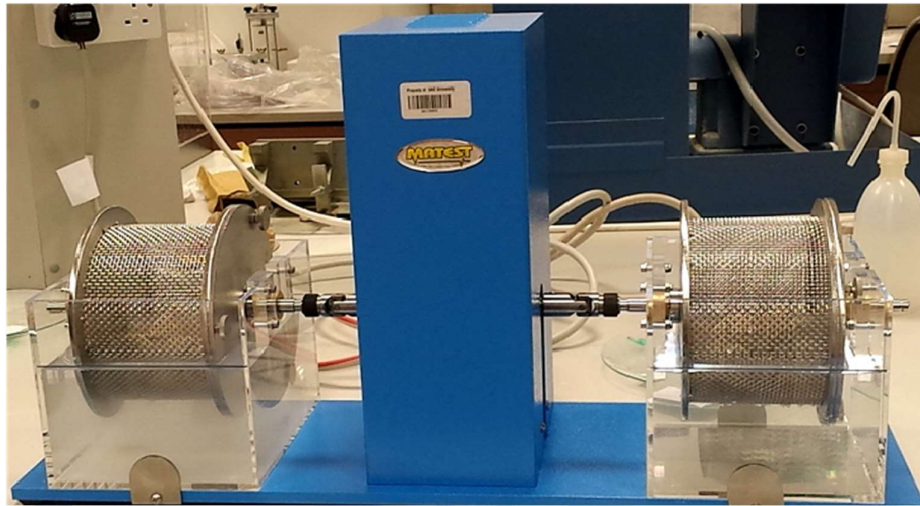
batuan, penuaan pada batuan, terlarut, oksidasi, abrasi, dan proses-proses lainnya akibat proses pelapukan (Soetojo, 2009). Pada beberapa *shale* dan beberapa batuan vulkanik menunjukkan terjadinya kemerosotan kualitas batuan yang cepat ketika batuan tersebut terbuka diudara atau terlepas dari penutup yang menimbunnya.

Degradasi yang terjadi pada permukaan batuan terjadi secara cepat, sedangkan pada bagian inti lebih lambat. Sehingga diperlukan suatu harga indeks yang mengindikasikan perubahan dari batuan. Namun pola perubahan dari berbagai macam batuan memiliki perbedaan yang besar dan sangat bervariasi, sehingga harga indeks tidak dapat ditentukan secara baik. Oleh karena itu batuan hanya dapat diidentifikasi dengan harga indeks yang menunjukkan adanya perubahan sebagai ketahanan dari batuan secara relative dan merupakan rangking dari durabilitas yang sangat tinggi (*very high durability*) sampai yang sangat rendah (*very low durability*) (Soetojo, 2009).

Menurut Franklin & Chandra (1972), Slake Durability Test banyak digunakan dalam menentukan ketahanan suatu batuan. Peralatan ini terdiri dari drum dengan diameter 140 mm dan panjang 100 mm. Pada dindingnya terdapat lubang-lubangsaringan dengan diameter 2 mm. 500 gram batuan dipecahkan menjadi 10 butiran dan dimasukkan kedalam drum tersebut dan drum, kemudian drum diputar dengan kecepatan 20 putaran per menit dalam kondisi terendam dalam air. Setelah 10 menit, persentase batuan yang tertinggal didalam drum diukur dalam persen berat kering dan dinyatakan sebagai harga Slake Durability Index (Soetojo, 2009).

Menurut ISRM (1979), Prosedur uji *slaking dynamic (slake durability)* dilakukan sesuai dengan SNI 340.2011, standar ASTM D4644-87, tentang cara uji untuk *slake durability* dari *shales* dan batuan lemah. Beberapa contoh dipotong dengan ukuran yang representatif untuk setiap siklus, dengan berat contoh total berkisar 400 – 550 gram. Uji dilakukan dengan material kering yang telah dioven, sehingga tidak mencerminkan kondisi alami. Terutama untuk material batuan yang memiliki daya tahan batuan yang rendah dalam kondisi alami. Alat uji *durability* di laboratorium Geoinves Jakarta, Indonesia terdiri dari satu set drum dengan diameter 140 mm dan panjang 100 mm dengan lubang dinding saringan kawat

berukuran 2 mm. Drum diputar dengan air di dalamnya setinggi 150 mm pada suhu $24^{\circ}\text{C} - 27^{\circ}\text{C}$.



Gambar 2.3 Alat Slake Durability Test

Dimensi peralatan pengujian *slake durability* yang digunakan disesuaikan dengan ketentuan peraturan **ASTM D 4644-04**, dimana dimensi tersebut disajikan pada Gambar 2.3. *Slake Durability Index* pada serpihan batuan atau jenis batuan lain yang sejenis ditentukan setelah mengalami 2 kali siklus pengeringan dan pembasahan yaitu dengan pengeringan dengan oven dan 10 menit pembasahan dengan direndam air sesuai dengan *standart tumbling* (jatuh) dan abrasi. Perhitungan nilai *Slake Durability Index* (pada siklus kedua) dapat ditentukan menggunakan perumusan sebagai berikut.

$$I_d(2) = \left[\frac{W_F - C}{B - C} \right] \times 100$$

Dimana :

- $I_d(2)$ = Nilai Slake Durability Index (Siklus/Puataran kedua), (%)
- B = Berat drum ditambah dengan berat kering oven sampel sebelum dilakukan putaran kedua, (gram)
- W_F = Berat dari drum ditambah berat kering oven sampel yang tertahan setelah putaran yang kedua, (gram)
- C = Berat dari drum, (gram)

Nilai indeks durabilitas ini tidak dapat dikaitkan dengan umur geologi batuan. Besar durabilitas batuan berbanding lurus dengan densitasnya dan berbanding terbalik dengan kadar air asli batuan. **Gamble (1971)** memberikan klasifikasi batuan dari hasil pengujian durabilitas seperti yang ditunjukkan pada Tabel 2 berikut.

Tabel 2 .3

Klasifikasi Durabilitas dari **Gamble.....**

Nama Grup Batuan	% Tertinggal Setelah Putaran 1 x 10 Menit (Berat Kering)	% Tertinggal Setelah Putaran 2 x 10 Menit (Berat Kering)
<i>Very high durability</i>	> 99	> 98
<i>high durability</i>	98 – 99	95 – 98
<i>Medium high durability</i>	95 – 98	85 – 95
<i>Medium durability</i>	85 – 95	60 – 85
<i>Low durability</i>	60 – 85	30 – 60
<i>Very Low durability</i>	< 60	< 30

Sumber : **Soetojo, 2009**

2.5. Analisa Laboratorium Geoteknik

Sesuai SNI 8460:2017, program pengujian laboratorium harus disusun dengan memperhatikan korelasinya dengan program penyelidikan lainnya. Pada penelitian ini, jenis-jenis pengujian yang diujikan terhadap contoh tanah yang telah terambil antara lain kadar air, berat jenis tanah, batas-batas Atterberg, distribusi ukuran butiran, *triaxial UU*, *slake durability* dan uji standar kompaksi.

2.5.1. Kadar Air (Water Content)

Berdasarkan **SNI 1965:2008**, kadar air pada suatu material adalah perbandingan berat air yang mengisi rongga pori material tanah atau material batuan terhadap berat partikel padatnya, yang dinyatakan dalam persen. Pada tanah yang berbutir halus (kohesif), konsistensi tanah yang diberikan tergantung pada kadar airnya.

Secara singkat, prosedur pengujian kadar air dilakukan dengan mengeringkan benda uji dalam oven selama 12 sampai 16 jam hingga beratnya konstan. Kehilangan berat akibat pengeringan merupakan berat air. Kadar air dihitung menggunakan berat air dan berat benda uji kering dengan hitungan sebagai berikut:

$$\omega = \frac{W1 - W2}{W2 - W3} \times 100\%$$

Dimana:

- ω = kadar air, (%)
- $W1$ = berat cawan dan tanah basah, (gram)
- $W2$ = berat cawan dan tanah kering, (gram)
- $W3$ = berat cawan, (gram)

2.5.2. Berat Jenis Tanah (*Specific Gravity*)

Berat jenis merupakan angka perbandingan antara berat isi butir tanah dan berat isi air suling pada temperature dan volume yang sama. Contoh tanah yang digunakan adalah contoh tanah yang lolos saringan 4,75 mm (No. 4) atau saringan 2,00 mm (No. 10). Berat jenis tanah dihitung dengan rumus sebagai berikut:

$$\frac{\text{Berat Jenis, } T_x}{(20^\circ C)} = \frac{W_t}{[W_t + (w_4 - W_3)]}$$

Dimana:

- W_t = berat contoh tanah kering oven, (gram)
- W_3 = berat piknometer berisi air pada temperatur T , (gram)
- W_4 = berat piknometer berisi air dan tanah pada temperatur T_x , (gram)
- T_x = temperature air dalam piknometer ketika berat W_3 ditentukan, ($^\circ C$)

2.5.3. Batas-Batas Atterbert (*Atterberg Limits*)

Berdasarkan [SNI 1967:2008](#), batas cair tanah (*liquid limit/LL*) adalah kadar air, ketika sifat tanah pada batas dari keadaan cair menjadi plastis, sedangkan batas plastis tanah (*plastic limit/PL*) adalah batas terendah kadar air, ketika tanah masih dalam keadaan plastis. Selisih antara batas cair dan batas plastis disebut indeks plastisitas (*plasticity index/PI*).

2.5.4. Analisis Ukuran Butir Tanah (*Grain Tsize Analysis*)

Berdasarkan SNI 3423:2008, Cara uji ini dilakukan untuk mendapatkan gradasi tanah pada klasifikasi tanah bagi perencana maupun pengawas lapangan. Cara uji ini terdiri atas 2 cara yaitu cara uji analisis hidrometer dan analisis saringan.

2.5.5. Uji Pemadatan Tanah

Berdasarkan SNI 1742:2008, cara uji ini dimaksudkan untuk menentukan hubungan antara kadar air dan kepadatan tanah yang dipadatkan di dalam sebuah cetakan berukuran tertentu dengan penumbuk 2,5 kg yang dijatuhkan secara bebas dari ketinggian 305 mm.

Menurut Braja M. Das (1995), pemadatan tanah yaitu proses naiknya kerapatan tanah dengan memperkecil jarak antar partikel sehingga terjadi reduksi volume udara. Tujuan dari pengujian ini adalah:

1. Memperbaiki kuat geser tanah
2. Mengurangi kompresibilitas tanah
3. Mengurangi permeabilitas tanah
4. Mengurangi perubahan volume sebagai akibat perubahan kadar air
5. Mengurangi sifat kembang susut tanah (pada tanah lempung ekspansif)

Teori pemadatan pertama kali dikembangkan oleh R.R. Proctor. Empat variabel pemadatan tanah yang didefinisikan oleh Proctor, yaitu usaha pemadatan atau energi pemadatan, jenis tanah (gradasi, kohesif atau tidak kohesif, ukuran partikel dan lain-lain), kadar air, dan berat isi kering. Tujuan pemadatan tanah akan tercapai jika pemilihan material tanah sesuai dengan kriteria, teknik pemadatan dan pemilihan jenis mesin pemadat. Derajat kepadatan tanah diukur dari berat volume keringnya. Rumus berat volume kering adalah:

$$\gamma_d = \frac{\gamma}{1+w}$$

Dimana:

γ_d = berat volume kering, (gr/cm³)

γ = berat volume tanah basah, (gr/cm³)

w = kadar air, (%)

γ_d maksimum (MDD, *Maximum Dry Density*) akan tercapai pada saat kadar air optimum (OMC, *Optimum Moisture Content*).

2.5.6. Uji Sifat Tahan Lekang Batu (*Slake Durability*)

Berdasarkan SNI 3406:2011, pengujian ini bertujuan untuk mengetahui daya tahan batu terhadap proses pelekangan. Pengujian dilakukan dengan cara penimbangan, pengeringan, penjernihan dan abrasi secara bergantian dan berulang. Hasil pengujian dinyatakan dalam indeks tahan lekang batu yang mencerminkan kualitas batu sebagai bahan bangunan. Indeks tahan lekang adalah nilai ketahanan batu terhadap proses pelemahan dan disintegrasi oleh sebab pengeringan, penjuhan dan abrasi.

2.5.7. Stabilisasi Tanah

Stabilisasi tanah adalah usaha untuk memperbaiki sifat-sifat tanah yang ada, sehingga didapatkan sifat-sifat tanah yang memenuhi syarat-syarat teknis untuk lokasi konstruksi bangunan. Bahan stabilisasi menghasilkan tanah menjadi stabil, pemakaian bahan stabilisasi harus digunakan secara ekonomis. Tanah lempung dan *clay shale* adalah tanah yang berukuran kurang dari 0,002 mm dan mempunyai partikel-partikel tertentu yang menghasilkan sifat-sifat plastis pada tanah bila dicampur air. Jenis tanah lempung dan *clay shale* mempunyai nilai indeks plastisitas tinggi dan mempunyai nilai CBR tanah yang kecil (Gunarti, 2014), sehingga perlu diadakan upaya perbaikan karakteristik tanah dengan proses stabilisasi tanah (Gunarti, 2015). Stabilisasi tanah merupakan upaya meningkatkan kualitas tanah dengan menyampurkan beberapa bahan tambah berupa bahan kimia. Salah satu upaya stabilisasi tanah lempung dengan menggunakan bahan tambah semen. Stabilisasi tanah menggunakan semen telah banyak digunakan karena kemudahan mendapatkan bahan tambah, pengaplikasian di lapangan yang mudah dan dari hasil proses stabilisasi tersebut semen dapat meningkatkan daya dukung tanah yang cukup signifikan. Dari keunggulan semen tersebut maka dapat digunakan sebagai salah satu bahan campur untuk stabilisasi tanah (Basuki, R, Maschus dan Diah, M., 2009), diharapkan penambahan bahan tersebut dapat memperbaiki karakteristik *clay shale*.

2.6. PEMADATAN TANAH

Teknik pemadatan merupakan suatu cara memperbaiki kekuatan tanah yang relatif mudah dan sederhana. Dengan teknik pemadatan maka kuat geser tanah akan mengalami peningkatan (improvement) sehingga meningkatkan kekuatan dalam mendukung fondasi sebuah konstruksi.

Pada pemadatan tanah yang dilakukan secara berulang ulang sehingga volume tanah berkurang sehingga nilai berat volume tanahnya bertambah. Pengurangan volume tanah terjadi karena volume udara termampatkan. Contoh yang banyak ditemui adalah roler (stump) pada pekerjaan pemadatan tanah jalan. Bentuk lain dari pengurangan volume tanah adalah dengan cara konsolidasi. Cara konsolidasi yaitu memberikan energy dengan beban dan tekan yang relatif konstan yang diam dalam jangka waktu tertentu. Cara ini khusus untuk tanah-tanah kohesif.

Derajat pemadatan suatu tanah diukur dalam berat volume kering. Pada saat pemadatan air berfungsi sebagai pelunak (softening agent). Pada mulanya saat kadar air 0% berat volume sama dengan berat volume kering. Jika kadar air bertambah maka berat volume akan bertambah pula, tapi pada batas tertentu (OMC dan MDD) apabila kadar air ditambah lagi berat volume akan menurun. Hal ini disebabkan apabila sudah padat diberi air lagi partikel tanah akan bergerak dan rongga akan diisi air. Untuk mengetahui berat volume kering maksimum, dilakukan uji lab proctot standar. Ada beberapa Pengaruh proses pemadatan pada tanah antara lain :

2.6.1 Pada Tahanan Geser

Meningkatnya kepadatan tanah akibat pemadatan akan meningkatkan juga tahanan geser pada tanah tersebut . Hal ini dapat dilihat dari pekerjaan subgrade pada konstruksi jalan dimana dibutuhkan perkerasan yang lebih tipis apabila didirikan di atas lapisan tanah subgrade yang telah dikompaksi.

2.6.2 Pada Pergerakan Air

Ketika partikel tanah menerima perlakuan pemadatan, maka jumlah ruang pada massa tanah dan ukuran ruang rongga berkurang. Perubahan ini menyebabkan berkurangnya juga kemampuan tanah untuk mengalirkan atau menampung air (permeabilitas menjadi rendah).

2.6.3 Perubahan Volume

Perubahan volume (shrinkage and swelling) merupakan hal penting terutama untuk lapisan subgrade pada konstruksi jalan. Khususnya untuk tanah yang bersifat kohesif, tanah yang memiliki partikel terkecil memiliki ikatan kuat akibat tarikan molekul, bersifat plastis ketika basah dan dapat diremas namun dapat mengeras saat kering. Kadar air yang tepat sangat kritikal untuk pemadatan pada tanah jenis ini.

Johnson dan Sallberg (1960) melakukan pengujian di laboratorium bahwa , Pada awal pemadatan , berat volume kering bertambah dengan penambahan kadar air, pada saat kadar air nol ($w = 0$), berat volume tanah basah (γ_b) = berat volume kering (γ_d)

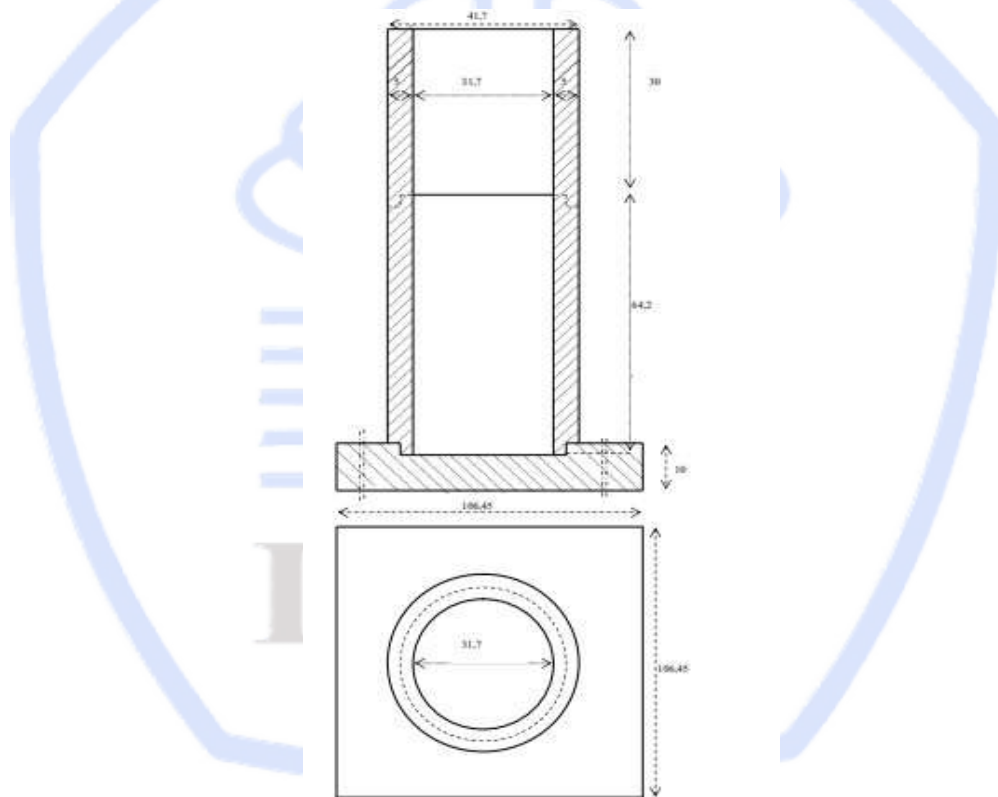
Ketika kadar air ditambahkan (dengan usaha pemadatan yang sama), berat butiran tanah padat per satuan volume (γ_d) juga bertambah. Misal pada saat kadar air = w_1 , maka $\gamma_b = \gamma_2$

Pada saat kadar air lebih besar dari kadar air tertentu, yaitu $w = w_2$ (saat kadar air optimum) , kenaikan kadar air justru mengurangi berat volume keringnya. Hal ini disebabkan karena air mengisi rongga pori yang sebelumnya diisi oleh butiran padat. Kadar air saat berat volume kering mencapai maksimum (γ_d maks) disebut Kadar Air Optimum (w_{opt}). Jadi air bertindak sebagai cairan pelembut (softening agent) pada tanah yang dipadatkan.

2.7. SMALL COMPACTION MOULD TEST (SCMT) METHOD

Uji Kepadatan dengan metode SCMT adalah suatu uji kepadatan tanah yang dilakukan pada sampel di laboratorium, uji ini dimaksudkan agar tanah memiliki kepadatan maksimum serta kadar air optimum yang sama dengan uji laboratorium yang dilakukan dengan cara ASTM. Untuk maksud tersebut maka uji coba SCMT ini mengacu hasilnya dari uji ASTM.

Uji kepadatan dilaboratorium dengan SCMT Methode ini, hanya dilakukan pada tanah berbutir halus, dimana persiapan sampel tanah yang akan di uji sama seperti pada pengujian dengan cara ASTM. Secara teoritis agar didapat kepadatan yang sama, maka energi yang diberikan juga sama.



Gambar 2.4 Mould SCMT (Idrus, 2006)

Energi pemadatan yang dilakukan pada cetakan/mould pematat (E) dapat dihitung sbb :

$$E = \frac{L \times N \times W \times h}{V}$$

Dimana :

E : Energi pemadatan

L : Jumlah Lapisan

N : Jumlah Pukulan / lapisan

W : Berat Penumbuk h Tinggi jatuh penumbuk

V : Volume

Mould Pada SCMT Methode standard, Volume mould seperti pada gambar 3.1 yaitu 50,48 cm³ atau 0,001783 ft³ , sedangkan berat hammer dibuat sebesar 295,3 grm = 0,651 lbs, dengan tinggi jatuh 17 cm = 0,557 ft. Jumlah lapisan = 3 lapisan Maka dengan energi yang sama pada cara A ASTM, akan didapat jumlah pukulan/lapisan yang dibutuhkan.

Untuk menentukan jumlah pukulan per lapisan, maka ditentukan terlebih dahulu jumlah layer yang akan dipakai untuk pengujian standard dan modified dengan cara SCMT Methode. Untuk Standard Compaction 3 lapisan, sedangkan untuk Modified Compaction 5 lapisan. Untuk menentukan jumlah pukulan / lapisan pada SCMT ini, dilakukan dengan 2 (dua) pendekatan.

Pendekatan I (pertama) dengan ekivalent Energy pemadatan yang diberikan berdasarkan Pengujian cara **ASTM D 698** dan D 1557.

Pendekatan II (kedua) dengan Trail and Error (coba-coba) dengan metode Trial Compaction.

Pada Trial Compaction ini, dicari hubungan antara jumlah pukulan per layer yang diberikan terhadap kepadatan kering yang terjadi. Pendekatan I (pertama) ini

sebagai acuan, sedangkan penentuannya jumlah pukulan per lapisan yang dipakai adalah hasil kepadatan kering (γ_d) yang sama antara cara ASTM dan SCMT Methode.



Gambar. 2. 5 Penentuan jumlah pukulan/lapisan dengan Trial Compaction (idrus, 2006)

BAB III METODOLOGI PENELITIAN

3.1. Model Penelitian

Penelitian dapat dilaksanakan tepat waktu dan tepat sasaran dengan menghasilkan data valid serta kesimpulan yang akurat apabila dipersiapkan dengan cermat baik alat, bahan dan cara penelitiannya. Alat-alat yang digunakan dalam penelitian ini meliputi hardware berupa laptop, lembar isian pengujian laboratorium dan kamera sedangkan software untuk pengolahan data menggunakan program Microsoft Excel.

Metode penelitian yang digunakan adalah penelitian kuantitatif. Metode penelitian yang akan digunakan adalah metode penelitian kuantitatif. Menurut **Sumanto (1995)**, metode kuantitatif adalah metode yang lebih menekankan pada aspek pengukuran secara obyektif terhadap sebuah fenomena. Format yang akan digunakan dalam penelitian adalah format deskriptif, sehingga penelitian akan menggunakan metode kuantitatif dengan format deskriptif, agar mampu menjelaskan ringkasan variabel yang timbul dimasyarakat yang menjadi objek penelitian (**Bungin, 2004**). Teknik pengumpulan data sekunder yang akan digunakan dalam penelitian ini, yaitu dengan telah dokumen. Teknik tersebut ialah mengumpulkan data-data yang akan digunakan untuk diolah. Data-data tersebut bersumber dari instansi terkait, hasil penelitian terdahulu.

Penelitian kuantitatif juga dapat didefinisikan sebagai metode yang didasarkan pada asas positifisme, digunakan untuk meneliti pada populasi atau sampel tertentu, dimana

- a) Teknik pengambilan sampelnya dilakukan secara random
- b) Pengumpulan data menggunakan instrument penelitian
- c) Analisis data bersifat kuantitatif / statistik dengan tujuan untuk menguji hipotesis yang ditetapkan (**Sugiyono, 2013**)

Cara untuk menarik kesimpulan pada penelitian ini adalah mengkombinasi dari hipotesis asosiatif untuk nilai dari parameter tanah.

Penelitian kuantitatif yang dilandasi pada suatu asumsi bahwa suatu gejala dapat diklasifikasikan sementara gejala juga bersifat sebab akibat. Model penelitian adalah pola pikir yang menterjemahkan hubungan antar variabel yang akan diteliti dan sekaligus mencerminkan jenis dan jumlah rumusan masalah, teori untuk merumuskan hipotesis serta teknik analisa statistika yang akan digunakan (Sugiyono, 2019).

Karya tulis ini mengkaji sebuah fenomena alam yang terjadi pada tanah *clay shale* di daerah hambalang Jawa Barat. Apa yang akan terjadi jika tanah daerah tersebut mendapatkan perlakuan tertentu. Untuk mendapatkan sebuah kesimpulan yang definitive, maka dilakukan berbagai macam perlakuan dengan metode eksperimen.

Metode eksperimen merupakan sebuah metode yang sering digunakan dalam penelitian ilmu eksak. Pengamatan dilakukan dalam kondisi buatan, dimana kondisi tersebut dibuat dan diatur oleh peneliti. Ada kondisi yang dimanipulasi terhadap objek penelian yang akan di control. Beberapa percobaan akan di lakukan untuk menguji sebuah hipotesis.

Penelitian eksperimen membuat sebuah analisa sebab akibat dan bentuk hubungan yang terjadi antara variable penelitian dengan cara memberikan perlakuan – perlakuan tertentu dan kontrol terhadap objek yang diteliti. Kontrol yang dilakukan dapat berupa manipulasi fisik atau seleksi fisik terhadap objek yang diteliti.

3.2. Lokasi Penelitian

Lokasi dalam penelitian ini di daerah Hambalang, Jawa Barat, seperti pada Gambar 3.1 berikut ini.



Gambar 3.1 Lokas Penelitian; *Clay shale* Hambalang, Jawa Barat

3.3. Sumber Data dan Teknik Pengumpulan Data

3.3.1. Jenis dan Sumber Data

Jenis-jenis data dapat dikategorikan sebagai berikut menurut cara memperolehnya diantaranya :

1. Data primer, yaitu data yang dikumpulkan dan diolah sendiri oleh peneliti langsung dari subjek atau objek penelitian.
2. Data sekunder, yaitu data yang didapatkan tidak secara langsung dari objek atau subjek penelitian.

Data primer adalah data yang diambil langsung dari sampel yang sudah ditentukan dengan teknik pengambilan datanya yang lazim biasanya dengan survey lapangan dan penyelidikan laboratorium berdasarkan standar pemeriksaan sampel geoteknik dari ASTM dan SNI.

Data sekunder adalah data yang diperoleh dari penelitian lain yang didapat dengan cara mendatangi langsung instansi terkait dan mengambil hardcopynya, penelusuran web instansi, jurnal, prosiding dan lain-lain.

3.3.2. Teknik dan Pengumpul Data

Kegiatan pengumpulan dan analisis data merupakan tahap pelaksanaan dalam proses melakukan penelitian. Pengumpulan dan analisis data penelitian didasarkan pada suatu metode atau prosedur agar data yang diinginkan dapat terkumpul secara lengkap dari lapangan. Pengumpulan data dilakukan untuk memperoleh informasi yang dibutuhkan dalam rangka mencapai tujuan penelitian. Sebelum melakukan penelitian, seorang peneliti biasanya telah memiliki dugaan berdasarkan teori yang ia gunakan, dugaan tersebut disebut dengan hipotesis. Untuk membuktikan hipotesis secara empiris, seorang peneliti membutuhkan pengumpulan data untuk diteliti secara lebih mendalam. Proses pengumpulan data ditentukan oleh variabel-variabel yang ada dalam hipotesis. Pengumpulan data dilakukan terhadap sampel yang telah ditentukan sebelumnya. Data adalah sesuatu yang belum memiliki arti bagi penerimanya dan masih membutuhkan adanya suatu pengolahan.

Teknik yang digunakan untuk mengumpulkan data adalah:

1. Wawancara dengan tanya jawab secara langsung dengan pihak-pihak yang pernah melakukan penelitian, beberapa tokoh yang dalam kegiatan nya berhubungan langsung dengan sebuah pekerjaan kontruksi jalan mengenai pengalaman empirik di lapangan.
2. Study Pustaka yaitu dengan teknik pengumpulan data dengan mengutip dari beberapa literatur hasil penelitian sebelumnya, buku penunjang teori yang berkaitan dengan objek penelitian.
3. Observasi yaitu dengan teknik pengumpulan data dengan melakukan pengamatan secara langsung terhadap objek yang diamati.

3.3.3. Persiapan Sampel Uji

Dalam melakukan persiapan uji sampel dari objek penelitian dilakukan dengan berpedoman terhadap metode pengujian yang dilakukan.

Dalam penelitian ini sampel yang dipersiapkan adalah tanah lempung yang diambil dari daerah Hambalang, Bogor, Jawa Barat. Sampel tanah dikumpulkan dalam kondisi tertentu.

Selanjutnya sampel diberikan kode untuk memudahkan peneliti melakukan klasifikasi berdasarkan kondisi tertentu. (Misalnya, Suhu, Kadar air, warna)

3.3.4. Prosedur Penelitian Laboratorium

Penelitian yang dilakukan merupakan penelitian material *clay shale* yang akan diupayakan stabilisasinya menggunakan semen Portland. Tanah *clay shale* ini diperoleh dari daerah Hambalang, Bogor, Jawa Barat Lokasinya berada jalur trase jalan puncak 2, *clay shale* diambil dalam kondisi yang terganggu (disturbed) dimana sampel uji ini telah terekspos oleh udara luar. Dalam penelitian ini, pengujian dilakukan di laboratorium Geoinves Soil Mechanics Laboratory. Prosedur pengujian dilakukan berdasarkan standar ASTM. Pengujian – pengujian yang dilakukan dalam penelitian ini diantara lain adalah :

1. Pengujian Sifat Fisik Tanah (*Index Properties*)
 - A. Pemeriksaan Kadar Air (*Water Content Test*)

Tujuan :

Percobaan ini dimaksudkan untuk menentukan kadar air tanah.

Standar yang digunakan :

ASTM D 2216-71

Peralatan :

- a. *Oven* dilengkapi dengan pengatur suhu sampai $(110 \pm 5^\circ) \text{ C}$
- b. Timbangan dengan ketelitian 0,1 g
- c. Kontainer

Prosedur Percobaan :

- a. Ambil tanah tak terganggu (*Undisturbed Sample*) dan masukkan ke dalam tiga buah kontainer yang telah diberi label.
- b. Masing-masing kontainer yang telah diisi contoh tanah ditimbang dan dicatat.

Tabel 3.1 Berat Minimum Berdasarkan Ukuran Maksimum Partikel

Ukuran maksimum partikel	Berat minimum sampel (untuk dioven)
0,425 mm	10 g
4,75 mm	100 g
12,7 mm	300 g
25,4 mm	500 g
50,8 mm	1000 g

Sumber : *ASTM (American Society for Testing and Materials, hal. 683)*

- c. Selanjutnya kontainer-kontainer tersebut dimasukkan ke dalam *Oven* selama 24 jam pada temperatur lebih kurang $(110 \pm 5^\circ) \text{ Celcius}$ atau sampai beratnya konstan.
- d. Setelah di *Oven* selama 24 jam, kontainer ditambah tanah tersebut ditimbang dan dicatat.

B. Pemeriksaan Berat Volume (*Volumetric Weight Test*)

Tujuan :

Untuk mengetahui berat volume tanah (γ) dalam keadaan tidak terganggu (*Undisturbed*).

Standar yang digunakan :

ASTM D 2937-83

Peralatan :

- a. Cincin silinder dengan berat dan volume tertentu
- b. Minyak pelumas

- c. Pisau perata
- d. Timbangan dengan ketelitian 0,1 g

Prosedur Percobaan :

- a. Ambil cincin silinder, bersihkan bagian dalamnya dan timbang, kemudian beri minyak pelumas.
- b. Dengan menggunakan *Sample Extruder*, tanah *Undisturbed* dikeluarkan dari tabung sampel dan diisikan ke cincin. Kedua permukaan tanah harus diratakan dengan pisau.
- c. Cincin yang berisi tanah *Undisturbed* tersebut ditimbang kemudian dicatat.
- d. Sampel tanah dikeluarkan.

C. Pemeriksaan Berat Spesifik (*Specific Gravity Test*)

Tujuan :

Pemeriksaan ini bertujuan untuk menentukan berat spesifik butiran tanah (Gs).

Standar yang digunakan : **ASTM D 854-58**

Peralatan :

- a. Tabung piknometer sebanyak 3 buah
- b. Ayakan (*sieve*) No. 10
- c. Timbangan dengan ketelitian 0,1 g
- d. Oven

Prosedur Percobaan :

- a. Sampel tanah yang sudah dioven selama 24 jam diayak dengan menggunakan saringan No. 10 dan yang lolos diambil secukupnya.
- b. Piknometer dicuci dan dikeringkan. Kemudian piknometer dan tutupnya ditimbang (W_1).
- c. Tanah yang lolos ayakan tadi dimasukkan ke dalam piknometer sekitar 1/3 nya kemudian bersama piknometer dan tutupnya ditimbang lagi (W_2).
- d. Tambahkan air suling hingga 2/3 tinggi piknometer lalu diguncang-guncang perlahan supaya gelembung udara dalam tanah keluar.

- e. Piktometer beserta isinya direbus dalam air mendidih selama ± 10 menit kemudian keluarkan lagi dan dinginkan.
- f. Tambahkan air sampai penuh kemudian ditimbang beratnya, yaitu berat piktometer beserta seluruh isinya (W_3). Air dalam piktometer diukur suhunya dengan termometer ($^{\circ}\text{C}$).
- g. Keluarkan isi piktometer, bersihkan, kemudian isi air sampai penuh dan timbang kembali (W_4).

2. Analisa Butiran (Grained Size Analysis)

Metoda ini bertujuan menentukan Kuantitatif distribusi ukuran partikel dari tanah. Distribusi dari ukuran partikel lebih besar dari $75\ \mu\text{m}$ (tertahan saringan no. 200) ditentukan dengan analisa saringan, yang mana distribusi ukuran partikel tanah yang lebih kecil dari $75\ \mu\text{m}$ ditentukan dengan proses pengendapan menggunakan hidrometer. **ASTM 2487 – 63**

A. Analisa Saringan (Sieve Analysis)

Tujuan :

- a. Untuk mengetahui gradasi pembagian butiran dari suatu sampel tanah berbutiran kasar.
- b. Untuk mengklasifikasikan tanah.
- c. Untuk mengetahui koefisien keseragaman (C_u) & koefisien gradasi (C_c).

Peralatan :

- a. Satu set saringan, dengan urutan sebagai berikut: No. 4, No. 10, No. 20, No. 40, No. 100, No. 200, dan *Pan* (tadah)
- b. *Sieve Shaker*, yaitu alat pengguncang saringan mekanis
- c. Oven
- d. Timbangan
- e. Sikat dan kuas untuk membersihkan saringan
- f. Palu karet untuk memisahkan butiran tanah
- g. Air suling untuk mencuci tanah di atas saringan No. 200

Prosedur Percobaan :

- a. Berat tertahan diperoleh dari hasil penimbangan tanah yang tertahan pada masing-masing saringan.

- b. Ambil sampel tanah yang telah dikeringkan selama 24 jam sebanyak 300 gram, dan apabila masih bergumpal, pisahkan dengan palu karet dengan cara memukul-mukulnya.
- c. Tanah tersebut dicuci di atas saringan No. 200 sampai air yang keluar dari saringan menjadi bening.
- d. Butiran yang tertahan pada saringan No. 200 dikeringkan kembali dalam oven selama 24 jam.
- e. Tanah diayak dengan satu set saringan dengan menggunakan Sieve Shaker selama 15 menit.
- f. Timbang butiran yang tertahan pada masing-masing saringan.

Pengolahan Data :

- a. Berat tertahan diperoleh dari hasil penimbangan tanah yang tertahan pada masing-masing saringan.
- b. Jumlah berat tertahan adalah kumulatif dari berat tertahan.
- c. $\text{Persen tertahan} = \frac{\text{Jumlah berat tertahan}}{\text{Berat tanah awal}} \times 100\%$
- d. $\text{Persen lewat} = 100\% - \text{persen tertahan.}$
- e. $\text{Persen lewat terhadap seluruh sampel} = \text{persen lewat.}$
- f. Persentase kumulatif tanah yang tertinggal pada saringan ke-n adalah jumlah persentase tanah yang tertahan sampai saringan ke-n.
- g. $\text{Persentase lolos masing-masing saringan} = 100\% - \text{persentase kumulatif berat tertahan masing-masing saringan.}$

B. Analisa Hidrometer (Hydrometer Analysis)

Tujuan :

Menentukan pembagian butiran tanah yang lolos saringan No. 200 dan lengkung gradasinya.

Peralatan :

- a. *Hydrometer*
- b. Gelas ukur kapasitas 100 ml dan 1000 ml
- c. Alat penumbuk
- d. Na_2SO_4 dan air sulin
- e. *Stopwatch*

- f. Saringan No. 200 dan *pan*
- g. *Waterbath*

Prosedur Percobaan :

- a. Ambil sampel tanah kering yang telah *dioven*, ditumbuk dan diayak di atas saringan No. 200.
- b. Tanah yang lolos saringan No. 200 diambil sebanyak 60 g.
- c. Siapkan gelas ukur dan masukkan tanah tersebut ke dalam gelas ukur dengan hati-hati.
- d. Gelas ukur yang telah berisi tanah tadi ditambahkan dengan 115 cc air suling + 10 cc Na₂SO₄ secara perlahan-lahan.
- e. Guncang gelas ukur perlahan-lahan jangan sampai tanah dalam gelas ukur mengalami suspensi, kemudian didiamkan selama 24 jam.
- f. Setelah 24 jam, tambahkan lagi air suling hingga volumenya mencapai 1000 ml.
- g. Tutup mulut gelas ukur rapat-rapat dengan telapak tangan, lalu jungkir-balikkan gelas ukur dengan hati-hati sampai campuran dalam gelas ukur terlihat merata. Lakukan selama lebih kurang satu menit sehingga tidak ada lagi tanah yang mengendap pada dasar gelas ukur.
- h. Setelah merata, gerakan tersebut dihentikan, kemudian letakkan gelas ukur di *Waterbath*.
- i. Masukkan Hydrometer ke dalam gelas ukur secara perlahan-lahan.
- j. Pengamatan dengan Hydrometer dilakukan setelah Hydrometer tenang di dalam gelas ukur selama 20-25 detik. Setelah tenang barulah dilakukan pencatatan seperti tabel yang telah tersedia. Dalam melakukan pengamatan harus hati-hati, jangan sampai menimbulkan guncangan pada gelas ukur tersebut.
- k. Setelah dilakukan pengambilan data pada waktu yang telah ditentukan, segera angkat Hydrometer dan bersihkan dengan air. Ulangi pembacaan sesuai dengan waktu yang telah ditentukan dan angkat lagi Hydrometer setelah pembacaan dan seterusnya.

- l. Ukur temperatur setiap kali pembacaan.

Pengolahan Data

- a. Rh adalah bacaan pada Hydrometer.
- b. Zr diperoleh dengan melihat tabel tergantung kepada nilai Rh.
- c. Cari nilai K yang merupakan fungsi dari berat spesifik dan kekentalan dan tergantung pada temperatur saat dilakukan pengujian.
- d. D diperoleh dengan rumus: $D = \left(\frac{Zr}{t}\right)^{1/2} \cdot K$
- e. Koreksi suhu (tm) diperoleh dari tabel yang tergantung pada temperatur pengujian.
- f. Tentukan faktor koreksi c terhadap berat jenis butiran dari tabel.
- g. Hitung harga Rh + tm.
- h. Hitung harga N, dengan rumus $N = \frac{[(Rh + tm) \cdot c \cdot 100\%]}{W_s}$
- i. Hitung harga N' dengan rumus $N' = \frac{N}{100} \times \% \text{ lolos saringan No. 200}$
- j. Gambarkan kurva gradasinya.

3. Pengujian Slake Durability Index

Tujuan :

Melihat pengaruh pelapukan terhadap batuan.

Peralatan :

- a. *Slake durability apparatus*
- b. *Neraca ohaus*
- c. *Stopwatch*
- d. *Oven*

Prosedur Uji :

- a. Sampel diletakan di dalam alat yang terdiri dari dua set drum dengan panjang 100 mm dan 140 mm; 53 Institut Sains dan Teknologi Nasional
- b. Dua drum akan berotasi di air yang ketinggiannya sekitar 20 mm dibawah sumbu drum;
- c. Rotasi dijalankan oleh mesin yang dapat memutar drum dengan kecepatan 20 rpm selama 10 menit;

- d. Sebelum dilakukan pengujian slake durability, benda uji di timbang terlebih dahulu bersama dengan drum;
- e. Setelah dilakukan slaking selama 10 menit, sampel kemudian dikeringkan di dalam oven bersama dengan drum. Temperatur oven yang digunakan $\pm 100^{\circ}\text{C}$ dengan durasi 2 – 6 jam;
- f. Setelah selesai di oven kemudian benda uji didiamkan beberapa menit hingga sampel dan drum dingin;
- g. Terakhir ukur masa sampel yang telah dingin bersama dengan drum untuk memperoleh indeks durabilitas.

Perhitungan :

Perhitungan durabilitas dapat dihitung sebagai berikut:

$$(W_2 - W_d)/W_o \times 100\%$$

Dimana :

W₂ = Weight of oven dried sample + Drum after rotated (1st Cycle), (gram)

W_d = Weight of oven drum, (gram)

W_o = Weight of sample, (gram)

3.4. METODA ANALISIS DATA

Data kuantitatif numerik yang diperoleh dari hasil percobaan dapat dianalisa secara akurat. Salah satu contoh data numerik dalam metode penelitian kuantitatif yaitu hasil uji eksperimen. Teknik analisis data kuantitatif di olah dengan menggunakan perhitungan model matematika dan model statistik.

3.4.1. Analisis Deskriptif

Analisis deskriptif merupakan aktivitas penghimpunan, penataan, peringkasan dan penyajian data dengan harapan agar data lebih bermakna, mudah dibaca dan mudah dipahami oleh pengguna data. Statistik deskriptif hanya sebatas memberikan deskripsi atau gambaran umum tentang karakteristik objek yang diteliti tanpa maksud untuk melakukan generalisasi sampel terhadap populasi. Statistik deskriptif digunakan untuk menjelaskan atau memberikan gambaran mengenai karakteristik dari serangkaian data tanpa mengambil kesimpulan umum (Ghozali, 2016). Penyajian data statistik deskriptif biasanya

dalam bentuk diagram atau tabel. Analisis statistik deskriptif terdiri dari nilai *mean*, *median*, *maksimum*, *minimum*, dan *standard deviation*. Analisis statistik deskriptif memiliki tujuan untuk menggambarkan atau mendeskripsikan data berdasarkan pada hasil yang diperoleh dari jawaban responden pada masing-masing indikator pengukur variabel.

Statistik deskriptif untuk memberikan gambaran mengenai variabel-variabel yang digunakan, seperti nilai ideal dari sebuah objek, nilai minimum, nilai maksimum, rata-rata dan standar deviasi pada masing-masing penelitian. Analisis statistik deskriptif menunjukkan gambaran kondisi dan karakteristik objek penelitian untuk masing-masing konstruk atau variabel yang diteliti. Analisis deskriptif dilakukan dengan menyajikan data ke dalam tabel, Analisis statistik deskriptif bertujuan untuk mengumpulkan, mengolah, dan menganalisis data sehingga dapat disajikan dalam tampilan yang lebih baik (Ghozali, 2016).

3.4.2. Analisis Inferensial

Teknik analisis data kuantitatif inferensial menggunakan rumus statistik. Hasil yang diperoleh dari perhitungan tersebut digunakan sebagai dasar untuk membuat kesimpulan yang berlaku secara umum (generalisasi).

Analisis Statistik Inferensial adalah serangkaian teknik yang digunakan untuk mengkaji, menafsirkan dan mengambil kesimpulan berdasarkan data yang diperoleh dari sampel atau hasil pengujian untuk menggambarkan karakteristik atau ciri dari suatu populasi (Rudi Susilana, 2017). Atau dengan kata lain penelitian inferensial adalah proses pengambilan kesimpulan-kesimpulan berdasarkan data sampel yang lebih sedikit menjadi kesimpulan yang lebih umum untuk sebuah populasi. Oleh karena itu, statistika inferensial disebut juga statistic induktif atau statistik penarikan kesimpulan. Dalam statistika inferensial, kesimpulan dapat diambil setelah melakukan pengolahan serta penyajian data dari suatu sampel yang diambil dari suatu populasi, sehingga agar dapat memberikan cerminan yang mendekati sebenarnya dari suatu populasi. Teknik pengolahan data terdiri dari beberapa tahapan. Tahapan-tahapan yang harus kita lalui dalam mengolah data yaitu:

1. Pengumpulan Data

Pada tahapan ini, kita mengumpulkan data-data yang dibutuhkan.

2. Penyuntingan (*Editing*)

Yang dimaksud dengan *editing* dalam analisa data adalah kegiatan memeriksa kelengkapan dan kejelasan pengisian instrumen pengumpulan data, seperti sampel objek yang akan di uji.

3. Pengodean (*Coding*)

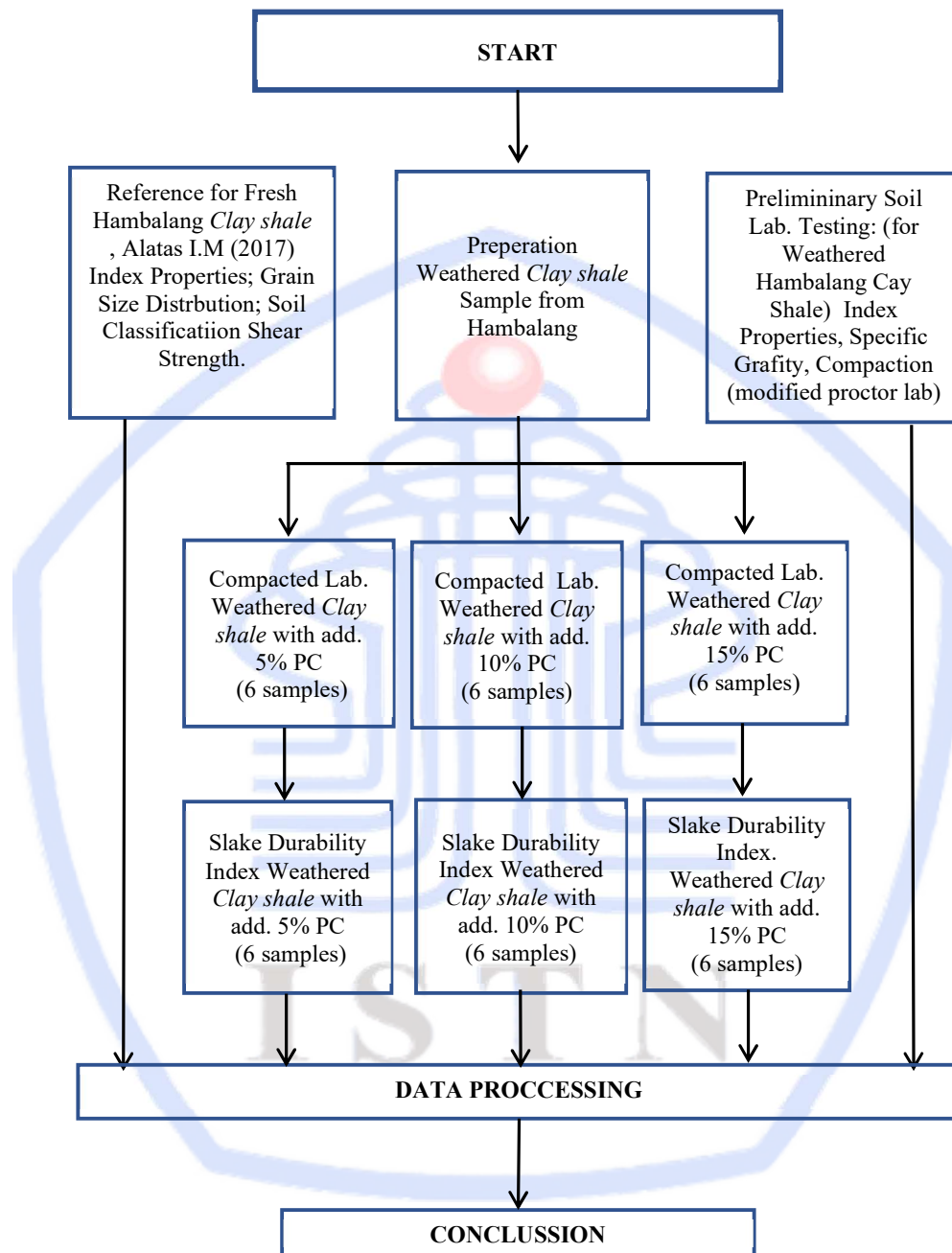
Coding dalam penelitian yaitu proses identifikasi dan klasifikasi dengan memberikan simbol berupa angka pada tiap objek yang diteliti.

4. Tabulasi

Pada tahapan ini kita melakukan data entri, menyusun, dan menghitung data yang telah dikodekan ke dalam tabel.



3.5. FLOW CHART



BAB IV

HASIL PENELITIAN

4.1 Pendahuluan

Karya tulis ini mengkaji sebuah fenomena alam yang terjadi pada *clay shale* di daerah hambalang Jawa Barat. Apa yang akan terjadi jika tanah daerah tersebut mendapatkan perlakuan tertentu. Untuk mendapatkan sebuah kesimpulan yang definitive, maka dilakukan berbagai macam perlakuan dengan metode eksperimen.

Metode eksperimen adalah sebuah metode yang sering digunakan dalam penelitian ilmu eksak. Pengamatan dilakukan dalam kondisi buatan, dimana kondisi tersebut dibuat dan diatur oleh peneliti. Ada kondisi yang dimanipulasi terhadap objek penelitian yang akan di control. Beberapa percobaan akan di lakukan untuk menguji sebuah hipotesis.

Penelitian eksperimen membuat sebuah analisa sebab akibat dan bentuk hubungan yang terjadi antara variable penelitian dengan cara memberikan perlakuan perlakuan tertentu dan control terhadap objek yang diteliti. Kontrol yang dilakukan dapat berupa manipulasi fisik atau seleksi fisik terhadap objek yang diteliti.

Dari hasil berbagai pengujian akan diperoleh data data yang kemudian di berikan penjelasan narasi untuk memberikan gambaran yang lebih jelas tentang objek yang di teliti di labolatorium.

Pada bab ini akan dibahas mengenai hasil pengujian *clay shale* yang telah lapuk seluruhnya distabilisasi menggunakan semen *portland* dengan campuran tertentu pada kadar air WnWopt. Yang kemudian dicari properties tanahnya dan sebelum dilakukan pengujian *Slake Durability* sampel di soaked selama 3 hari. Sampel tanah *clay shale* yang digunakan adalah tanah *clay shale* dari daerah Pengujian labolatorium dilakukan terhadap tanah lempung yang diambil dari Tanah *clay shale* ini diperoleh dari daerah Hambalang, Bogor, Jawa Barat, *clay shale* diambil dalam kondisi yang terganggu (*disturbed*) dimana sampel uji ini telah terekspos oleh udara luar.

Penelitian ini merupakan salah satu dari seri penelitian yang dilakukan sebelum nya. Penelitian yang dilakukan sebelum nya yang dilakukan oleh Ayu , K.

R., . (2021). dengan judul "Pengaruh Semen *Portland* Terhadap Ketahanan Tanah *Clay shale* Yang Telah Mengalami Pelapukan (Studi Kasus : *Clay shale* Cariu, Jonggol)" menyimpulkan bahwa pada *clay shale* Jonggol cariu , nilai SDI dari *clay shale* lapuk Cariu didapat maksimum pada 15% PC sebesar 63%, sedangkan pada 10% PC SDI maksimum sebesar 46% dan pada 5% PC sebesar 39.8%. Semuanya termasuk klasifikasi Low (rendah) pada siklus pertama (Purnomo 2020, Ayu 2021)

Penelitian lain juga dilakukan oleh DR. Ir. Idrus M. Alatas M.Sc dengan judul "Penambahan *Portland Cement* Terhadap Perilaku Pelapukan Ulang *Clay shale* Hambalang" pada Program Studi Teknik Sipil Fakultas Teknik Sipil Dan Perencanaan Institut Sains Dan Teknologi Nasional Tahun 2019 yang memberikan banyak informasi tentang Index Properties dan Physical Properties Hambalang.

Beberapa perbedaan dalam penelitian adalah dalam hal metode pemadatan dan komposisi campuran PC. Jika pada penelitian terdahulu menggunakan metode pemadatan ASTM dengan variasi komposisi 0%, 3%, 6% dan 12 % PC. Maka pada penelitian ini metode pemadatan yang digunakan adalah SCMT dengan variasi komposisi 0%, 5%, 10% dan 15 % PC.

Dari hasil pengujian yang dilakukan oleh DR. Ir. Idrus M. Alatas M.Sc secara umum menjelaskan bahwa terdapat perbedaan yang signifikan terhadap kondisi tanah *clay shale* Hambalang dengan pencampuran PC dan tanpa PC.

Tanah *clay shale* Hambalang yang ditambah 3% PC dengan kadar air awal 6% (lebih kecil dari $w_{optimum}$), daya tahannya terlihat cukup stabil hingga tertinggal 40% pada siklus ke 9 di hari ke-4. Dari siklus ke-1 sampai siklus ke-9, sampel dengan kadar air 6% lebih tahan, dibanding dengan kadar air 9%. Dan sampel dengan kadar air 9% lebih tahan dibandingkan sampel dengan kadar air 12%. Disini terlihat jelas pengurangan kadar air dan 3% PC saat dipadatkan akan memberikan campuran *clay shale* Hambalang jauh lebih tahan lauk dibandingkan tanpa menggunakan semen *portland*.

Pada siklus pembasahan dan pengeringan siklus ke-1 pada penambahan 6% PC terlihat bahwa DR turun disekitar 0.9929 saat dipadatkan dengan kadar air 9% ($w_{optimum}$), bahkan pada siklus ke-5 DR hanya turun dan menjadi 0.7852. Ini jauh lebih baik dibandingkan menggunakan 3% PC dalam memadatkannya. Rasio disintegritas (DR) pada siklus ke-9 apada kadar air awal 9% menjadi 0.5486. Hal

ini dapat disimpulkan bahwa tambahan 6% semen *portland, clay shale* Hambalang lapuk yang dipadatkan maksimum akan cepat tahan dari pelapukan hingga 55 % di siklus ke-9 bila dipadatkan dengan kadar air 9% (kadar air optimum). *Clay shale* Hambalang lapuk yang dipadatkan ulang dengan menambahkan *portland cement* sebanyak 6% tidak akan melapuk seluruhnya hingga siklus ke-9 bila dipadatkan pada kadar air sebesar 9%.

Uji pemadatan dengan SCMT Methode dapat menjadi alternatif pengujian kepadatan di laboratorium , dimana hasil uji dengan SCMT Methode ini hasilnya sama dengan cara ASTM. Sekaligus sampel uji dpat dicari kuat gesernya dengan uji UCT.

Uji pemadatan dengan SCMT akan hemat pemakaian tanah, waktu dan tenaga. Dengan menggunakan PCC untuk stabilisasi Lempung Deltamas, maka daya dukung CBR akan meningkat, dan akan stabil untuk keperluan subgrade dengan pemakaian PCC sebanyak 10 %, walaupun terjadi peningkatan kadar air saat hujan (Soaked) Keberadaan air (kadar air) yang cukup pada saat pemadatan dengan PCC akan mempengaruhi nilai CBR.

Dari uji Lempung Srengseng terbukti bahwa kadar air awal lebih tinggi akan menghasikan CBR yang lebih tinggi bila distabiliasi dengan PC.

Pada kadar air rendah, tanah menjadi kaku dan lebih tahan terhadap pemadatan. Saat kadar air meningkat, partikel tanah dilumasi. Massa tanah menjadi lebih bisa diterapkan dan partikel-partikel memiliki pengepakan yang lebih dekat. Kerapatan kering tanah meningkat dengan bertambahnya kadar air sampai kadar air optimum tercapai. Pada tahap itu, rongga udara mencapai volume yang kira-kira konstan. Dengan peningkatan kadar air lebih lanjut, rongga udara tidak berkurang, tetapi rongga total (udara ditambah air) meningkat dan densitas kering berkurang. Dengan demikian kepadatan kering yang lebih tinggi dicapai hingga kadar air optimal karena memaksa rongga udara keluar dari rongga tanah. Setelah kadar air optimum tercapai, menjadi lebih sulit untuk memaksa udara keluar dan untuk selanjutnya mengurangi rongga udara. Pengaruh kadar air pada pemadatan tanah juga dapat dijelaskan dengan bantuan teori lapisan ganda listrik. Pada kadar air yang rendah, gaya tarik-menarik pada lapisan air yang teradsorpsi besar, dan lebih banyak resistensi terhadap pergerakan partikel. Saat kadar air meningkat, lapisan

ganda listrik mengembang dan gaya tolak antar partikel meningkat. Partikel dengan mudah meluncur satu sama lain dan dikemas rapat. Ini menghasilkan kepadatan kering yang lebih tinggi.

Pemadatan tanah meningkat dengan meningkatnya jumlah upaya pemadatan. Dengan meningkatnya upaya pemadatan, kadar air optimum yang diperlukan untuk pemadatan juga berkurang. Pada kadar air kurang dari optimal, efek peningkatan pemadatan lebih dominan. Pada kadar air lebih dari optimum, volume rongga udara menjadi hampir konstan dan pengaruh peningkatan pemadatan pada tanah tidak signifikan. Dapat disebutkan bahwa kepadatan kering maksimum tidak terus meningkat dengan peningkatan upaya pemadatan. Untuk peningkatan tertentu dalam upaya pemadatan, peningkatan kepadatan kering menjadi lebih kecil dan lebih kecil. Akhirnya tercapai suatu tahap di mana tidak ada peningkatan lebih lanjut dalam kepadatan kering dengan peningkatan upaya pemadatan. Garis optimum yang menghubungkan puncak kurva pemadatan dari upaya pemadatan yang berbeda mengikuti tren umum kekosongan udara nol. Garis ini sesuai dengan rongga udara sekitar 5%.

Pemadatan tanah tergantung pada jenis tanah. Kepadatan kering maksimum dan kadar air optimum untuk tanah yang berbeda ditunjukkan pada gambar. Secara umum, tanah berbutir kasar dapat dipadatkan hingga kepadatan kering yang lebih tinggi daripada tanah berbutir halus. Dengan penambahan bahkan sejumlah kecil butiran halus ke tanah berbutir kasar, tanah mencapai kepadatan kering yang jauh lebih tinggi untuk upaya pemadatan yang sama. Akan tetapi, jika jumlah butiran halus di dalam meningkat sampai suatu nilai lebih dari yang dibutuhkan untuk mengisi rongga-rongga tanah berbutir kasar, berat jenis kering maksimum akan berkurang. Pasir bergradasi baik mencapai kepadatan kering yang jauh lebih tinggi daripada tanah bergradasi buruk. Tanah kohesif memiliki rongga udara yang tinggi. Tanah ini mencapai kepadatan kering maksimum yang relatif lebih rendah dibandingkan dengan tanah tanpa kohesi. Tanah seperti itu membutuhkan lebih banyak air daripada tanah tanpa kohesi dan oleh karena itu kadar air optimumnya tinggi. Lempung berat dengan plastisitas sangat tinggi memiliki densitas kering yang sangat rendah dan kadar air optimum yang sangat tinggi.

Kepadatan kering yang dicapai tidak hanya tergantung pada jumlah usaha pemadatan tetapi juga pada metode pemadatan. Untuk jumlah usaha pemadatan yang sama, densitas kering akan tergantung pada apakah metode pemadatan menggunakan aksi pengadukan, aksi dinamis atau aksi statis. Sebagai contoh, dalam uji pemadatan Miniatur Harvard, tanah dipadatkan dengan tindakan pengadukan, dan oleh karena itu, kurva pemadatan yang diperoleh berbeda dari yang diperoleh dari uji konvensional lainnya yang menerapkan upaya pemadatan yang sama. Metode kurva pemadatan yang berbeda memberikan kurva pemadatannya sendiri. Akibatnya, garis optimum juga berbeda. Kurva pemadatan untuk tanah yang berbeda

4.2 Hasil Indeks Propertis *Clay Shale* Hambalang

Berikut merupakan hasil pengujian indeks pada tanah *clay shale* di Hambalang (Alatas I. M, 2017):

Tabel 4.1 Hasil Pengujian Propertis Index Clay Shale Hambalang

No	Parameter	Simbol	Nilai	Unit
1	<i>Bulk density</i>	Γ	23.4 ~ 24.7	kN/m ³
2	<i>Natural water conten</i>	w _n	3.50 ~ 5.11	%
3	<i>Specific gravity</i>	G _s	2.70 ~ 2.79	
4	<i>Dry Unit weight</i>	γ_d	22.1 ~ 23.7	kN/m ³
5	<i>Saturated unit weight</i>	Γ_{sat}	24.87	kN/m ³
6	<i>Void ratio</i>	E	0.204	
7	<i>Aterberg limit</i>			
	- <i>Liquid limit</i>	LL	25.12	%
	- <i>Plastic limit</i>	PL	14.12	%
	- <i>Plasticity indecx</i>	PI	11	%
8	<i>Soil distribution</i>			
	- <i>Sand</i>		32.98	%
	- <i>Silt</i>		27.02	%
	- <i>Clay</i>		40.00	%

Sumber: Alatas I. M, 2017 (data Hambalang)

Dari tabel di atas dapat dijelaskan beberapa hal sebagai berikut :

1. Bulk Density (BD), adalah suatu perbandingan antara massa padatan tanah dengan volume tanah, digunakan untuk mencirikan tanah, karena nilai perbandingan ini cukup stabil untuk jangka waktu yang lama biasanya dinyatakan dalam gr/cm³ (Darmayanti, 2012). Volume tanah adalah volume

kepadatan tanah termasuk pori-pori tanah. Tanah yang lebih padat mempunyai bulk density yang lebih besar dari tanah yang sama tetapi kurang padat. Dari beberapa hasil pengujian laboratorium tanah lempung di daerah Hambalang memiliki nilai Bulk density 23.4 ~ 24.7 hal ini menunjukkan bahwa nilai kepadatan tanah yang tinggi, sebab bulk density lapisan olah berstruktur halus biasanya berkisar antara 1,0 – 1,3. Sedangkan jika tekstur tanah itu kasar, maka kisaran itu selalu di antara 1,3 – 1,8.

Pemadatan tanah (compaction) adalah suatu proses dimana udara pada pori-pori tanah dikeluarkan dengan cara mekanis (digilas/ditumbuk) sehingga partikel-partikel tanah menjadi rapat. Dengan kata lain, Pemadatan Tanah adalah densifikasi tanah yang jenuh dengan penurunan volume rongga diisi dengan udara, sedangkan volume padatan dan kadar air tetap pada dasarnya sama. Hal ini merupakan cara yang paling jelas dan sederhana untuk memperbaiki stabilitas dan kekuatan dukung tanah.

Maksud pemadatan tanah menurut [Hardiyatmo \(1992\)](#), antara lain :

- 1) Mempertinggi kuat geser tanah
- 2) Mengurangi sifat mudah mampat (kompresibilitas)
- 3) Mengurangi permeabilitas
- 4) Mengurangi perubahan volume sebagai akibat perubahan kadar air dan lainnya.

Lempung merupakan mineral asli yang mempunyai sifat plastis saat basah, dengan ukuran butir yang sangat halus dan mempunyai komposisi berupa Hydrous Aluminium dan Magnesium Silikat dalam jumlah yang besar. Mineral lempung sebagian besar mempunyai struktur berlapis dimana ukuran mineralnya sangat kecil yakni kurang dari 2 μm ($1\mu\text{m} = 0,000001\text{m}$), meskipun ada klasifikasi yang menyatakan bahwa batas atas lempung adalah 0,005 m (ASTM) dan merupakan partikel yang aktif secara elektrokimiawi yang hanya dapat dilihat dengan mikroskop elektron.

2. Natural water content atau Kadar air yang terkandung dalam tanah merupakan perbandingan antara berat air yang terkandung dalam tanah dengan berat butiran tanah kering yang dinyatakan dalam persen (%). Pengujian kadar air dalam praktikum ini menggunakan standar [ASTM D2216-92 \(1996\)](#).

Apabila tanah sudah benar-benar kering maka tidak akan ada air sama sekali dalam porinya. Keadaan ini jarang ditemukan di tanah yang masih dalam keadaan asli/tanah dilapangan. Air hanya dapat dihilangkan dari tanah apabila kita ambil tindakan khusus untuk maksud itu, misalnya dengan memanaskan didalam oven. Penyelidikan tanah yang memadai merupakan suatu pekerjaan pendahuluan yang sangat penting pada perencanaan sebuah proyek. Oleh sebab itu perlu dilakukan uji kadar air pada tanah agar derajat kejenuhan pada tanah jangan sampai dikacaukan dengan kadar, yaitu perbandingan antara berat air dalam contoh tanah dengan berat butir.

3. *Specific gravity* atau Berat jenis tanah adalah angka perbandingan antara berat isi butir tanah dengan berat isi air suling pada volume yang sama dan suhu tertentu. Berat jenis tanah sangat penting diketahui yang selanjutnya digunakan dalam perhitungan - perhitungan mekanika tanah.
4. *Dry unit weight* merupakan pengujian terhadap berat volume kering merupakan salah satu percobaan yang dilakukan dalam praktikum mekanika tanah. Hal ini disebabkan karena berat asli dari tanah tergantung kepada besar volume dan berat dari mould. Pada pembuatan timbunan untuk pembuatan jalan raya dan tanah dan banyak struktur teknik lainnya, tanah yang lepas haruslah dipadatkan untuk meningkatkan berat berat volumenya. Pemadatan tersebut berfungsi untuk meningkatkan kekuatan dari tanah, sehingga dengan demikian meningkatkan daya dukung pondasi di atasnya. Pemadatan juga dapat mengurangi besarnya penurunan tanah yang tidak diizinkan atau diinginkan dan meningkatkan kemampuan lereng timbunan penggilas besi permukaan halus dan penggilas getar adalah alat-alat yang umum digunakan dilapangan untuk pemadatan tanah. Mesin getar dalam juga banyak digunakan untuk memadatkan tanah berbutir. Sampai kedalaman yang cukup besar dari permukaan tanah. Cara pemadatan tanah dengan system ini disebut Vibroflotation (pemampatan getar apung).

Tingkat pemadatan tanah diukur dari berat volume kering tanah yang dipadatkan. Bila air ditambahkan pada suatu tanah yang sedang dipadatkan, air tersebut akan berfungsi sebagai unsure pembasah (pelumas) pada partikel-partikel tanah kerana adanya air, partikel-partikel tanah tersebut akan lebih

mudah bergerak satu sama lainnya dan membentuk kedudukan yang lebih padat dan rapat. Untuk usaha pemadatan yang sama, berat volume kering dari tanah akan bertambah bila kadar air dalam tanah (pada saat dipadatkan) meningkat. Bila kadar airnya ditingkatkan terus secara bertahap pada usaha pemadatan yang sama, maka berat dari jumlah bahan padat dalam tanah persatuan volume juga meningkat secara bertahap pula. Setelah mencapai kadar air tertentu akibat adanya penambahan kadar air justru cenderung menurunkan berat volume kering dari tanah. Hal ini disebabkan karena air tersebut kemudian menempati ruang pori dalam tanah yang sebenarnya dapat ditempati oleh partikel-partikel dalam tanah. Kadar air dimana berat volume kering maksimum tanah dicapai disebut dengan kadar air optimum. Percobaan – percobaan dilaboratorium yang umum dilakukan untuk mendapatkan berat volume kering maximum dan kadar air optimum adalah Proctor Competition Test (uji pemadatan Proctor menurut nama penemunya ; Proctor 1933). Pada uji proctor, tanah dipadatkan dalam sebuah cetakan silinder bervolume $1/30 \text{ ft}^3$ ($\approx 943,3 \text{ cm}^3$). Diameter cetakan tersebut adalah 4 inci (= 101,6 mm) selama percobaan dilaboratorium, cetakan itu diletakkan pada sebuah plat dasar dan di atasnya diberi perpanjangan (juga berbentuk silinder). Tanah dicampur air dengan kadar yang berbeda-beda dan kemudian dipadatkan dengan menggunakan penumbuk kusus. Pemadatan tanah tersebut dilakukan dalam 3 (tiga) lapisan dan jumlah tumbukan adalah 25 x setiap lapisan. Disamping kadar air, factor-faktor lain juga mempengaruhi pemadatan yaitu berupa jenis tanah dan usaha pemadatan. Dry unit weight tanah lempung daerah hambalang memiliki nilai 22.1 ~ 23.7 hal ini menunjukkan struktur tanah memiliki sifat kepadatan yang sangat tinggi.

5. Saturated unit weight. Menurut **Terzaghi (1987)** tanah lempung merupakan tanah dengan ukuran mikrokonis sampai dengan sub-mikrokonis yang berasal dari pelapukan unsur-unsur kimiawi penyusun batuan. Tanah lempung sangat keras dalam keadaan kering dan tidak mudah terkelupas. Permeabilitas lempung sangat rendah, bersifat plastis pada kadar air sedang. Sedangkan pada keadaan air yang lebih tinggi tanah lempung akan bersifat kohesif dan sangat lunak. Untuk menentukan jenis lempung tidak cukup hanya dilihat dari ukuran butirannya saja tetapi perlu diketahui mineral yang terkandung didalamnya.

Secara fisik ukuran lempung adalah partikel yang berukuran antara 0,002 mm samapi 0,005 mm. Partikel-partikel ini merupakan sumber utama dari kohesi pada tanah kohesif.

6. Void ratio (e) Atau Angka pori, didefinisikan sebagai perbandingan antara volume pori dan volume butiran padat.
7. Liquid limit Tujuan dari pemeriksaan batas cair adalah untuk menentukan kadar air suatu tanah pada batas keadaan cair. Batas cair adalah kadar air batas dimana suatu tanah berubah dari keadaan cair menjadi keadaan plastis.
8. Plastic limit Maksud dari pemeriksaan batas plastis ialah untuk menentukan kadar air suatu tanah pada keadaan batas plastis. Batas plastis ialah kadar air minimum dimana suatu tanah masih dalam keadaan plastis. Batas ini merupakan batas terendah dari tingkat keplastisan tanah. Jika merujuk pada indeks plastis dengan tingkat plastisitas dan jenis tanah menurut Atterberg. Tanah lempung daerah Hambalang Jawa barat memiliki nilai 14,12 ini artinya struktur tanah daerah hambalang memiliki plastisitas yang sedang.
9. Plasticity index. Indeks plastisitas merupakan perbedaan antara batas cair (LL) dan batas plastis (PL). Nilai Plasticity index pada tanah lempung di daerah hambalang memiliki nilai 11 hasil dari Liquid Limit (25,12) dikurangi Plastic Limit (14,12).
10. Dari Data Soil distribution tanah lempung di daerah hambalang memiliki kandungan 32,98 % pasir (sand), 27,02 silt atau bahan sedimen atau dapat disebut tanah berat yang butirannya berukuran garis tengah 0.0039 mm – 0.0625 mm yang terendap dari cairan atau suspensi. Dan 40 % clay.

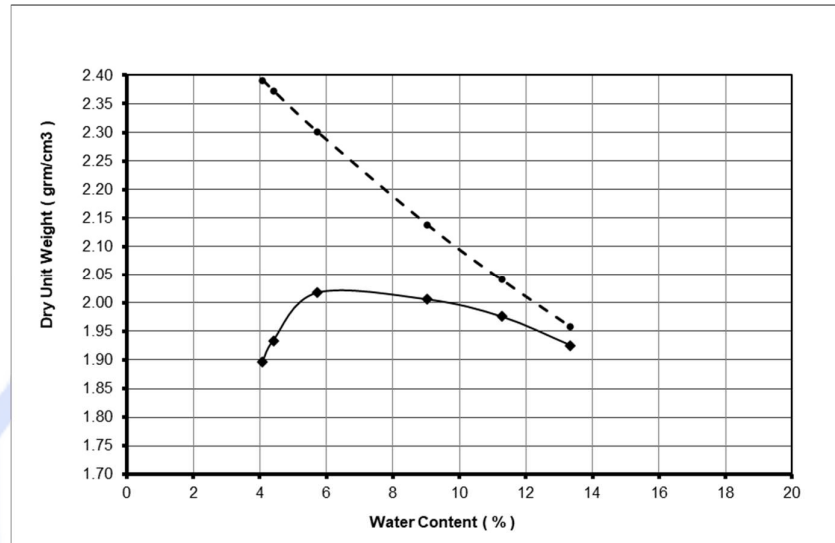
4.3 Parameter Pemadatan

Tujuan pemadatan ialah untuk memperbaiki sifat-sifat teknis massa tanah, yaitu :

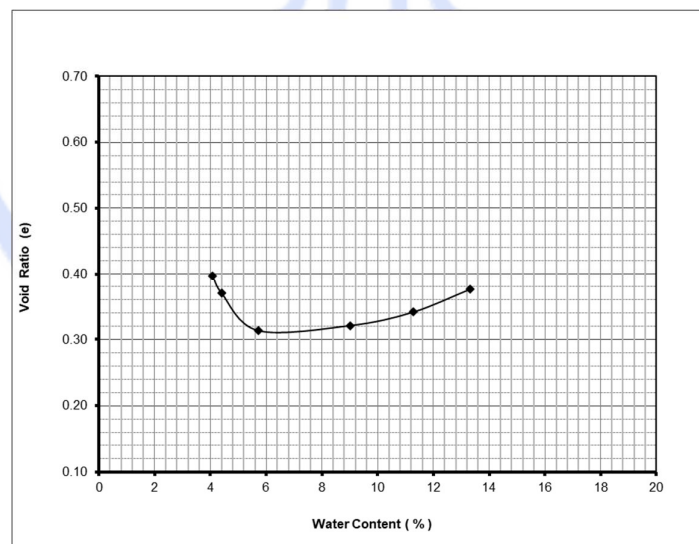
- Menaikkan kekuatannya
- Memperkecil pemampatannya dan daya rembes airnya
- Memperkecil pengaruh air terhadapnya

4.3.1 Compaction Properties Clay shale lapuk Hambalang Asli

Dibawah ini disajikan Kurva Pemadatan *Clay shale* Lapuk Hambalang dengan energi pematat 10 Blow/layer (SCMT) methods setara energi Modified Proctor ASTM D 638.



Gambar 4.1 Grafik Perbandingan Dry Unit Weight *Clay Shale* Lapuk Hambalang asli dan variasi kadar air dengan energy pematat 10 Blow/layer (SCMT) methods setara energi Modified Proctor ASTM D 638



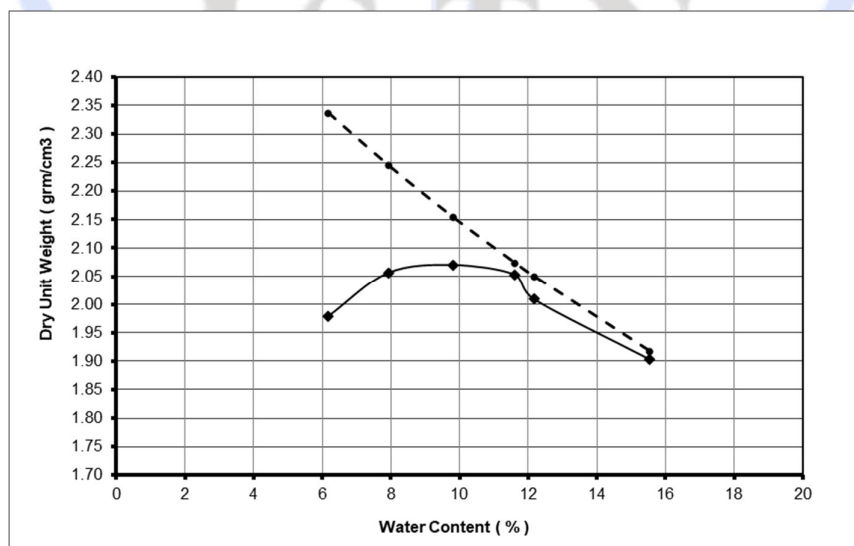
Gambar 4.2 Grafik Perbandingan Void ratio *Clay Shale* Lapuk Hambalang asli dan variasi kadar air dengan energy pemadat 10 Blow/layer (SCMT) methods setara energi Modified Proctor **ASTM D 638**

Tabel 4.2 Data hasil uji *Clay shale* Lapuk dengan 0 % PC; 10 Blow/Layer

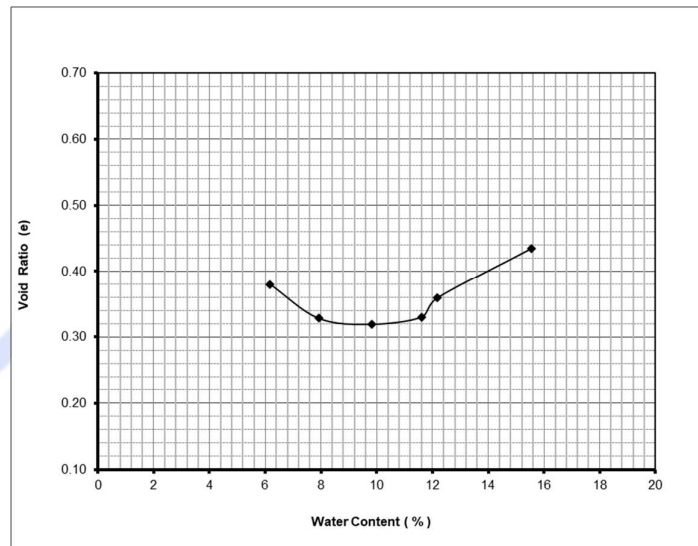
No	Kadar Air (%)	Berat Isi Kering (grm/cm ³)	Gs	2,65
			γ_d Sr=100%	Void Ratio e
1	4,082	1,896	2,39	0,40
2	4,406	1,934	2,37	0,37
3	5,723	2,018	2,30	0,31
4	9,028	2,006	2,14	0,32
5	11,265	1,976	2,04	0,34
6	13,312	1,926	1,96	0,38
Hasil Test				
Parameter Pemadatan			Nilai	
Berat isi Kering max ($\gamma_{d \max}$)			2,018	gr/cm ³
Kadar air Optimum (w_{opt})			5,723	%

Dari grafik dan tabel diatas dapat dilihat bahwa pada pengujian ke 3 diperoleh hasil berat isi kering maksimal dengan nilai 2,018 pada kadar air optimum 5,723 % dan void rasio 0,31 dengan Berat jenis 2,30.

Dibawah ini disajikan Kurva Pemadatan Clay shale Lapuk Hambalang dengan energi pemadat 20 Blow/layer (SCMT) methods setara 2 kali energi Modified Proctor ASTM D 638.



Gambar 4.3 Grafik Perbandingan Dry Unit Weight *Clay Shale* Lapuk Hambalang asli dan variasi kadar air dengan energy pematad 20 Blow/layer (SCMT) methods setara energi Modified Proctor ASTM D 638



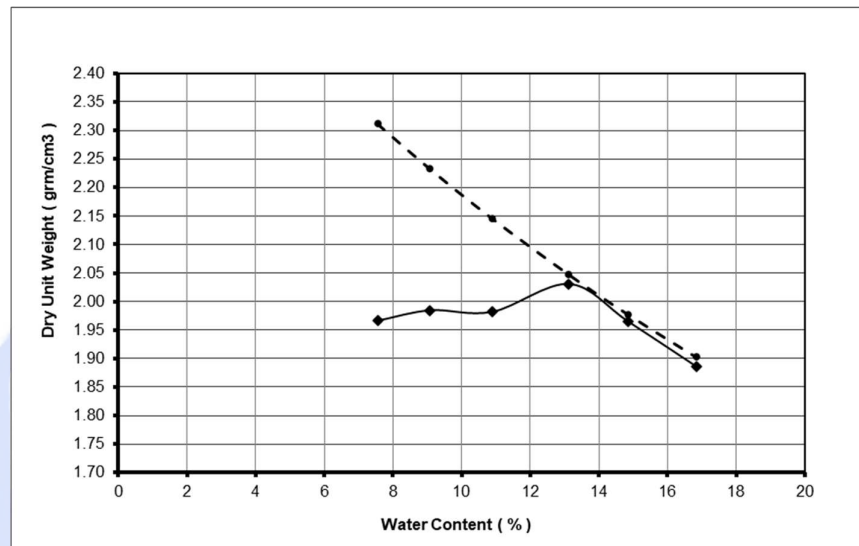
Gambar 4.4 Grafik Perbandingan Void Rasio *Clay Shale* Lapuk Hambalang asli dan variasi kadar air dengan energy pematad 20 Blow/layer (SCMT) methods setara energi Modified Proctor ASTM D 638

Tabel 4.3 Data hasil uji *Clay shale* Lapuk dengan 0 % PC; 20 Blow/Layer

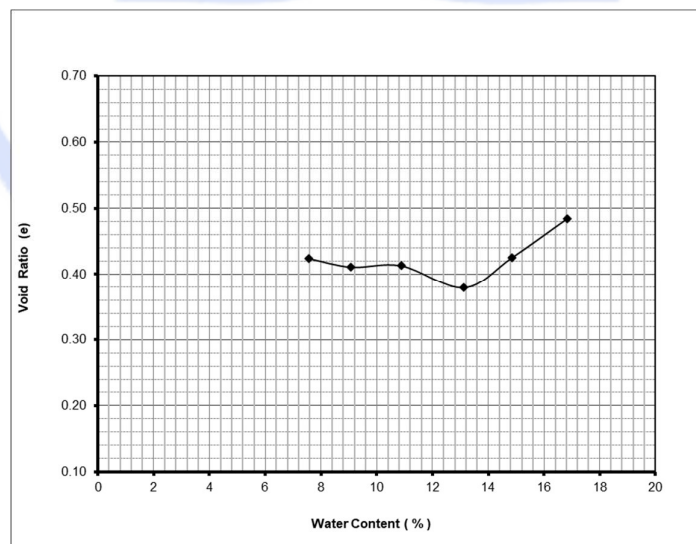
No	Kadar Air (%)	Berat Isi Kering (gm/cm ³)	Gs	2,65
			γ_d Sr=100%	Void Ratio e
1	6,172	1,978	2,34	0,38
2	7,921	2,056	2,24	0,33
3	9,814	2,070	2,15	0,32
4	11,615	2,052	2,07	0,33
5	12,165	2,009	2,05	0,36
6	15,534	1,903	1,92	0,43
Hasil Test				
Parameter Pematatan			Nilai	
Berat isi Kering max ($\gamma_{d \max}$)			2,070	gr/cm ³
Kadar air Optimum (w_{opt})			9,814	%

Dari grafik dan tabel diatas dapat dilihat bahwa pada pengujian ke 3 diperoleh hasil berat isi kering maksimal dengan nilai 2,070 pada tingkat kadar air optimum 9,814 % dan void rasio 0,32 dengan Berat jenis 2,15.

Dibawah ini disajikan Kurva Pemadatan Clay shale Lapuk Hambalang asli dengan energi pematat 30 Blow/layer (SCMT) methods setara 3 kali energi Modified Proctor [ASTM D 638](#).



Gambar 4.5 Grafik Perbandingan Dry Unit Weight Clay Shale Lapuk Hambalang asli dan variasi kadar air dengan energi pematat 30 Blow/layer (SCMT, Idrus, 2006) methods setara 3 kali energi Modified Proctor [ASTM D 638](#).



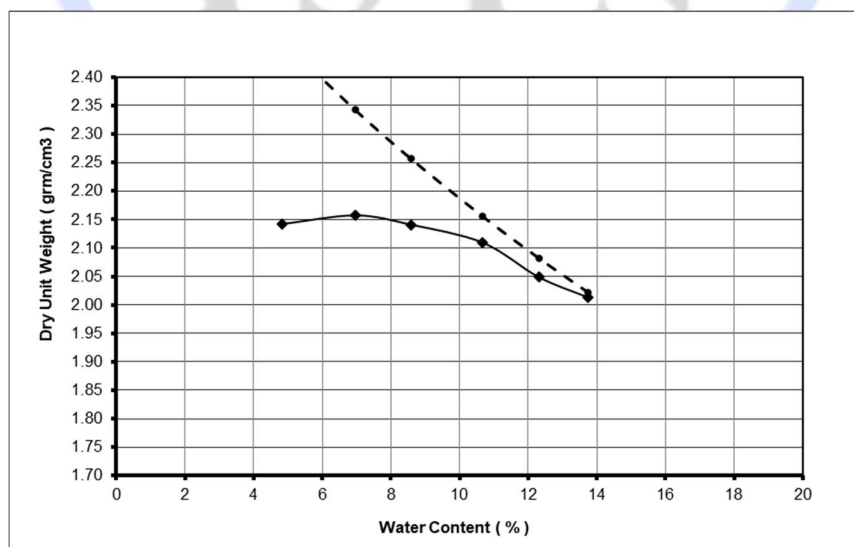
Gambar 4.6 Grafik Perbandingan Void rasio *Clay Shale* Lapuk Hambalang asli dan variasi kadar air dengan energi pematat 30 Blow/layer (SCMT) methods setara 3 kali energi Modified Proctor ASTM D 638.

Tabel 4.4 Data hasil uji Clay shale Lapuk dengan 0 % PC; 30 Blow/Layer

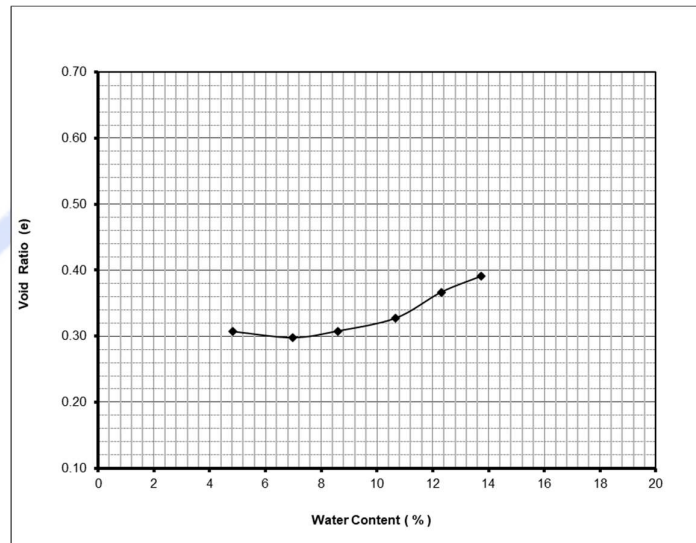
No	Kadar Air (%)	Berat Isi Kering (grm/cm ³)	Gs	2,65
			γ_d Sr=100%	Void Ratio e
1	7,551	1,966	2,31	0,42
2	9,078	1,984	2,23	0,41
3	10,881	1,982	2,15	0,41
4	13,126	2,030	2,05	0,38
5	14,859	1,964	1,98	0,43
6	16,843	1,886	1,90	0,48
Hasil Test				
Parameter Pematatan			Nilai	
Berat isi Kering max ($\gamma_{d \max}$)			2,030	gr/cm ³
Kadar air Optimum (w_{opt})			13,126	%

Dari grafik dan tabel diatas dapat dilihat bahwa pada pengujian ke 1 diperoleh hasil berat isi kering maksimal dengan nilai 2,030 gr/cm³ pada tingkat kadar air 13,126 % dan void rasio 0,38 dengan berat jenis 2.05.

Dibawah ini disajikan Kurva Pematatan Clay shale Lapuk Hambalang dengan energi pematat 30 Blow/layer (SCMT) methods setara 3 kali energi Modified Proctor **ASTM D 638** ditambah dengan pressure sebesar 14,09 kg/cm²



Gambar 4.7 Grafik Perbandingan Dry Unit Weight *Clay Shale* Lapuk Hambalang asli dan variasi kadar air dengan energi pematat 30 Blow/layer (SCMT) methods setara 3 kali energi Modified Proctor ASTM D 638 ditambah pressure 14,09 kg/cm².



Gambar 4.7 Grafik Perbandingan Void rasio *Clay Shale* Lapuk Hambalang asli dan variasi kadar air dengan energi pematat 30 Blow/layer (SCMT) methods setara 3 kali energi Modified Proctor ASTM D 638 ditambah pressure 14,09 kg/cm².

Tabel 4.5 Data hasil uji Clay shale Lapuk dengan 0 % PC; 30 Blow/Layer + Pressure

No	Kadar Air (%)	Berat Isi Kering (gm/cm ³)	Gs	2,65
			γ_d Sr=100%	Void Ratio e
1	4,827	2,142	2,47	0,31
2	6,965	2,157	2,34	0,30
3	8,599	2,141	2,26	0,31
4	10,671	2,109	2,16	0,33
5	12,305	2,049	2,08	0,37
6	13,736	2,013	2,02	0,39

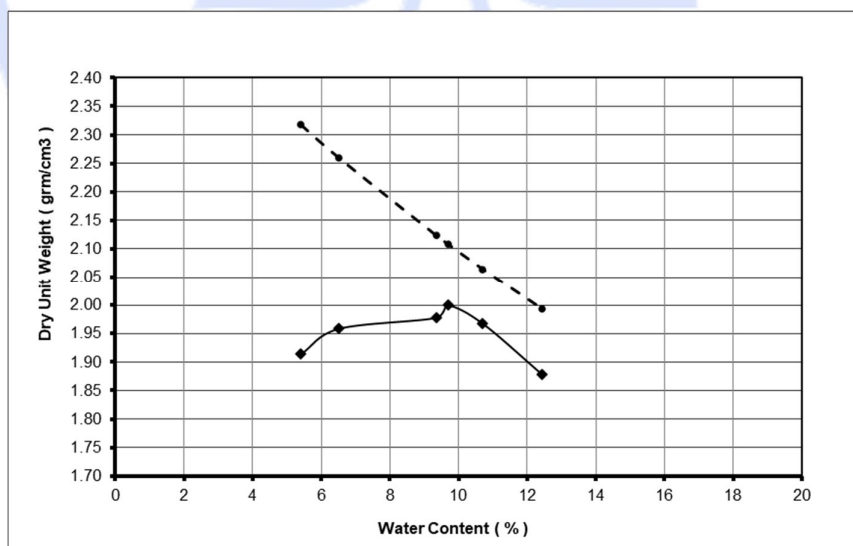
Hasil Test		
Parameter Pematatan	Nilai	
Berat isi Kering max ($\gamma_{d \max}$)	2,109	gr/cm ³
Kadar air Optimum (w_{opt})	10,671	%

Dari grafik dan tabel diatas dapat dilihat bahwa pada pengujian ke 4 dengan 0 % PC; 30 Blow/Layer+ Pressure diperoleh hasil berat isi kering maksimal dengan nilai 2,109 gr/cm³ pada tingkat kadar air 10,671 % dan void rasio 0,33 dengan berat jenis 2,16.

4.3.2 Parameter Pematatan *Clay Shale* Lapuk Ditambah Prosentase Semen Portland (PC)

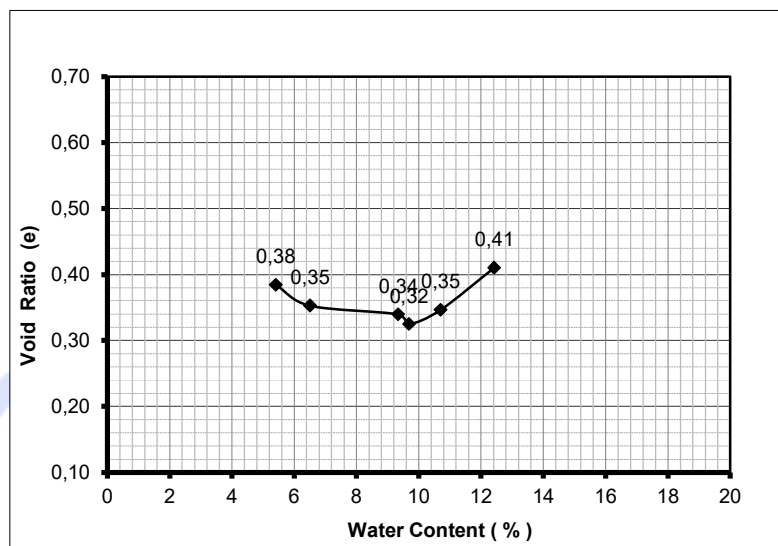
Pada pengujian ini clay shale yang telah lapuk diberikan pelakuan seluruhnya dicampur dengan beberapa variasi portland cement masing – masing diberikan sebesar 5%PC, 10% PC dan 15%PC terhadap berat kering *clay shale*. Pengujian kepadatan yang dilakukan pada penelitian ini adalah dengan memvariasikan jumlah tumbukan dengan kadar semen yang berbeda-beda.

Dibawah ini disajikan Kurva Pematatan *Clay shale* Lapuk Hambalang dengan energi pematat 10 Blow/layer (SCMT) methods setara energi Modified Proctor ASTM D 638 dan kadar semen 5%.



Gambar 4.7 Grafik Perbandingan Dry Unit Weight Clay Shale Lapuk Hambalang di tambah 5% PC dan variasi kadar air dengan energi pematat 10

Blow/layer (SCMT) methods setara energi Modified Proctor ASTM D 638



Gambar 4.8 Grafik Perbandingan Void rasio Clay Shale Lapuk Hambalang di tambah 5% PC dan variasi kadar air dengan energi pemadat 10 Blow/layer (SCMT) methods setara energi Modified Proctor ASTM D 638

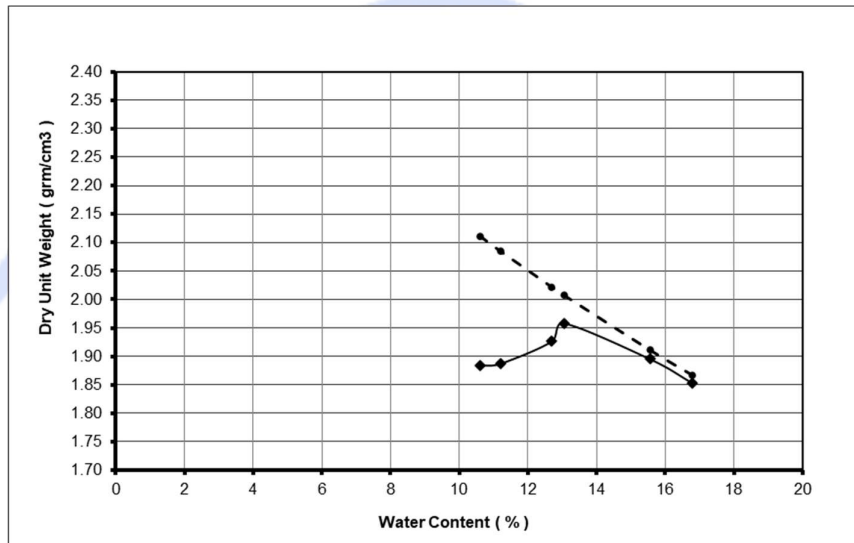
Tabel 4.6

Data hasil uji *Clay shale* Lapuk dengan 5 % PC; 10 Blow/Layer

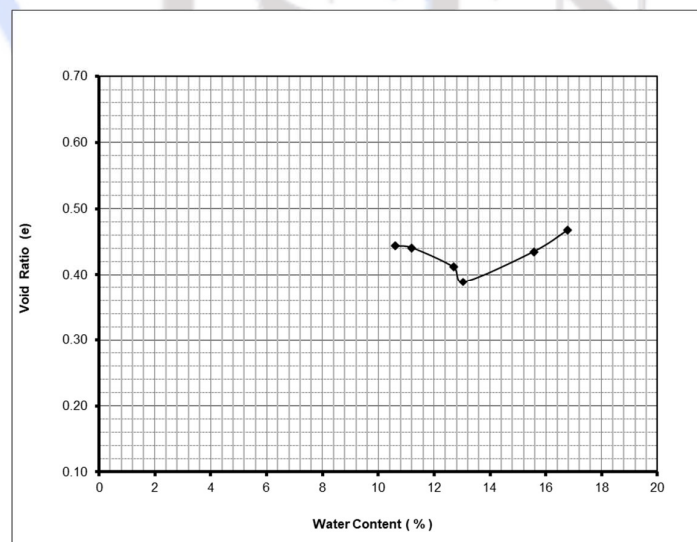
No	Kadar Air (%)	Berat Isi Kering (gm/cm ³)	Gs	2,65
			γ_d Sr=100%	Void Ratio e
1	5,407	1,914	2,32	0,38
2	6,509	1,959	2,26	0,35
3	9,346	1,978	2,12	0,34
4	9,687	2,000	2,11	0,32
5	10,701	1,968	2,06	0,35
6	12,425	1,879	1,99	0,41
Hasil Test				
Parameter Pemadatan			Nilai	
Berat isi Kering max ($\gamma_{d \max}$)			2,000	gr/cm ³
Kadar air Optimum (w_{opt})			9,687	%

Dari grafik dan tabel diatas dapat dilihat bahwa pada pengujian ke 4 diperoleh hasil berat isi kering maksimal dengan nilai 2,000 pada tingkat kadar air optimum 9,687 % dan void rasio 0,32 dengan Berat jenis 2,11.

Dibawah ini disajikan Kurva Pemadatan *Clay shale* Lapuk Hambalang dengan energi pemadat 10 Blow/layer (SCMT) methods setara energi Modified Proctor ASTM D 638 dan kadar semen 10%.



Gambar 4.9 Grafik Perbandingan Dry Unit Weight Clay Shale Lapuk Hambalang di tambah 10% PC dan variasi kadar air dengan energi pemadat 10 Blow/layer (SCMT) methods setara energi Modified Proctor ASTM D 638



Gambar 4.10 Grafik Perbandingan Void Rasio Clay Shale Lapuk Hambalang di tambah 10% PC dan variasi kadar air dengan energi pemadat 10 Blow/layer (SCMT) methods setara energi Modified Proctor **ASTM D 638**

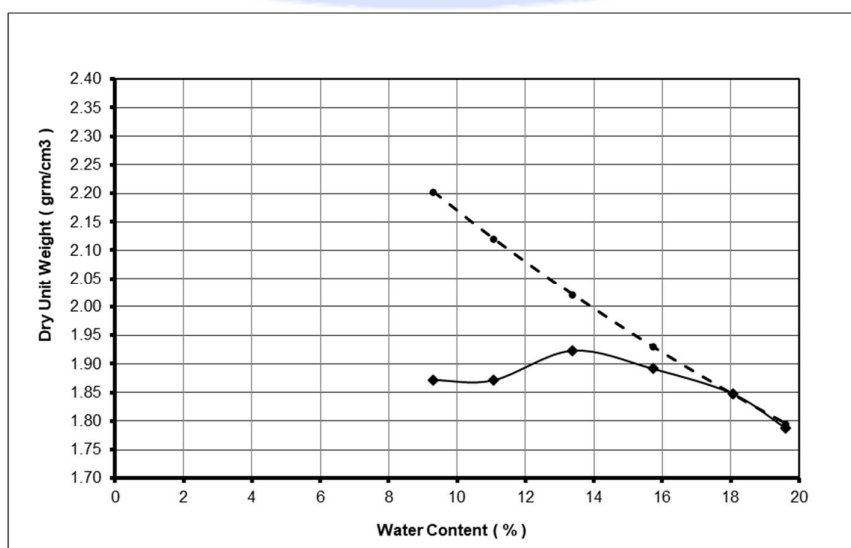
Tabel 4.7

Data hasil uji *Clay shale* Lapuk dengan 10 % PC; 10 Blow/Layer

No	Kadar Air (%)	Berat Isi Kering (gm/cm ³)	Gs	2,65
			γ_d Sr=100%	Void Ratio e
1	10,598	1,884	2,11	0,44
2	11,198	1,888	2,08	0,44
3	12,690	1,927	2,02	0,41
4	13,047	1,959	2,01	0,39
5	15,563	1,895	1,91	0,43
6	16,781	1,854	1,87	0,47
Hasil Test				
Parameter Pemadatan			Nilai	
Berat isi Kering max ($\gamma_{d \max}$)			1,959	gr/cm ³
Kadar air Optimum (w_{opt})			13,047	%

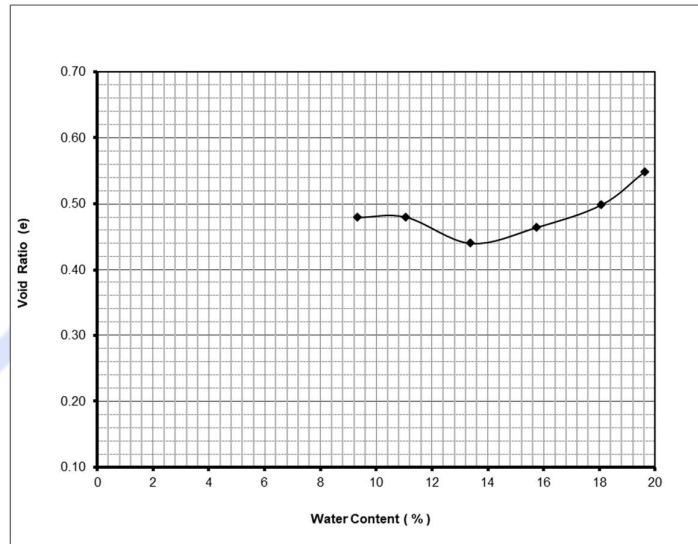
Dari grafik dan tabel diatas dapat dilihat bahwa pada pengujian ke 4 diperoleh hasil berat isi kering maksimal dengan nilai 1,959 pada tingkat kadar air optimum 13,047 % dan void rasio 0,39 dengan Berat jenis 2,01.

Dibawah ini disajikan Kurva Pemadatan *Clay shale* Lapuk Hambalang dengan energi pemadat 10 Blow/layer (SCMT) methods setara energi Modified Proctor **ASTM D 638** dan kadar semen 15%.



sional

Gambar 4.11 Grafik Perbandingan Dry Unit Weight Clay Shale Lapuk Hambalang di tambah 15% PC dan variasi kadar air dengan energi pematat 10 Blow/layer (SCMT) methods setara energi Modified Proctor ASTM D 638



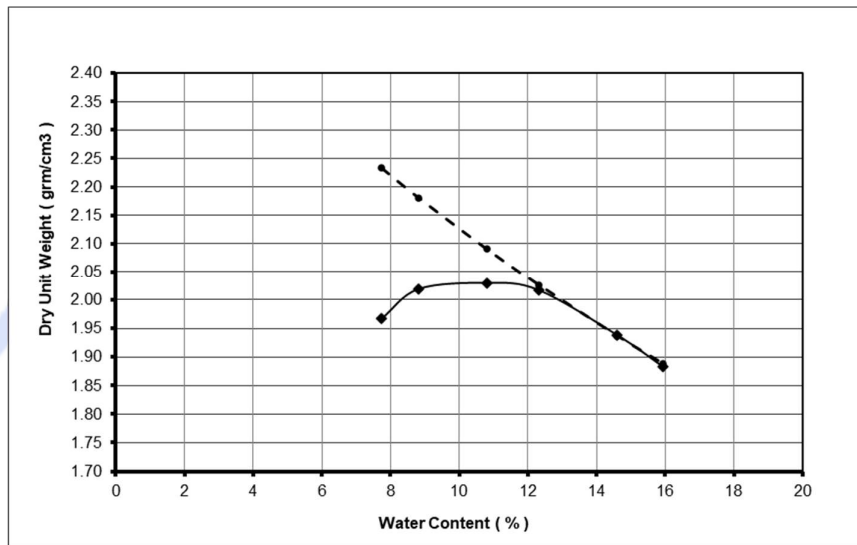
Gambar 4.12 Grafik Perbandingan Void Rasio Clay Shale Lapuk Hambalang di tambah 15% PC dan variasi kadar air dengan energi pematat 10 Blow/layer (SCMT) methods setara energi Modified Proctor ASTM D 638

Tabel 4.8 Data hasil uji *Clay shale* Lapuk dengan 15 % PC; 10 Blow/Layer

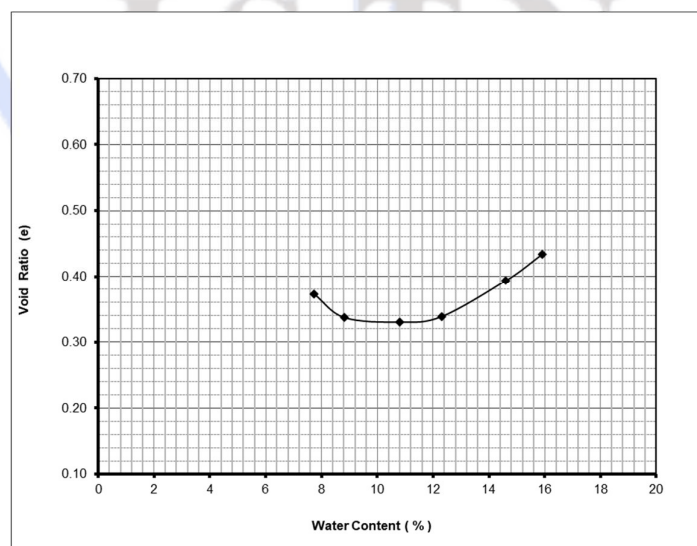
No	Kadar Air (%)	Berat Isi Kering (gm/cm ³)	Gs	2,65
			γ_d Sr=100%	Void Ratio e
1	9,308	1,872	2,20	0,48
2	11,062	1,871	2,12	0,48
3	13,380	1,923	2,02	0,44
4	15,739	1,891	1,93	0,46
5	18,073	1,848	1,85	0,50
6	19,619	1,788	1,79	0,55
Hasil Test				
Parameter Pematatan			Nilai	
Berat isi Kering max ($\gamma_{d \max}$)			1,923	gr/cm ³
Kadar air Optimum (w_{opt})			13,380	%

Dari grafik dan tabel diatas dapat dilihat bahwa pada pengujian ke 3 diperoleh hasil berat isi kering maksimal dengan nilai 1,923 pada tingkat kadar air optimum 13,380 % dan void rasio 0,44 dengan Berat jenis 2,02.

Dibawah ini disajikan Kurva Pemadatan *Clay shale* Lapuk Hambalang dengan energi pemadat 20 Blow/layer (SCMT) methods setara energi Modified Proctor ASTM D 638 dan kadar semen 5%.



Gambar 4.13 Grafik Perbandingan Dry Unit Weight Clay Shale Lapuk Hambalang di tambah 5% PC dan variasi kadar air dengan energi pemadat 20 Blow/layer (SCMT) methods setara 2 kali energi Modified Proctor ASTM D 638



Gambar 4.14 Grafik Perbandingan Void Rasio Clay Shale Lapuk Hambalang di tambah 5% PC dan variasi kadar air dengan energi pematat 20 Blow/layer (SCMT) methods setara 2 kali energi Modified Proctor ASTM D 638

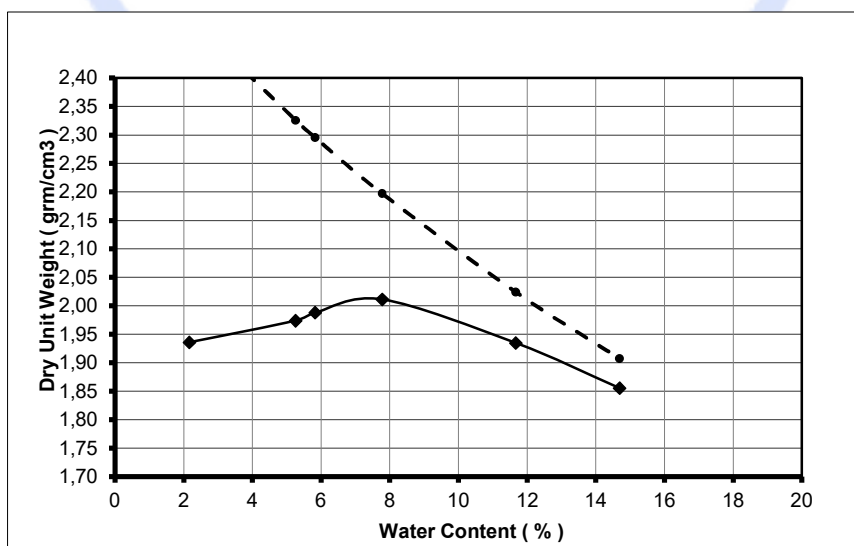
Tabel 4.9

Data hasil uji *Clay shale* Lapuk dengan 5 % PC; 20 Blow/Layer

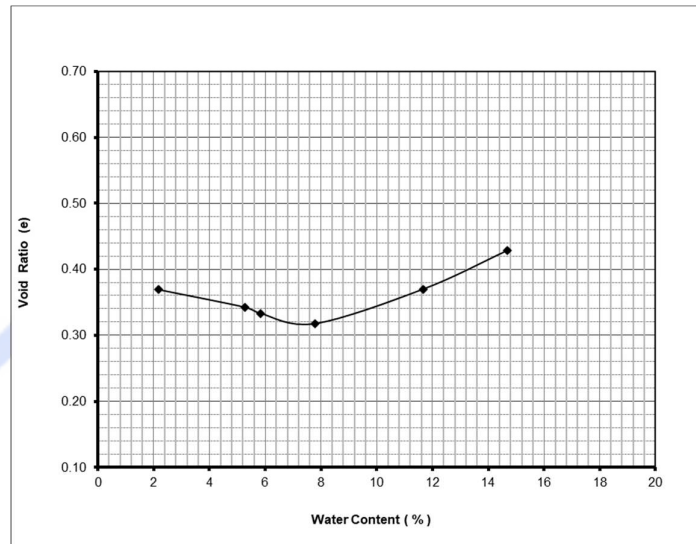
No	Kadar Air (%)	Berat Isi Kering (gr/cm ³)	Gs	2,65
			γ_d Sr=100%	Void Ratio e
1	7,743	1,967	2,23	0,37
2	8,827	2,019	2,18	0,34
3	10,802	2,030	2,09	0,33
4	12,308	2,017	2,03	0,34
5	14,608	1,938	1,94	0,39
6	15,920	1,883	1,89	0,43
Hasil Test				
Parameter Pematatan			Nilai	
Berat isi Kering max ($\gamma_{d \max}$)			2,017	gr/cm ³
Kadar air Optimum (w_{opt})			12,308	%

Dari grafik dan tabel diatas dapat dilihat bahwa pada pengujian ke 2 diperoleh hasil berat isi kering maksimal dengan nilai 2,017 gr/cm³ pada tingkat kadar air optimum 12,308 % dan void rasio 0,34 dengan berat jenis 2,03.

Dibawah ini disajikan Kurva Pematatan *Clay shale* Lapuk Hambalang dengan energi pematat 20 Blow/layer (SCMT) methods setara energi Modified Proctor ASTM D 638 dan kadar semen 10%.



Gambar 4.15 Grafik Perbandingan Dry Unit Weight Clay Shale Lapuk Hambalang di tambah 10% PC dan variasi kadar air dengan energi pematat 20 Blow/layer (SCMT) methods setara 2 kali energi Modified Proctor ASTM D 638



Gambar 4.16 Grafik Perbandingan Void Rasio Clay Shale Lapuk Hambalang di tambah 10% PC dan variasi kadar air dengan energi pematat 20 Blow/layer (SCMT) methods setara 2 kali energi Modified Proctor ASTM D 638

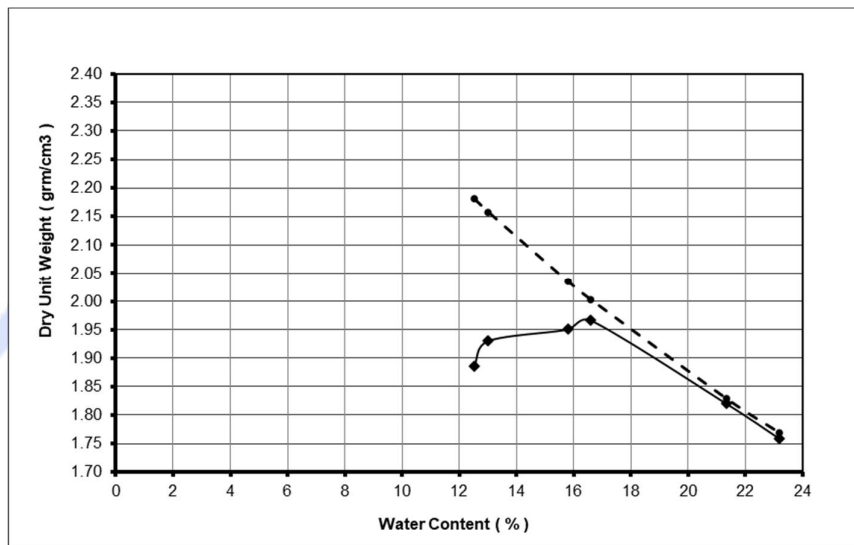
Tabel 4.10

Data hasil uji *Clay shale* Lapuk dengan 10 % PC; 20 Blow/Layer

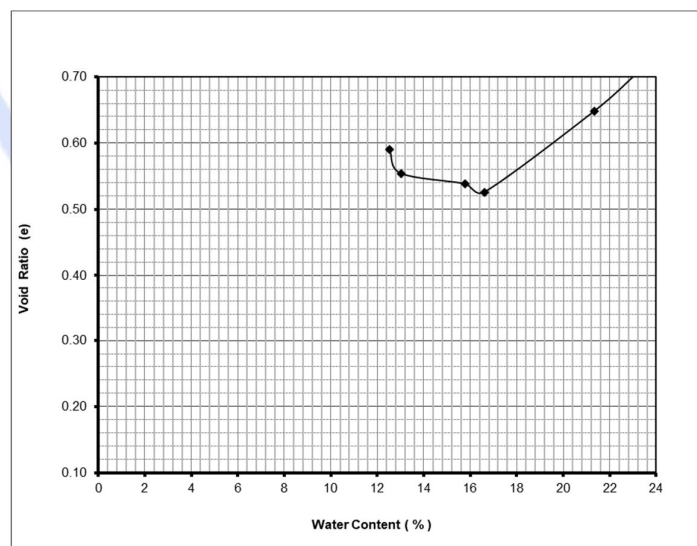
No	Kadar Air (%)	Berat Isi Kering (gm/cm ³)	Gs	2,65
			γ_d Sr=100%	Void Ratio e
1	2,165	1,936	2,51	0,37
2	5,260	1,974	2,33	0,34
3	5,827	1,988	2,30	0,33
4	7,779	2,011	2,20	0,32
5	11,669	1,935	2,02	0,37
6	14,692	1,856	1,91	0,43
Hasil Test				
Parameter Pematatan			Nilai	
Berat isi Kering max ($\gamma_{d \max}$)			1,988	gr/cm ³
Kadar air Optimum (w_{opt})			5,827	%

Dari grafik dan tabel diatas dapat dilihat bahwa pada pengujian ke 3 diperoleh hasil berat isi kering maksimal dengan nilai $1,988 \text{ gr/cm}^3$ pada tingkat kadar air optimum $5,827 \%$ dan void rasio $0,32$ dengan berat jenis $2,30$.

Dibawah ini disajikan Kurva Pemadatan *Clay shale* Lapuk Hambalang dengan energi pemadat 20 Blow/layer (SCMT) methods setara energi Modified Proctor ASTM D 638 dan kadar semen 15% .



Gambar 4.17 Grafik Perbandingan Dry Unit Weight Clay Shale Lapuk Hambalang di tambah 15% PC dan variasi kadar air dengan energi pemadat 20 Blow/layer (SCMT) methods setara 2 kali energi Modified Proctor ASTM D 638



Gambar 4.18 Grafik Perbandingan Void Rasio Clay Shale Lapuk Hambalang di tambah 15% PC dan variasi kadar air dengan energi pemadat 20 Blow/layer (SCMT) methods setara 2 kali energi Modified Proctor ASTM D 638

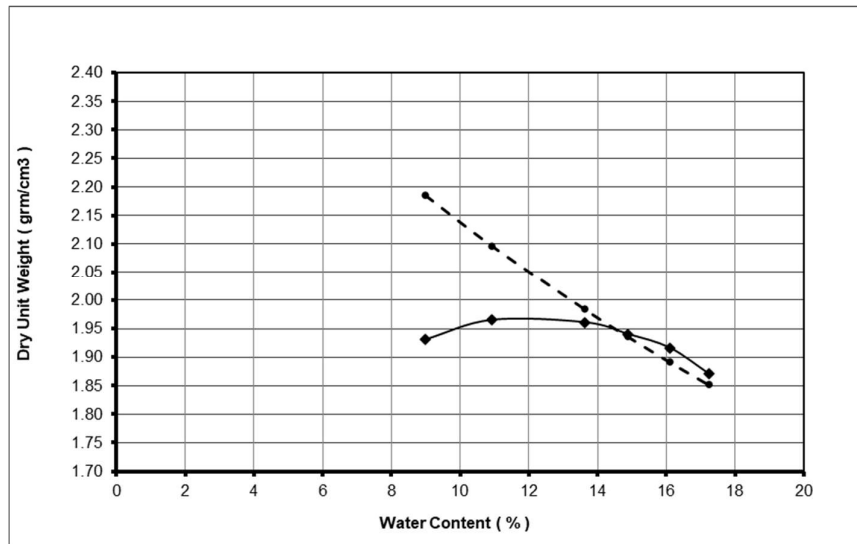
Tabel 4.11

Data hasil uji Clay shale Lapuk dengan 15 % PC; 20 Blow/Layer

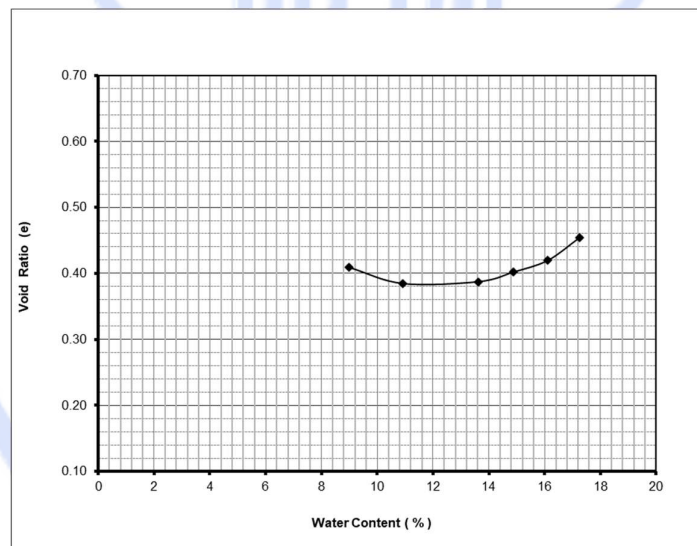
No	Kadar Air (%)	Berat Isi Kering (gm/cm ³)	Gs	2,65
			γ_d Sr=100%	Void Ratio e
1	12,528	1,886	2,18	0,59
2	13,015	1,930	2,16	0,55
3	15,789	1,950	2,04	0,54
4	16,603	1,966	2,00	0,53
5	21,338	1,820	1,83	0,65
6	23,179	1,759	1,77	0,71
Hasil Test				
Parameter Pemadatan			Nilai	
Berat isi Kering max ($\gamma_{d \max}$)			1,966	gr/cm ³
Kadar air Optimum (w_{opt})			16,603	%

Dari grafik dan tabel diatas dapat dilihat bahwa pada pengujian ke 4 diperoleh hasil berat isi kering maksimal dengan nilai 1,966 gr/cm³ pada tingkat kadar air 16,603 % dan void rasio 0,53 dengan berat jenis 2,00.

Dibawah ini disajikan Kurva Pemadatan *Clay shale* Lapuk Hambalang dengan energi pemadat 30 Blow/layer (SCMT) methods 3 kali setara energi Modified Proctor ASTM D 638 dan kadar semen 5%.



Gambar 4.19 Grafik Perbandingan Dry Unit Weight Clay Shale Lapuk Hambalang di tambah 5% PC dan variasi kadar air dengan energi pematat 30 Blow/layer (SCMT) methods setara 3 kali energi Modified Proctor ASTM D 638



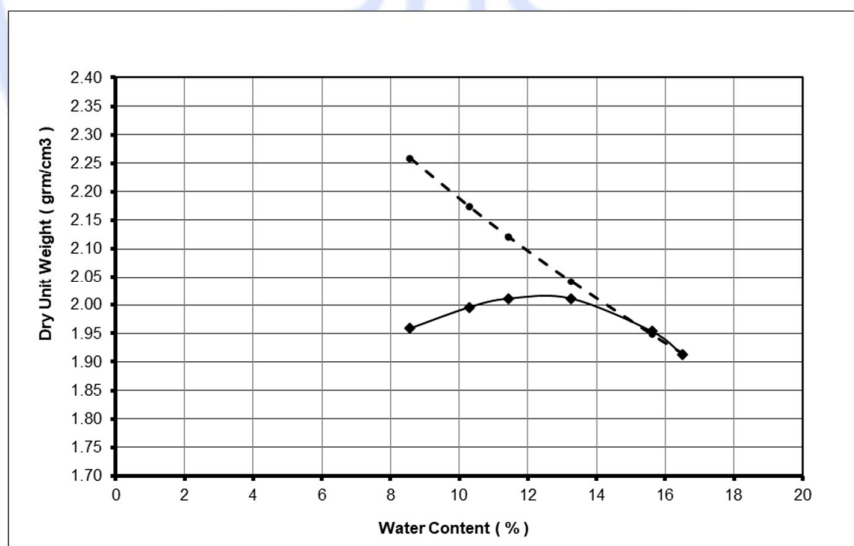
Gambar 4.20 Grafik Perbandingan Void rasio Clay Shale Lapuk Hambalang di tambah 5% PC dan variasi kadar air dengan energi pematat 30 Blow/layer (SCMT) methods setara 3 kali energi Modified Proctor ASTM D 638

Tabel 4.12 Data hasil uji Clay shale Lapuk dengan 5 % PC; 30 Blow/Layer

No	Kadar Air (%)	Berat Isi Kering (grm/cm ³)	Gs	2,65
			γ_d Sr=100%	Void Ratio e
1	8,992	1,931	2,19	0,41
2	10,927	1,965	2,10	0,38
3	13,630	1,961	1,98	0,39
4	14,884	1,940	1,94	0,40
5	16,103	1,916	1,89	0,42
6	17,239	1,871	1,85	0,45
Hasil Test				
Parameter Pematatan			Nilai	
Berat isi Kering max ($\gamma_{d \max}$)			1,965	gr/cm ³
Kadar air Optimum (w_{opt})			10,927	%

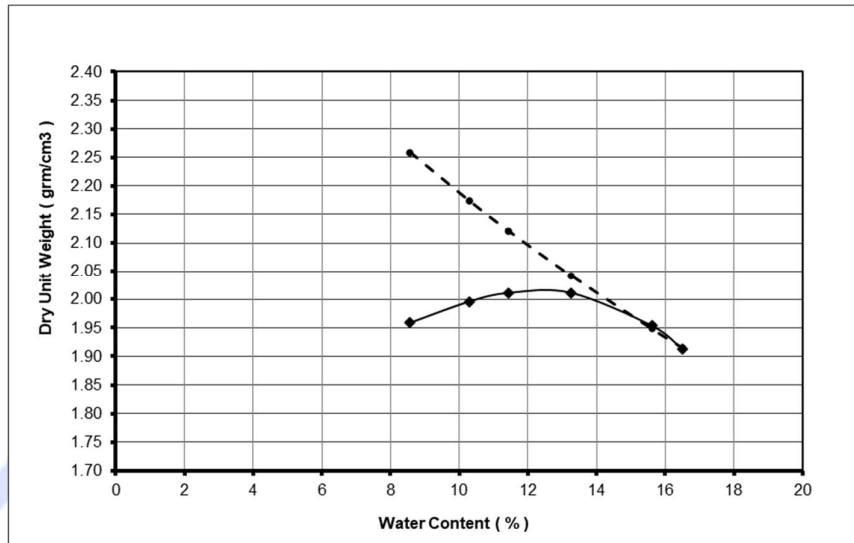
Dari grafik dan tabel diatas dapat dilihat bahwa pada pengujian ke 2 diperoleh hasil berat isi kering maksimal dengan nilai 1,965 gr/cm³ pada tingkat kadar air 10,927% dan void rasio 0,38 dengan berat jenis 2,10.

Dibawah ini disajikan Kurva Pematatan *Clay shale* Lapuk Hambalang dengan energi pematat 30 Blow/layer (SCMT) methods setara 3 kali energi Modified Proctor ASTM D 638 dan kadar semen 10 %.



Gambar 4.21 Grafik Perbandingan Dry Unit Weight *Clay Shale* Lapuk Hambalang di tambah 10% PC dan variasi kadar air dengan energi pematat 30

Blow/layer (SCMT) methods setara 3 kali energi Modified Proctor
ASTM D 638



Gambar 4.22 Grafik Perbandingan Void rasio *Clay Shale* Lapuk Hambalang di tambah 10% PC dan variasi kadar air dengan energi pemadat 30 Blow/layer (SCMT) methods setara 3 kali energi Modified Proctor ASTM D 638

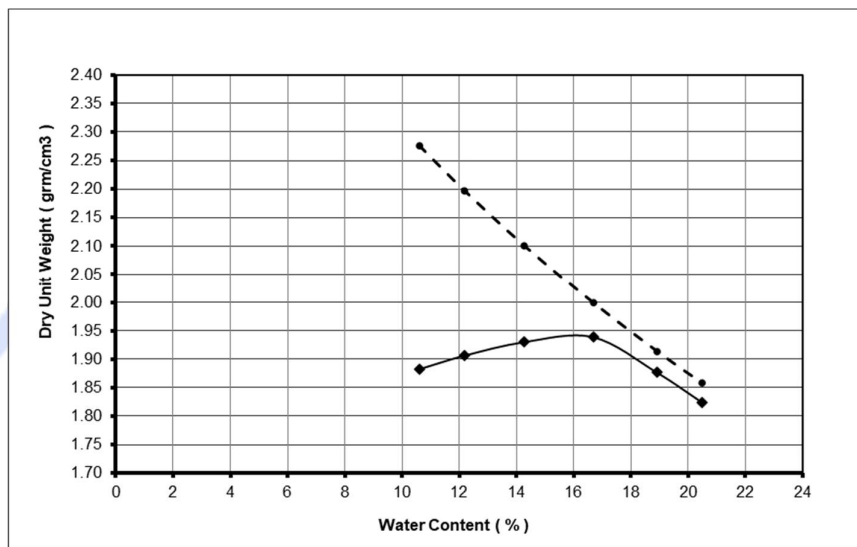
Tabel 4.13

Data hasil uji *Clay shale* Lapuk dengan 10 % PC; 30 Blow/Layer

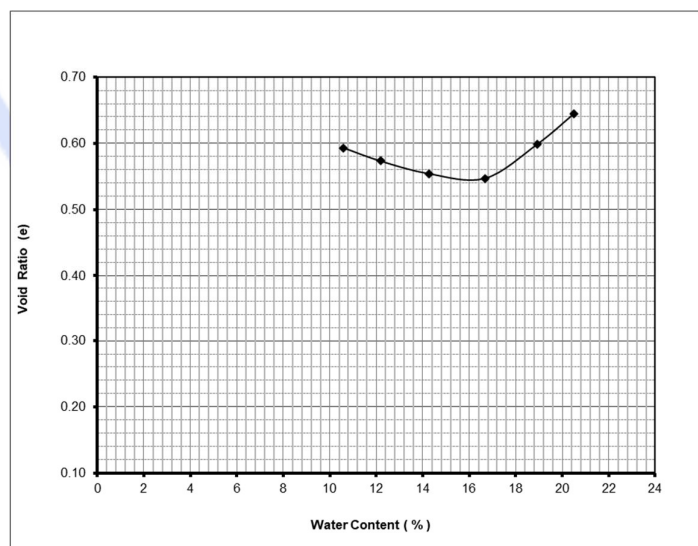
No	Kadar Air (%)	Berat Isi Kering (gm/cm ³)	Gs	2,65
			γ_d Sr=100%	Void Ratio e
1	8,561	1,958	2,26	0,43
2	10,289	1,995	2,17	0,40
3	11,444	2,010	2,12	0,39
4	13,250	2,011	2,04	0,39
5	15,607	1,954	1,95	0,43
6	16,502	1,913	1,92	0,46
Hasil Test				
Parameter Pemadatan			Nilai	
Berat isi Kering max ($\gamma_{d \max}$)			2,011	gr/cm ³
Kadar air Optimum (w_{opt})			13,250	%

Dari grafik dan tabel diatas dapat dilihat bahwa pada pengujian ke 3 diperoleh hasil berat isi kering maksimal dengan nilai 2,011 gr/cm³ pada tingkat kadar air 13,250 % dan void rasio 0,39 dengan berat jenis 2,04.

Dibawah ini disajikan Kurva Pemadatan *Clay shale* Lapuk Hambalang dengan energi pematat 30 Blow/layer (SCMT) methods setara 3 kali energi Modified Proctor ASTM D 638 dan kadar semen 15 %.



Gambar 4.23 Grafik Perbandingan Dry Unit Weight *Clay Shale* Lapuk Hambalang di tambah 15% PC dan variasi kadar air dengan energi pematat 30 Blow/layer (SCMT) methods setara 3 kali energi Modified Proctor ASTM D 638



Gambar 4.24 Grafik Perbandingan Void rasio *Clay Shale* Lapuk Hambalang di tambah 15% PC dan variasi kadar air dengan energi pemadat 30 Blow/layer (SCMT) methods setara 3 kali energi Modified Proctor ASTM D 638

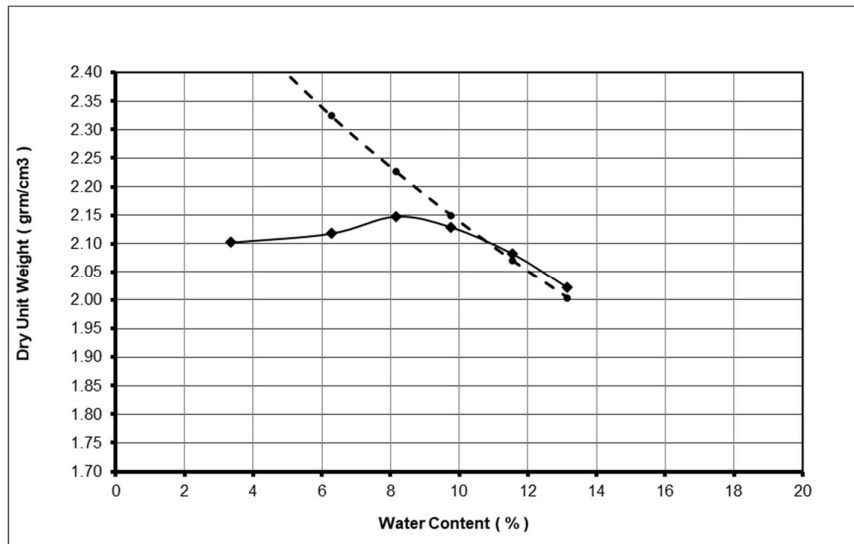
Tabel 4.14

Data hasil uji *Clay shale* Lapuk dengan 15 % PC; 30 Blow/Layer

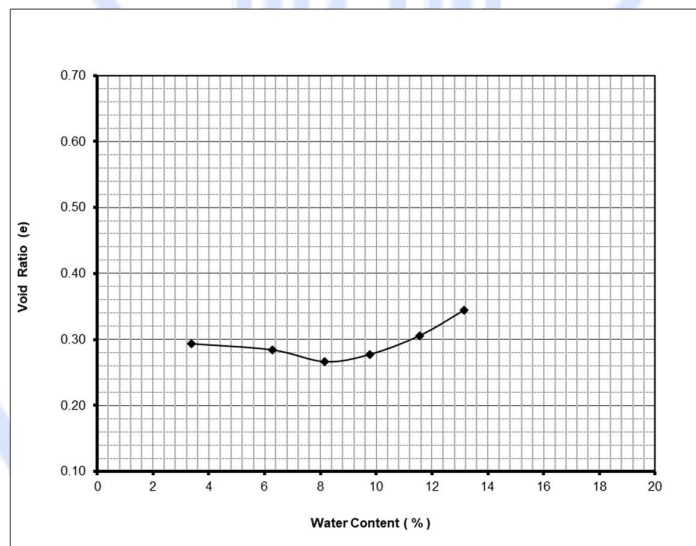
No	Kadar Air (%)	Berat Isi Kering (gm/cm ³)	Gs	2,65
			γ_d Sr=100%	Void Ratio e
1	10,596	1,883	2,28	0,59
2	12,181	1,907	2,20	0,57
3	14,269	1,931	2,10	0,55
4	16,677	1,939	2,00	0,55
5	18,926	1,876	1,91	0,60
6	20,502	1,824	1,86	0,64
Hasil Test				
Parameter Pemadatan			Nilai	
Berat isi Kering max ($\gamma_{d \max}$)			1,939	gr/cm ³
Kadar air Optimum (w_{opt})			16,677	%

Dari grafik dan tabel diatas dapat dilihat bahwa pada pengujian ke 4 diperoleh hasil berat isi kering maksimal dengan nilai 1,939 gr/cm³ pada tingkat kadar air 16,677 % dan void rasio 0,55 dengan berat jenis 2,00.

Dibawah ini disajikan Kurva Pemadatan *Clay shale* Lapuk Hambalang dengan energi pemadat 30 Blow/layer (SCMT) methods setara 3 kali energi Modified Proctor ASTM D 638 ditambah dengan *pressure* sebesar 14,09 kg/cm² dan kadar semen 5 %.



Gambar 4.25 Grafik Perbandingan Dry Unit Weight *Clay Shale* Lapuk Hambalang di tambah 5% PC dan variasi kadar air dengan energi pematad 30 Blow/layer (SCMT) methods setara 3 kali energi Modified Proctor ASTM D 638 ditambah *pressure* 14,09 Kg/cm²



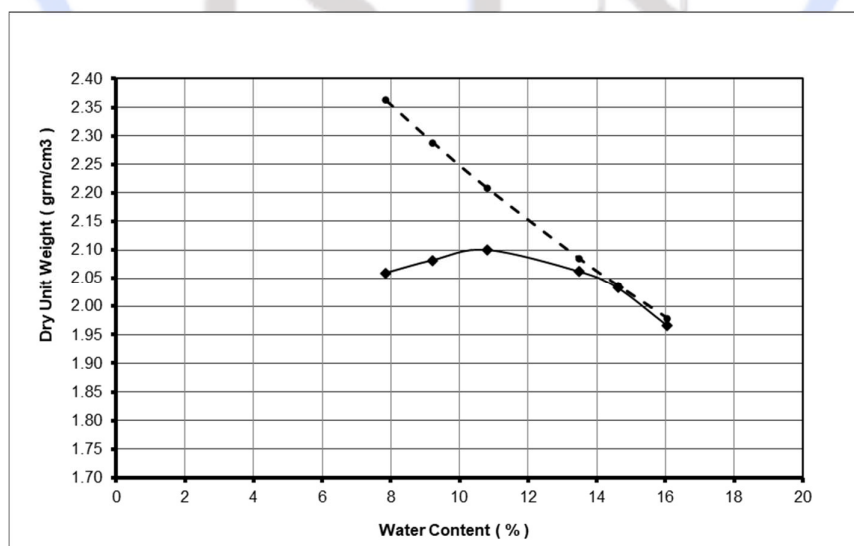
Gambar 4.26 Grafik Perbandingan Void rasio *Clay Shale* Lapuk Hambalang di tambah 5% PC dan variasi kadar air dengan energi pematad 30 Blow/layer (SCMT) methods setara 3 kali energi Modified Proctor ASTM D 638 ditambah *pressure* 14,09 Kg/cm²

Tabel 4.15 Data hasil uji *Clay shale* Lapuk dengan 5 % PC; 30 Blow/Layer + *Pressure*

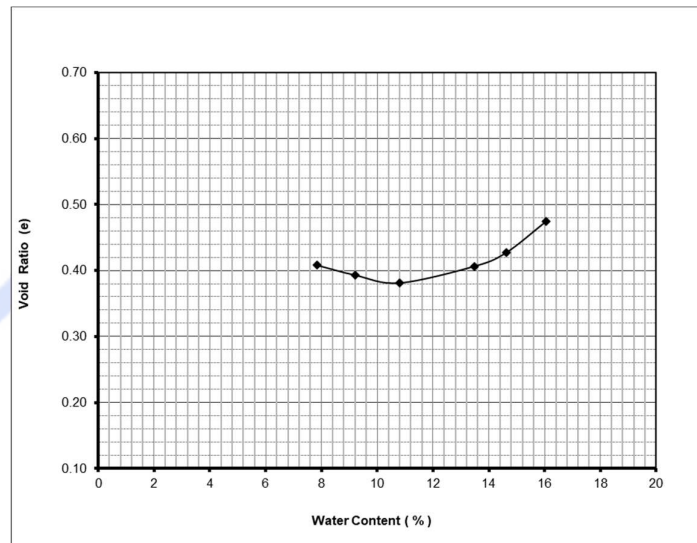
No	Kadar Air (%)	Berat Isi Kering (grm/cm ³)	Gs	2,65
			γ_d Sr=100%	Void Ratio e
1	3,361	2,102	2,49	0,29
2	6,266	2,118	2,32	0,28
3	8,150	2,148	2,23	0,27
4	9,760	2,129	2,15	0,28
5	11,550	2,083	2,07	0,31
6	13,149	2,023	2,00	0,34
Hasil Test				
Parameter Pemadatan			Nilai	
Berat isi Kering max ($\gamma_{d \max}$)			2,148	gr/cm ³
Kadar air Optimum (w_{opt})			8,150	%

Dari grafik dan tabel diatas dapat dilihat bahwa pada pengujian ke 3 dengan 5 % PC; 30 Blow/Layer + *Pressure* diperoleh hasil berat isi kering maksimal dengan nilai 2,148 gr/cm³ pada tingkat kadar air 8,150 % dan void rasio 0,27 dengan berat jenis 2,23 dengan berat jenis 2,23.

Dibawah ini disajikan Kurva Pemadatan *Clay shale* Lapuk Hambalang dengan energi pemadat 30 Blow/layer (SCMT) methods setara 3 kali energi Modified Proctor ASTM D 638 ditambah dengan pressure sebesar 14,09 kg/cm² dan kadar semen 10 %.



Gambar 4.25 Grafik Perbandingan Dry Unit Weight *Clay Shale* Lapuk Hambalang di tambah 10% PC dan variasi kadar air dengan energi pematat 30 Blow/layer (SCMT) methods setara 3 kali energi Modified Proctor ASTM D 638 ditambah *pressure* 14,09 Kg/cm²



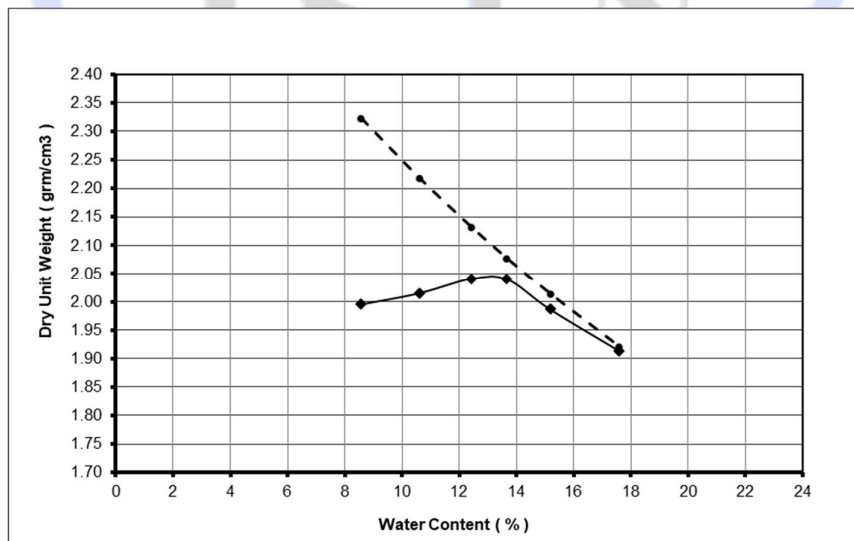
Gambar 4.26 Grafik Perbandingan Void rasio *Clay Shale* Lapuk Hambalang di tambah 10% PC dan variasi kadar air dengan energi pematat 30 Blow/layer (SCMT) methods setara 3 kali energi Modified Proctor ASTM D 638 ditambah *pressure* 14,09 Kg/cm²

Tabel 4.16 Data hasil uji *Clay shale* Lapuk dengan 10 % PC; 30 Blow/Layer + *Pressure*

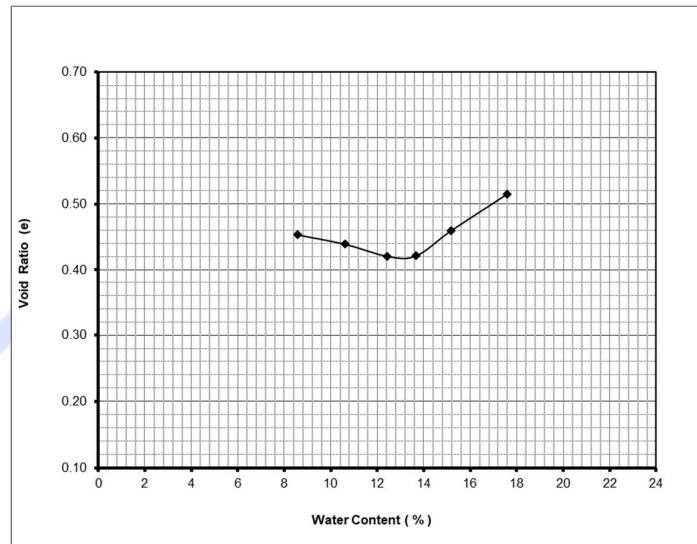
No	Kadar Air (%)	Berat Isi Kering (gr/cm ³)	Gs	2,65
			γ_d Sr=100%	Void Ratio e
1	7,850	2,060	2,36	0,41
2	9,221	2,082	2,29	0,39
3	10,799	2,100	2,21	0,38
4	13,473	2,062	2,09	0,41
5	14,618	2,032	2,04	0,43
6	16,060	1,967	1,98	0,47
Hasil Test				
Parameter Pemadatan			Nilai	
Berat isi Kering max ($\gamma_{d \max}$)			2,100	gr/cm ³
Kadar air Optimum (w_{opt})			10,799	%

Dari grafik dan tabel diatas dapat dilihat bahwa pada pengujian ke 3 dengan 10 % PC; 30 Blow/Layer + *Pressure* diperoleh hasil berat isi kering maksimal dengan nilai 2,100 gr/cm³ pada tingkat kadar air 10,799 % dan void rasio 0,38 dengan berat jenis 2,21.

Dibawah ini disajikan Kurva Pemadatan *Clay shale* Lapuk Hambalang dengan energi pemadat 30 Blow/layer (SCMT) methods setara 3 kali energi Modified Proctor ASTM D 638 ditambah dengan *pressure* sebesar 14,09 kg/cm² dan kadar semen 15 %.



Gambar 4.27 Grafik Perbandingan Dry Unit Weight *Clay Shale* Lapuk Hambalang di tambah 15% PC dan variasi kadar air dengan energi pematat 30 Blow/layer (SCMT) methods setara 3 kali energi Modified Proctor ASTM D 638 ditambah *pressure* 14,09 Kg/cm²



Gambar 4.28 Grafik Perbandingan Void rasio *Clay Shale* Lapuk Hambalang di tambah 15% PC dan variasi kadar air dengan energi pematat 30 Blow/layer (SCMT) methods setara 3 kali energi Modified Proctor ASTM D 638 ditambah *pressure* 14,09 Kg/cm²

Tabel 4.17 Data hasil uji *Clay shale* Lapuk dengan 15 % PC; 30 Blow/Layer + *Pressure*

No	Kadar Air (%)	Berat Isi Kering (gm/cm ³)	Gs	2,65
			γ_d Sr=100%	Void Ratio e
1	8,565	1,995	2,32	0,45
2	10,617	2,015	2,22	0,44
3	12,432	2,041	2,13	0,42
4	13,660	2,040	2,08	0,42
5	15,182	1,987	2,01	0,46
6	17,586	1,914	1,92	0,52
Hasil Test				
Parameter Pematatan			Nilai	
Berat isi Kering max ($\gamma_{d \max}$)			2,041	gr/cm ³
Kadar air Optimum (w_{opt})			12,432	%

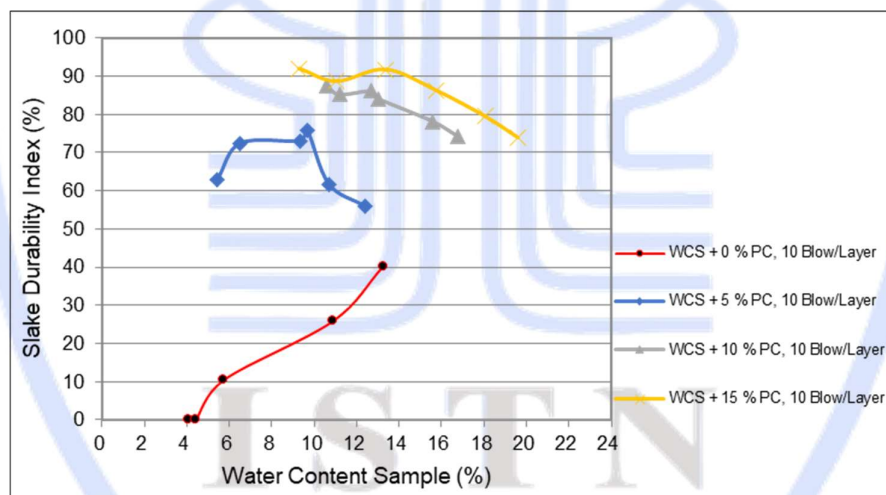
Dari grafik dan tabel diatas dapat dilihat bahwa pada pengujian ke 3 dengan 15 % PC; 30 Blow/Layer+ Pressure diperoleh hasil berat isi kering maksimal dengan nilai 2,041 gr/cm³ pada tingkat kadar air 12,432 % dan void rasio 0,42 dengan berat jenis 2,13.

4.4 Pengaruh Energi Pematat Terhadap *Slake Durability Index*

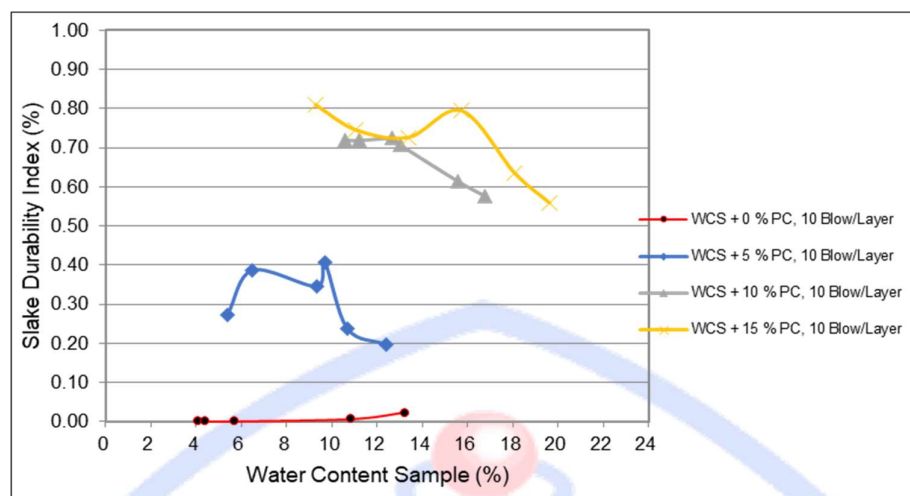
Uji *slake durability index* dilakukan dengan 2 siklus baik itu untuk *clay shale* hambalang asli, maupun dengan penambahan 5%, 10%, 15% semen *Portland* (PC) dengan variasi penambahan air.

4.4.1 Nilai *Slake Durability Indeks* pada *Clay Shale* Lapuk yang Dipadatkan Metoda SCMT dengan Energi 10 Blow/Layer

Dibawah ini disajikan Tabel dan kurva nilai *Slake Durability Index Clay shale* Lapuk Hambalang dengan energi pematat 10 Blow/layer SCMT methods setara dengan energi Modified Proctor ASTM D 1158.



Gambar 4.29 Pengaruh energi pematat metode SCMT 10 blow/layer terhadap perubahan *Slake Durability Index* pada siklus ke-1



Gambar 4.30 Pengaruh energi pemadat metode SCMT 10 blow/layer terhadap perubahan Slake Durability Index pada siklus ke-2

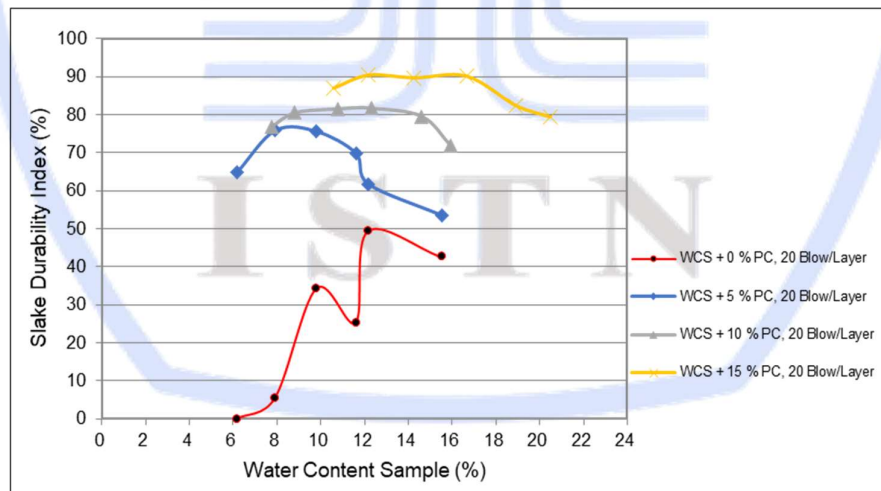
Tabel 4.18 Hasil SDI clay shale lapuk yang dipadatkan dengan metode SCMT dengan energi 10 blow/layer (setara dengan ASTM D 1557) tanpa dan dengan penambahan prosentase Portland Cement.

Slake Durability Index	% PC	Blow/Layer	Cycle	Wn-1	Wn-2	Wn-3	Wn-4	Wn-5	Wn-6
				γ_d t/m ³	γ_d t/m ³	γ_d t/m ³	γ_d t/m ³	γ_d t/m ³	γ_d t/m ³
1	0	10 ~Mod.C	1	0.00	0.00	10.44	25.93	40.17	31.37
			2	0.00	0.00	0.00	0.01	0.02	0.00
1	5	10 ~Mod.C	1	62.77	72.51	73.09	75.75	61.70	55.86
			2	0.27	0.39	0.35	0.41	0.24	0.20
1	10	10 ~Mod.C	1	87.54	85.23	86.15	84.09	78.18	74.10
			2	0.72	0.72	0.72	0.71	0.61	0.58
1	15	10 ~Mod.C	1	92.00	88.66	91.74	86.36	79.50	73.96
			2	0.81	0.75	0.73	0.80	0.64	0.56

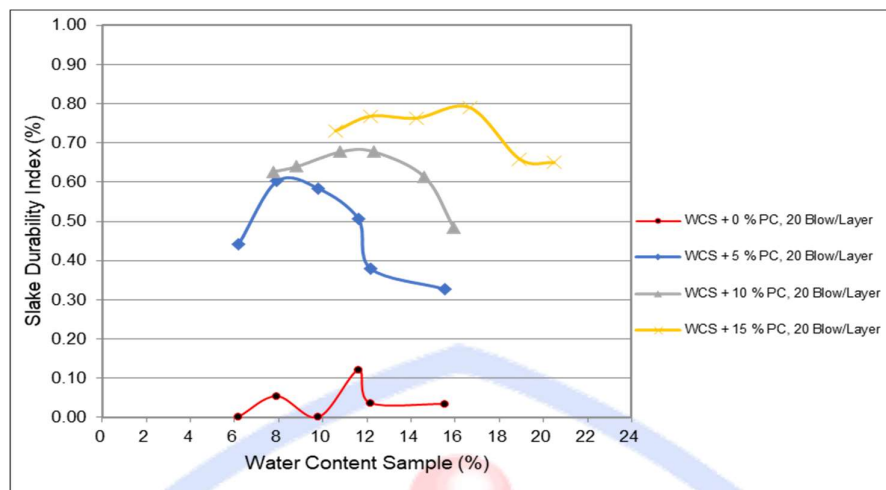
Dari tabel dan grafik diatas dapat dilihat bahwa dengan energi pematat 10 blow/layer pada tanah *Clay Shale* Hambalang asli dengan diperoleh hasil berat isi kering dengan nilai 1.94 t/m³ pada tingkat kadar air 13.22 % dan nilai *slake durability index* 40,17 % pada *cycle* 1 dan 0.02 % pada *cycle* ke 2. Penambahan semen *Portland* 5 % diperoleh hasil berat isi kering dengan nilai 2,00 t/m³ pada tingkat kadar air 9,69 % dan nilai *slake durability index* 75,75 % pada *cycle* 1 dan 0.41 % pada *cycle* ke 2. Penambahan semen *Portland* 10 % diperoleh hasil berat isi kering dengan nilai 1,88 t/m³ pada tingkat kadar air 10,66 % dan nilai *slake durability index* 87,54 % pada *cycle* 1 dan 0.72 % pada *cycle* ke 2. Penambahan semen *Portland* 15 % diperoleh hasil berat isi kering dengan nilai 1,87 t/m³ pada tingkat kadar air 9,31 % dan nilai *slake durability index* 92,00 % pada *cycle* 1 dan 0.81 % pada *cycle* ke 2.

4.4.2 Nilai *Slake Durability Indeks* pada *Clay Shale* Lapuk yang Dipadatkan Metoda SCMT dengan Energi 20 Blow/Layer

Dibawah ini disajikan Tabel dan kurva nilai *Slake Durability Index Clay shale* Lapuk Hambalang dengan energi pematat 20 Blow/layer SCMT methods setara dengan 2 kali energi Modified Proctor ASTM D 1158.



Gambar 4.31 Pengaruh energi pematat metode SCMT 20 blow/layer terhadap perubahan *Slake Durability Index* pada siklus ke-1



Gambar 4.32 Pengaruh energi pematid metode SCMT 20 blow/layer terhadap perubahan Slake Durability Index pada siklus ke-2

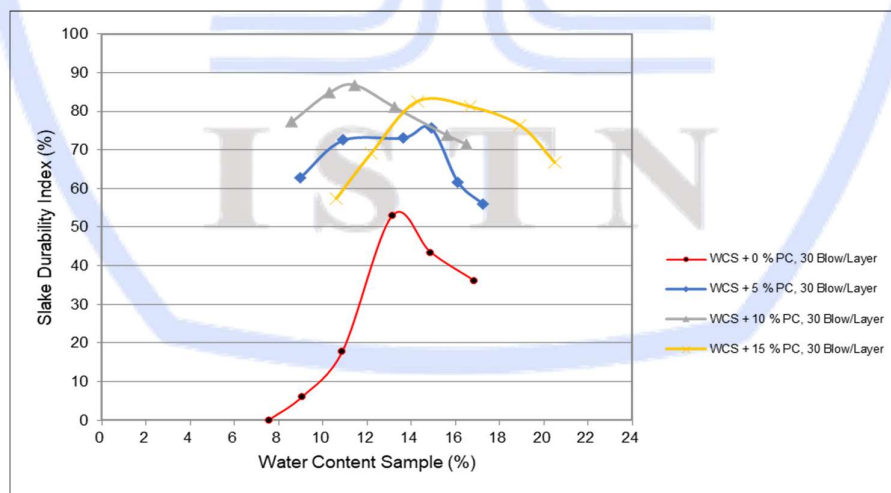
Tabel 4.19 Hasil SDI clay shale lapuk yang dipadatkan dengan metode SCMT dengan energi 20 blow/layer (setara 2 kali dengan ASTM D 1557) tanpa dan dengan penambahan prosentase semen *Portland*.

Slake Durability Index	% PC	Blow/Layer	Cycle	Wn-1	Wn-2	Wn-3	Wn-4	Wn-5	Wn-6
				6.17	7.92	9.81	11.61	12.17	15.53
			γ_d t/m ³	1.98	2.06	2.07	2.05	2.01	1.90
1	0	20	1	0.00	5.43	34.34	25.33	49.40	42.57
2	0	20	2	0.00	0.05	0.00	0.12	0.04	0.03
Slake Durability Index	% PC	Blow/Layer	Cycle	Wn-1	Wn-2	Wn-3	Wn-4	Wn-5	Wn-6
				6.17	7.92	9.81	11.61	12.17	15.53
			γ_d t/m ³	1.98	2.06	2.07	2.05	2.01	1.90
1	5	20	1	64.75	75.76	75.45	69.68	61.71	53.43
2	5	20	2	0.44	0.60	0.58	0.51	0.38	0.33
Slake Durability Index	% PC	Blow/Layer	Cycle	Wn-1	Wn-2	Wn-3	Wn-4	Wn-5	Wn-6
				7.74	8.83	10.80	12.31	14.61	15.92
			γ_d t/m ³	1.97	1.99	2.01	2.01	1.94	1.88
1	10	20	1	76.87	80.50	81.49	81.64	79.50	71.77
2	10	20	2	0.63	0.64	0.68	0.68	0.61	0.48
Slake Durability Index	% PC	Blow/Layer	Cycle	Wn-1	Wn-2	Wn-3	Wn-4	Wn-5	Wn-6
				10.60	12.18	14.27	16.68	18.93	20.50
			γ_d t/m ³	1.88	1.91	1.93	1.95	1.88	1.82
1	15	20	1	86.93	90.39	89.68	90.11	82.35	79.33
2	15	20	2	0.73	0.77	0.76	0.79	0.66	0.65

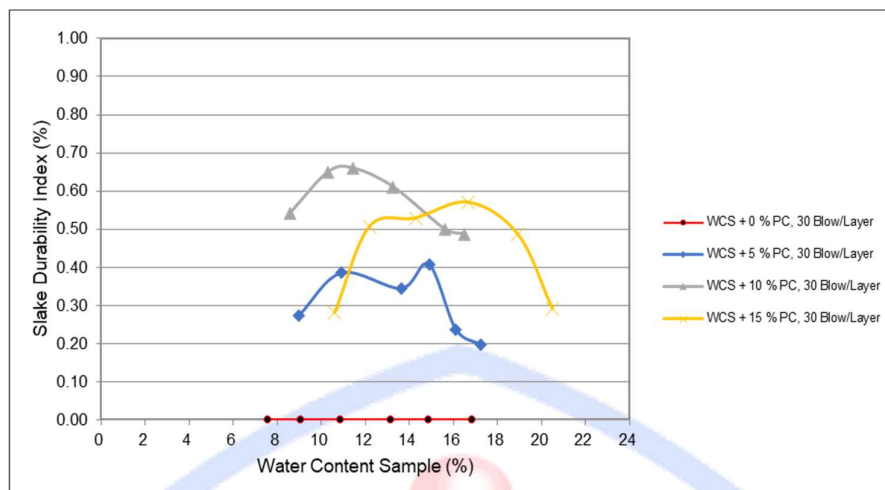
Dari tabel dan grafik diatas dapat dilihat bahwa dengan energi pematat 20 blow/layer pada tanah *Clay Shale* Hambalang asli dengan diperoleh hasil berat isi kering dengan nilai 2,01 t/m³ pada tingkat kadar air 12,17 % dan nilai slake durability index 49,40 % pada cycle 1 dan 0.04 % pada cycle ke 2. Penambahan semen *Portland* 5 % diperoleh hasil berat isi kering dengan nilai 2,06 t/m³ pada tingkat kadar air 7,92 % dan nilai slake durability index 75,76 % pada cycle 1 dan 0,6 % pada cycle ke 2. Penambahan semen Portland 10 % diperoleh hasil berat isi kering dengan nilai 2,01 t/m³ pada tingkat kadar air 12,31 % dan nilai slake durability index 81,64 % pada cycle 1 dan 0.68 % pada cycle ke 2. Penambahan semen *Portland* 15 % diperoleh hasil berat isi kering dengan nilai 1,91 t/m³ pada tingkat kadar air 12,18 % dan nilai slake durability index 90,39 % pada cycle 1 dan 0.77 % pada cycle ke 2.

4.4.3 Nilai *Slake Durability Indeks* pada *Clay Shale* Lapuk yang Dipadatkan Metoda SCMT dengan Energi 30 Blow/Layer

Dibawah ini disajikan Tabel dan kurva nilai *Slake Durability Index Clay shale* Lapuk Hambalang dengan energi pematat 30 Blow/layer SCMT methods setara dengan 3 kali energi Modified Proctor ASTM D 1158. Hasilnya diperlihatkan dibawah ini :



Gambar 4.33 Grafik Pengaruh energi pematat metode SCMT 30 blow/layer terhadap perubahan Slake Durability Index pada siklus ke-1



Gambar 4.34 Pengaruh energi pematat metode SCMT 30 blow/layer terhadap perubahan Slake Durability Index pada siklus ke-2

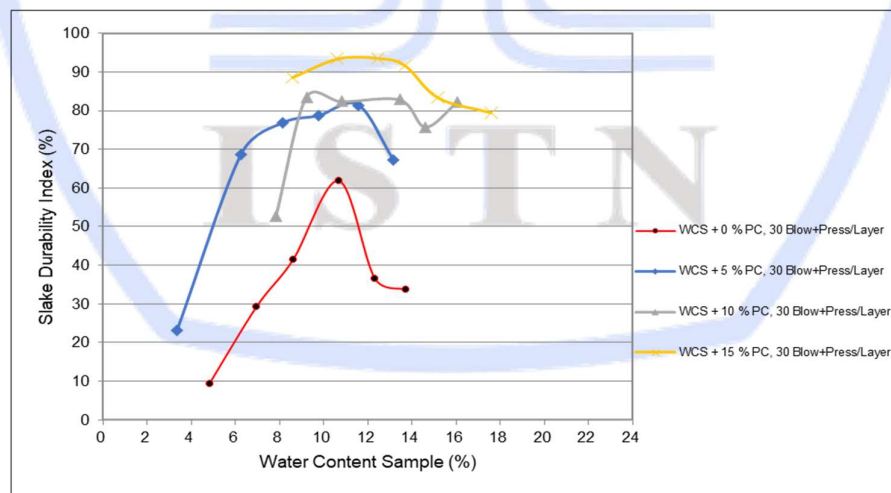
Tabel 4.20 Hasil SDI clay shale lapuk yang dipadatkan dengan metode SCMT dengan energi 30 blow/layer (setara 3 kali dengan ASTM D 1557) tanpa dan dengan penambahan prosentase Portland Cement.

Slake Durability Index	% PC	Blow/Layer	Cycle	Wn-1	Wn-2	Wn-3	Wn-4	Wn-5	Wn-6
				7.55	9.08	10.88	13.13	14.86	16.84
			γ_d t/m ³	1.97	1.98	2.02	2.08	1.96	1.89
1	0	30	1	0.00	6.15	17.86	52.95	43.42	36.05
2	0	30	2	0.00	0.00	0.00	0.00	0.00	0.00
Slake Durability Index	% PC	Blow/Layer	Cycle	Wn-1	Wn-2	Wn-3	Wn-4	Wn-5	Wn-6
				8.99	10.93	13.63	14.88	16.10	17.24
			γ_d t/m ³	1.93	1.96	2.03	1.94	1.92	1.87
1	5	30	1	62.77	72.51	73.09	75.75	61.70	55.86
2	5	30	2	0.27	0.39	0.35	0.41	0.24	0.20
Slake Durability Index	% PC	Blow/Layer	Cycle	Wn-1	Wn-2	Wn-3	Wn-4	Wn-5	Wn-6
				8.56	10.29	11.44	13.25	15.61	16.50
			γ_d t/m ³	1.96	2.00	2.01	2.03	1.95	1.91
1	10	30	1	77.25	84.83	86.71	80.99	73.90	71.56
2	10	30	2	0.54	0.65	0.66	0.61	0.50	0.49
Slake Durability Index	% PC	Blow/Layer	Cycle	Wn-1	Wn-2	Wn-3	Wn-4	Wn-5	Wn-6
				10.60	12.18	14.27	16.68	18.93	20.50
			γ_d t/m ³	1.88	1.91	1.93	1.95	1.88	1.82
1	15	30	1	57.46	69.20	82.58	81.21	76.37	66.75
2	15	30	2	0.28	0.51	0.53	0.57	0.49	0.29

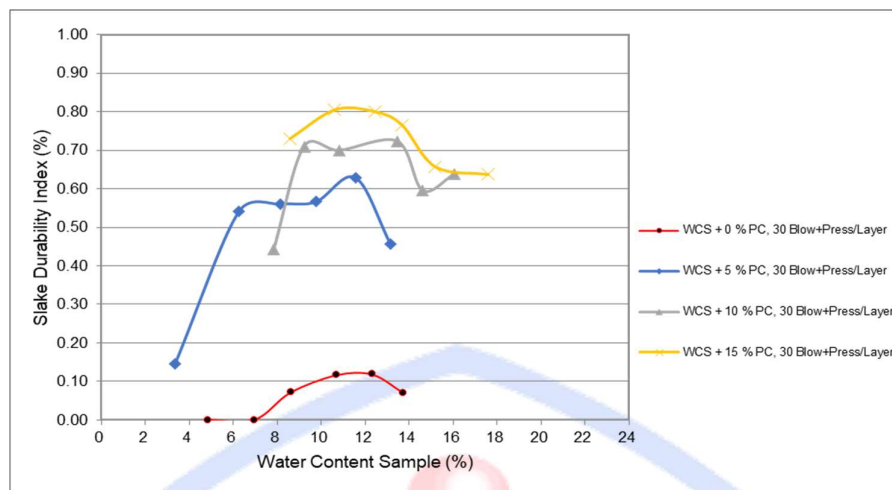
Dari tabel dan grafik diatas dapat dilihat bahwa dengan energi pematat 30 blow/layer pada tanah *Clay Shale* Hambalang asli dengan diperoleh hasil berat isi kering dengan nilai 2,08 t/m³ pada tingkat kadar air 13,13 % dan nilai slake durability index 52,95 % pada cycle 1 dan 0.00 % pada cycle ke 2. Penambahan semen *Portland* 5 % diperoleh hasil berat isi kering dengan nilai 1,94 t/m³ pada tingkat kadar air 14,88 % dan nilai slake durability index 75,75 % pada cycle 1 dan 0,41 % pada cycle ke 2. Penambahan semen *Portland* 10 % diperoleh hasil berat isi kering dengan nilai 2,01 t/m³ pada tingkat kadar air 11,44 % dan nilai slake durability index 86,71 % pada cycle 1 dan 0.66 % pada cycle ke 2. Penambahan semen *Portland* 15 % diperoleh hasil berat isi kering dengan nilai 1,93 t/m³ pada tingkat kadar air 14,27 % dan nilai slake durability index 82,58 % pada cycle 1 dan 0.53 % pada cycle ke 2.

4.4.4 Nilai *Slake Durability Indeks* pada *Clay Shale* Lapuk yang Dipadatkan Metoda SCMT dengan Energi 30 Blow/Layer + *Pressure* 14,09 kg/cm³

Dibawah ini disajikan Tabel dan kurva nilai *Slake Durability Index Clay shale* Lapuk Hambalang dengan energi pematat 30 Blow/layer SCMT methods + *Pressure* 14,09 Kg/cm³ setara dengan 3 kali energi Modified Proctor ASTM D 1158. Hasilnya diperlihatkan diawah ini :



Gambar 4.35 Pengaruh energi pematat metode SCMT 30 blow/layer + *Pressure* terhadap perubahan Slake Durability Index pada siklus ke-1

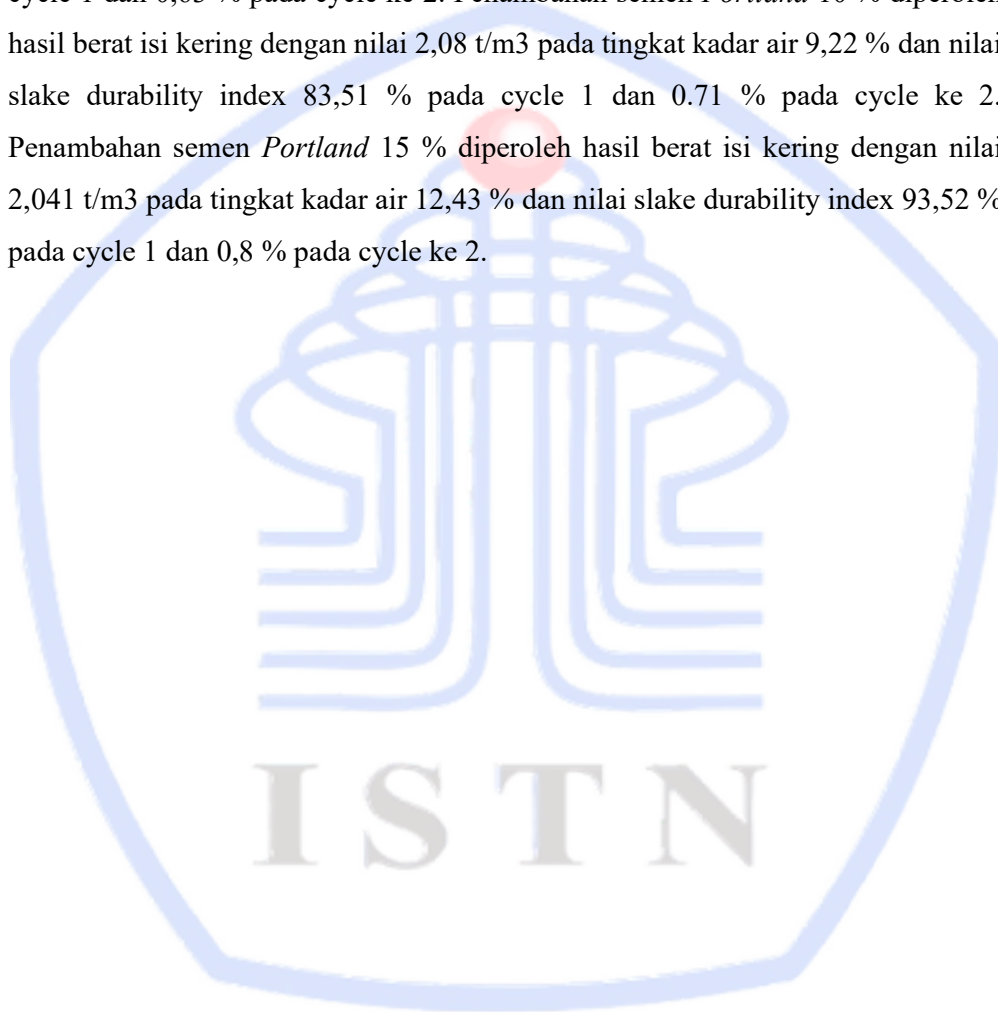


Gambar 4.36 Pengaruh energi pematid metode SCMT 30 blow/layer + *Pressure* terhadap perubahan Slake Durability Index pada siklus ke-2

Tabel 4.21 Hasil SDI clay shale lapuk yang dipadatkan dengan metode SCMT dengan energi 30 blow/layer (setara 3 kali dengan ASTM D 1557) tanpa dan dengan penambahan prosentase Portland Cement + *Pressure*.

Slake Durability Index	% PC	Blow/Layer	Cycle	Wn-1	Wn-2	Wn-3	Wn-4	Wn-5	Wn-6
				γ _d t/m ³	γ _d t/m ³	γ _d t/m ³	γ _d t/m ³	γ _d t/m ³	γ _d t/m ³
1	0	30+Press	1	9.42	29.36	41.37	61.85	36.61	33.66
			2	0.00	0.00	0.07	0.12	0.12	0.07
1	5	30+Press	1	23.15	68.75	76.78	78.62	81.40	67.22
			2	0.15	0.54	0.56	0.57	0.63	0.46
1	10	30+Press	1	52.68	83.51	82.37	82.83	75.78	82.29
			2	0.44	0.71	0.70	0.72	0.60	0.64
1	15	30+Press	1	88.56	93.38	93.52	91.68	83.30	79.48
			2	0.73	0.81	0.80	0.77	0.66	0.64

Dari tabel dan grafik diatas dapat dilihat bahwa dengan energi pemadat 30 blow/layer + *Pressure* pada tanah *Clay Shale* Hambalang asli dengan diperoleh hasil berat isi kering dengan nilai 2,11 t/m³ pada tingkat kadar air 10,67 % dan nilai slake durability index 61,85 % pada cycle 1 dan 0.12 % pada cycle ke 2. Penambahan semen *Portland* 5 % diperoleh hasil berat isi kering dengan nilai 2,08 t/m³ pada tingkat kadar air 11,55 % dan nilai slake durability index 81,40 % pada cycle 1 dan 0,63 % pada cycle ke 2. Penambahan semen *Portland* 10 % diperoleh hasil berat isi kering dengan nilai 2,08 t/m³ pada tingkat kadar air 9,22 % dan nilai slake durability index 83,51 % pada cycle 1 dan 0.71 % pada cycle ke 2. Penambahan semen *Portland* 15 % diperoleh hasil berat isi kering dengan nilai 2,041 t/m³ pada tingkat kadar air 12,43 % dan nilai slake durability index 93,52 % pada cycle 1 dan 0,8 % pada cycle ke 2.



BAB V

KESIMPULAN DAN SARAN

5.1.1 Kesimpulan

Pada bab ini, kesimpulan dibuat berdasarkan hasil penelitian serta analisis dan pembahasan pada tanah *clay shale* Hambalang lapuk yang selanjutnya dipadatkan dengan variasi energi dan distabiliasi dengan semen portland (5%PC, 10%PC dan 15%PC) memperlihatkan peningkatan slake durability indeks.

Pada sampel dengan tambahan 15% PC dan dengan energi 30 blow + Pressure menunjukkan Nilai Slake Durability Indeks yang paling tinggi yaitu sebesar 93,52 %. Walaupun demikian, perilaku tersebut tidak dapat kembali seperti kondisi asli *clay shale* (fresh *clay shale*).

5.2 Saran

Beberapa saran yang dapat dikemukakan setelah hasil penelitian serta hasil penelitian didapatkan yaitu :

1. Untuk campuran tanah *clay shale* yang telah lapuk dapat menggunakan 15% dan energi 30 Blow+pressure per layer.
2. Perlu dilanjutkan penelitian Kembali dengan menggunakan bahan aditif yang berbeda.

DAFTAR PUSTAKA

- Alatas, Idrus M dan Pintor T. Simatupang** (2017), Pengaruh Proses Pelapukan *Clay Shale* terhadap Perubahan Parameter Rasio Disintegritas (DR), Jurnal Teknik Sipil, Vol. 24, No. 1, April 2017: pp. 77-82
- Alatas, Idrus M, Samira A.K, Ramli N, Irsyam M,** (2016). *Effect of Weathering on Disintegration and Shear Strength Reduction of Clay Shale. Jurnal Teknologi (Sciences & Engineering) 78(7-3): 93-99.*
- Alatas, Idrus M, Samira A.K, Ramli N, Irsyam M, Himawan A,** (2015). *Shear Strength Degradation of Semarang-Bawen Clay Shale Due To Weathering Process. Jurnal Teknologi (Sciences & Engineering) 77(11): 109–118.*
- Alatas, Idrus M, Simatupang Pintor T., Kuswaya Wawan and Panji** (2019). Re-weathering of Stabilized *Clay Shale* With Portland Cement Behavior. MATEC Web of Conferences 276, 05009 (2019).
- Aprilia, Lita et. al** (2020), Analisis Petrofisika dan Penyebab Low Resistivity Reservoir Zone Berdasarkan Data Log, Sem, XRD dan Petrografi Pada Lapangan X Sumatera Selatan, Jurnal Geofisika Eksplorasi 4(2): pp. 31-46
- Diana, W., Hartono, E. and Muntohar, A. S** (2019). *The Permeability of Portland Cement-Stabilized Clay Shale. IOP Conf. Series: Materials Science and Engineering 650 (2019) 012027.*
- Oktaviani, Revia., Paulus P Rahardjo, and Imam A Sadisun** (2018), *The Clay Shale Durability Behavior of Jatiluhur Formation Based on Dynamic and Static Slaking Indices, International Journal of Scientific & Engineering Research Volume 9, Issue 5, May-2018pp. 1266 – 1281*
- Redyananda, A. K.** (2021) Pengaruh Semen Portland terhadap Ketahanan Tanah *Clay Shale* yang telah Mengalami Pelapukan (studi Kasus : *Clay Shale*, Cariu, Jonggol), Tesis, ISTN, Jakarta
- Putera A. M. A., and Sony Pramusandi B. Damianto** (2017), *Identification and Classification of Clay Shale Characteristic and Some Considerations for Slope Stability, African Journal of Environmental Science and Technology, 11(4) 163–179.*
- Somantri, A. K, Shouman M, Fathurrohman A. M,** (2018). Penentuan Parameter Kuat Geser *Clay Shale* Berdasarkan Variabel Kejenuhan Terhadap Kelongsoran. Prosiding Industrial Research Workshop and National Seminar Vol. 9.
- Tantra, Hans, Prihatiningsih A,** (2019). Analisis Kuat Geser Tanah *Clay Shale* Yang Terendam dan Tidak Terendam dengan Unconfined Compression Test. Jurnal Mitra Teknik Sipil, Vol. 2, No. 1, Februari 2019, hlmn 77-85.
- Terzaghi, K** (1967). *Soil Mechanics in Engineering Practice. 2nd Edition. A Wiley. International Edition. John Wiley & Sons. Inc. New York. London. Sydney.*
- Terzaghi, K** (1946). *Introduction to Tunnel Geology. Rock Tunneling with Steel Supports. R.V. Proctor and T.L. White eds. Youngstown: Commercial Shearing, pp. 19–99.*

- Terzaghi K** (1936). *A Fundamental Fallacy in Earth Pressure Computations. Journal Boston Soc. Civil Engrs., Vol, 23 pp. 71-88.*
- Vargas, M** (1953). *Some engineering properties of residual clay soils occurring in Southern Brazil. Proc. 3rd Int. Conf. on Soil Mech. and Found. Eng., Zurich, VI, p. 67.*
- Widjaja. B** (2008). *Engineering characteristics of Bukit Sentul Clay Shale based on laboratory and in situ tests. Geotechnical and Geophysical Site Characterization – Huang & Mayne (eds) Taylor & Francis Group, London, p. 1231-1237.*
- Widjaja, B and Rahardjo, P.P** (2002). *Karakteristik Clay Shale di Bukit Sentul, Bogor, dan Pertimbangan untuk Stabilitas Lereng. Prosiding Seminar Nasional SLOPE- 2002, Bandung, pp. 99-114.*
- Walkinshaw, J.L., and Santi, P.M** (1996). *Landslides Investigation and Mitigation, Special Report 247, Chapter 21: Shales and other Degradable Materials. Transportation Research Board, National Research Cou*
- Wirmanda, Anindya Y., et al.** (2017), *Perilaku Clay Shale Terhadap Kuat Geser Residual Pada Lokasi Banyumeneng, Penawangan, Dan Wonosegoro. Jurnal Karya Teknik Sipil S1 Undip, Vol. 6, No. 3, pp. 81-92.*
- ASTM** (American Society for Testing and Material) *D 698. Standard Test Method for Laboratory Compaction Characteristics of Soil Ussing Standard Efford. U.S.*
- ASTM** (American Society for Testing and Material) *D 854. Standard Test Method for Specific Gravity of Soil Solids by Water Pycnometer. U.S.*
- Das, Braja M.** (1995). *Mekanika Tanah I. Erlangga. Jakarta.*
- Bowles, Joseph E.** (1986). *Sifat-Sifat Fisis dan Geoteknis Tanah (Mekanika tanah). Erlangga. Jakarta.*
- Hardiyatmo, Hary C.** (2017). *Stabilisasi Tanah untuk Perkerasan jalan. Gadjah Mada University Press. Jogjakarta.*

Lampiran A
Objek dan Lokasi Penelitian



Lampiran A.1 – Objek Penelitian

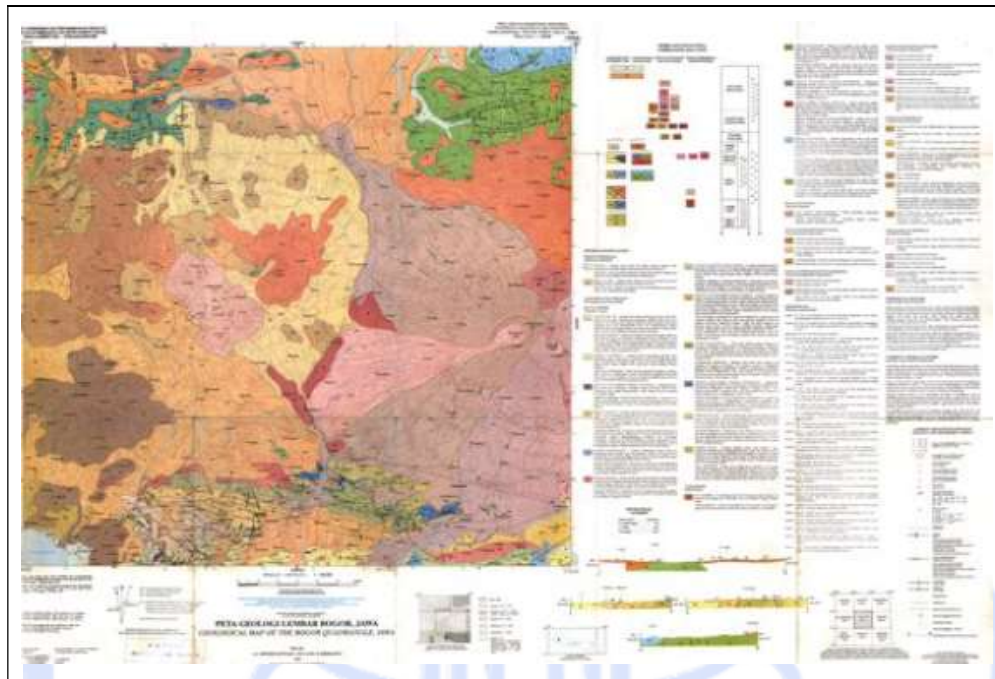


Tipe *Clay Shale*

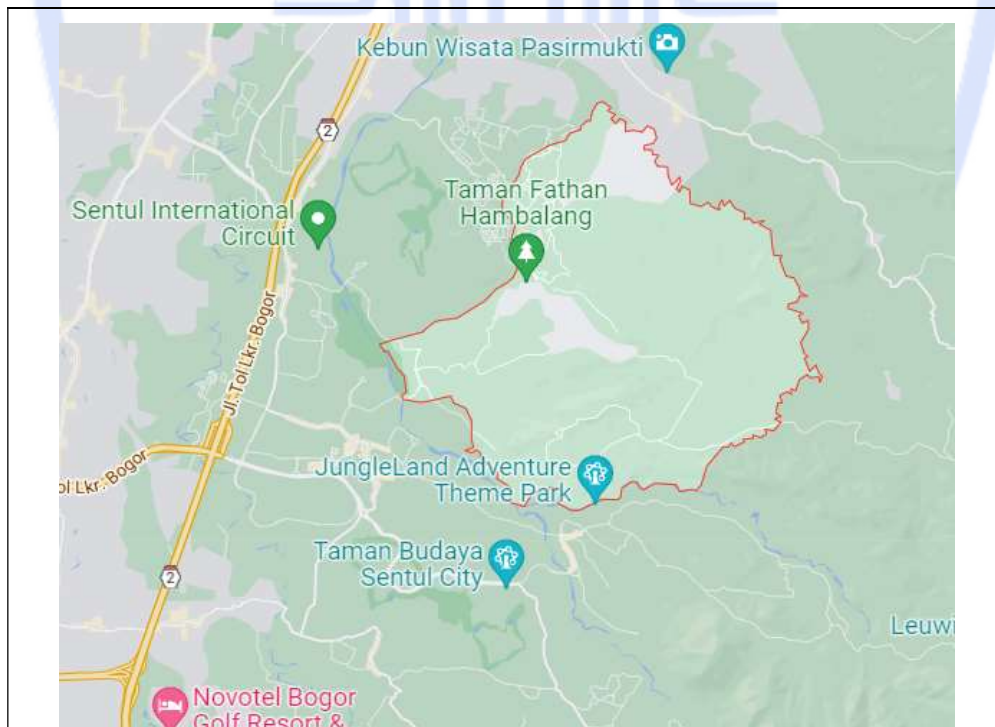


Tipe *Clay Shale*

Lampiran A.1 – Objek Penelitian

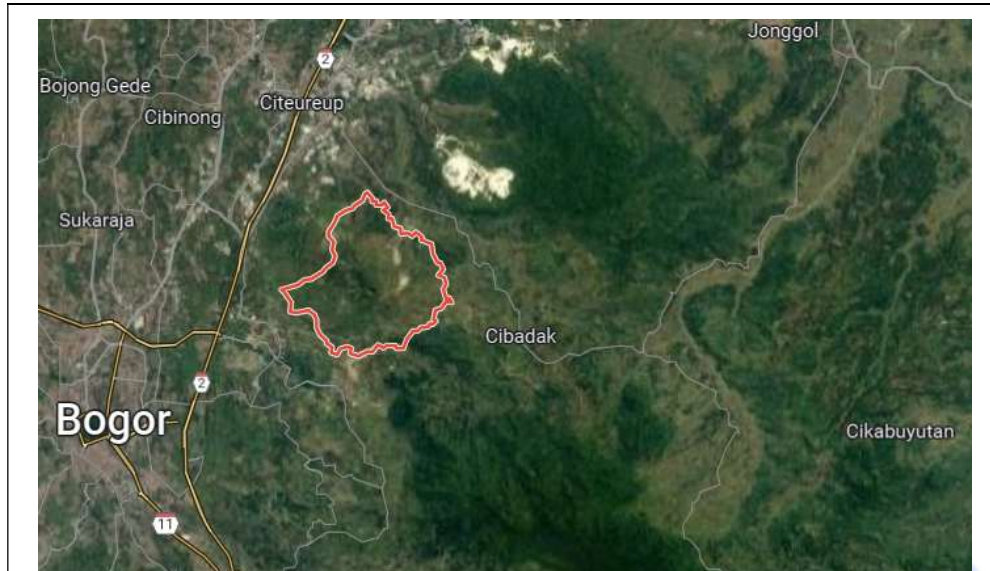


Peta Geologi Batuan Daerah Bogor



Peta Daerah Hambalang, Bogor

Lampiran A.2 – Lokasi Penelitian



Peta Google Earth Daerah Hambalang Bogor



Peta Google Earth Lokasi Penelitian di Hambalang Bogor

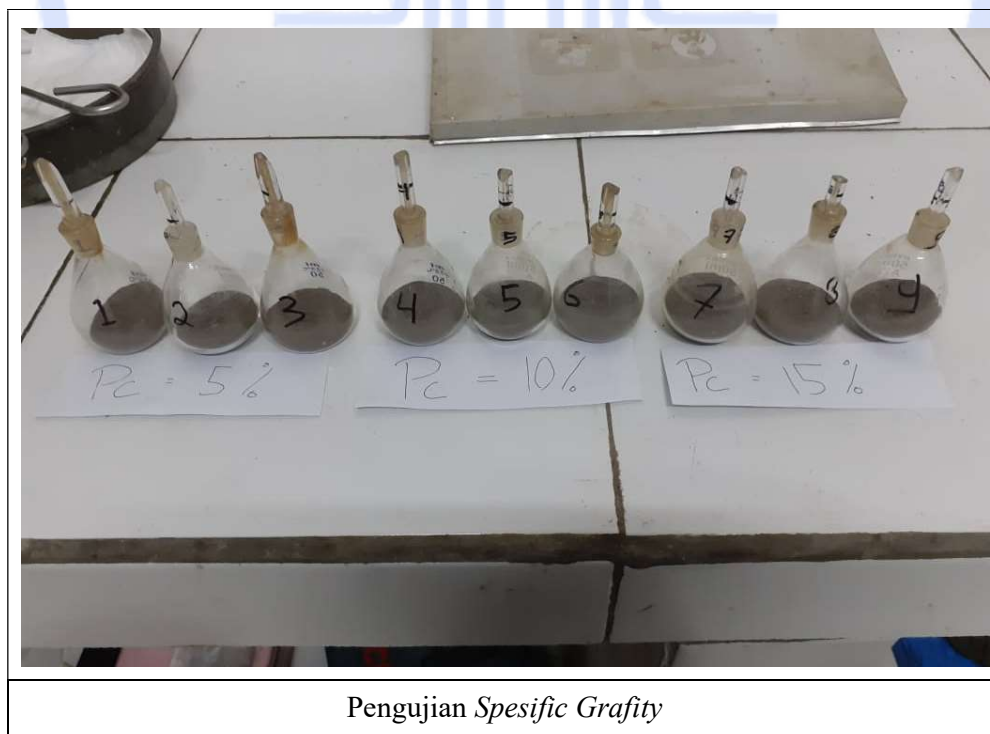
Lampiran A.3 – Pengambilan Sampel Penelitian



Pengambilan Sampel



Contoh Sampel di Lokasi Pengambilan

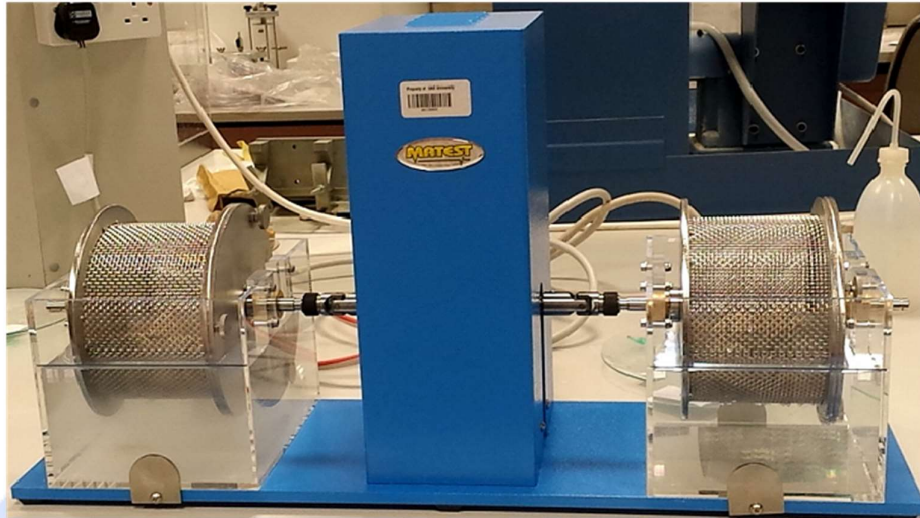
Lampiran A.4 – Dokumentasi Pengujian di Laboratorium

Lampiran A.4 – Dokumentasi Pengujian di Laboratorium

Lampiran B

Instrumen Penelitian



Lampiran B.1 – Peralatan Laboratorium

Alat Slake Durability Index



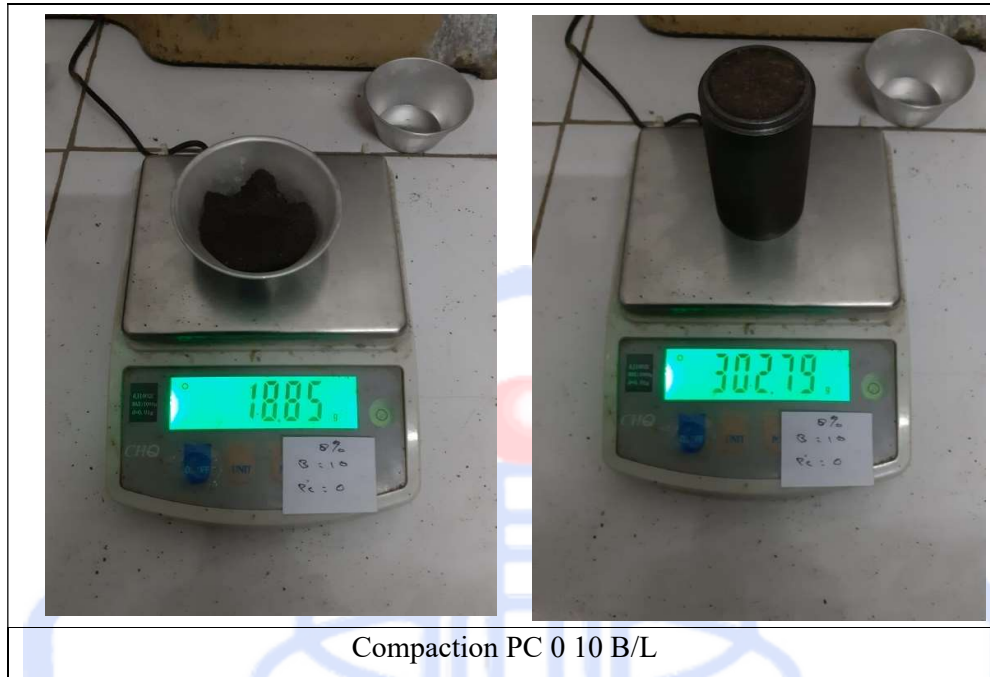
Alat Uji Pematatan

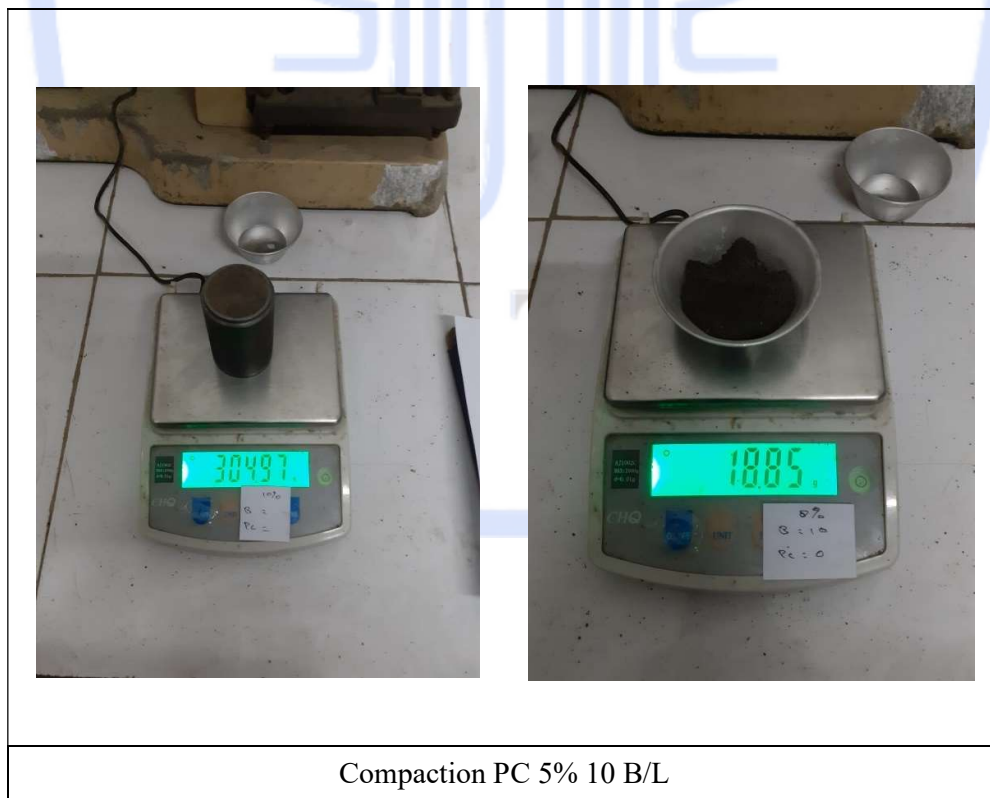
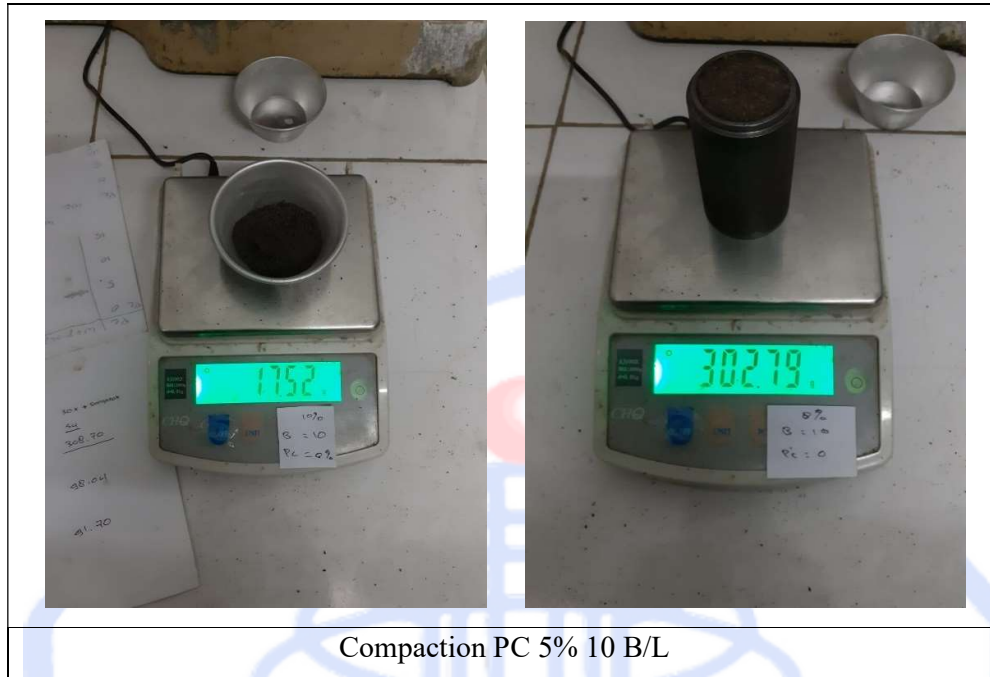
Lampiran B.1 – Peralatan Laboratorium

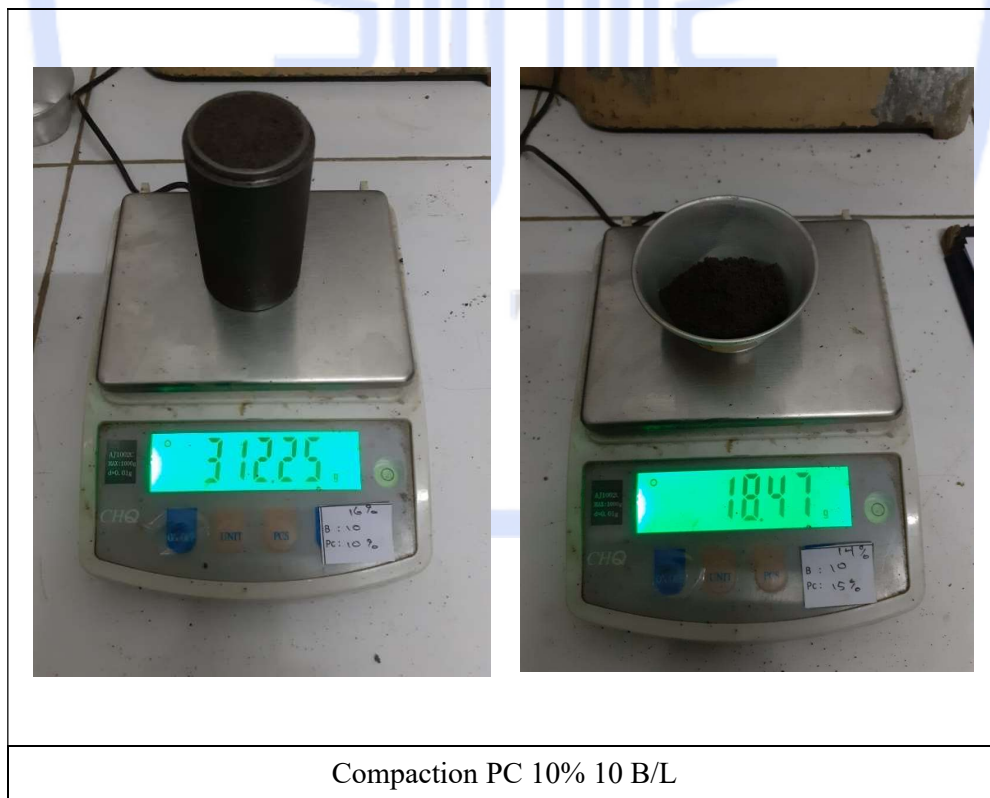
Timbangan

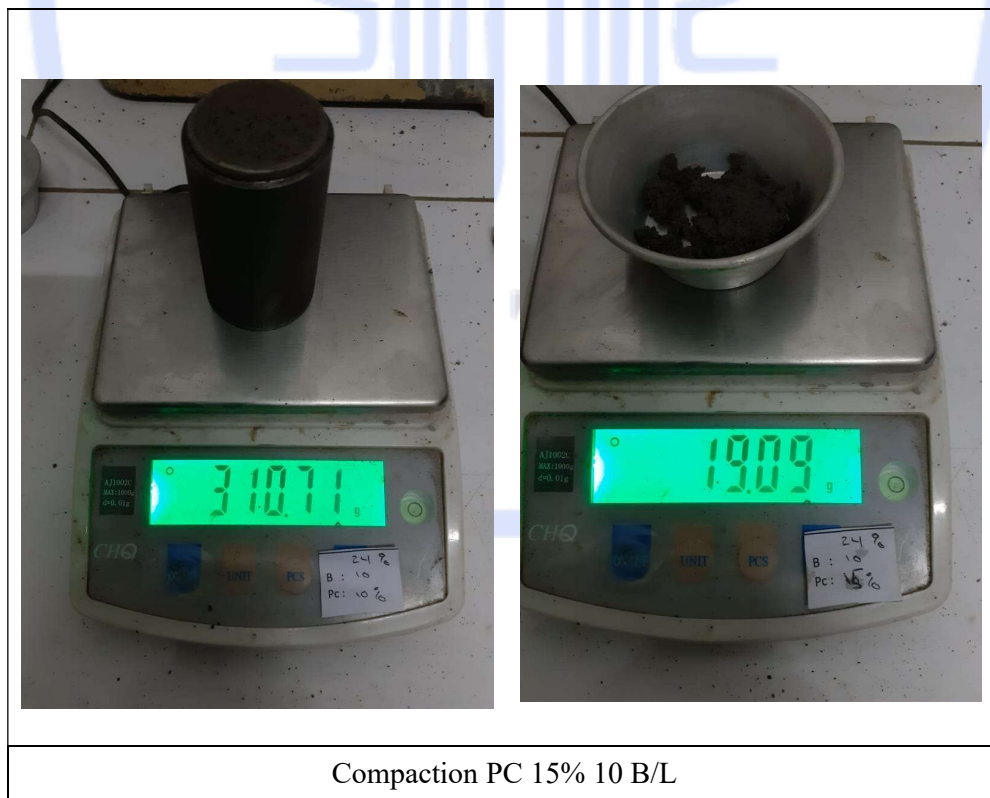
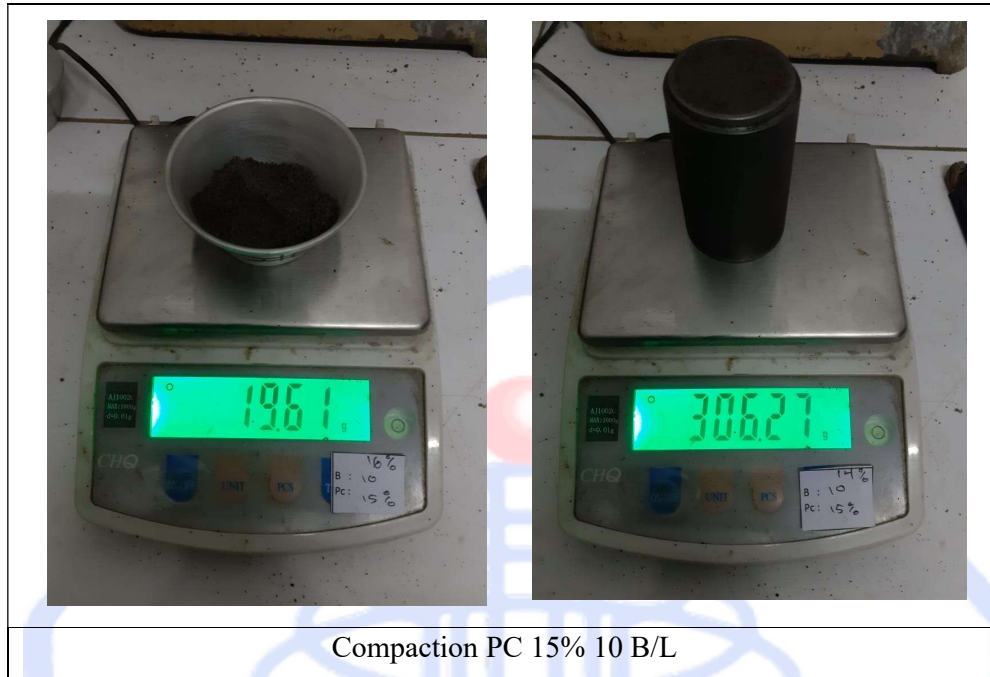


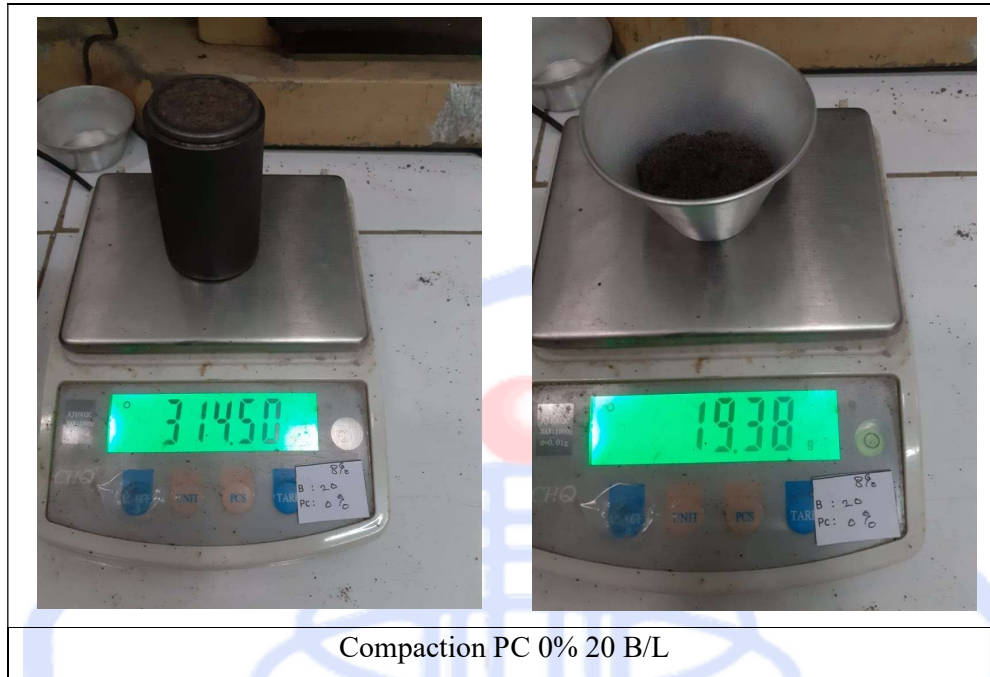
Oven

Lampiran B.2 – Analisis Parameter *Clay Shale* di Laboratorium

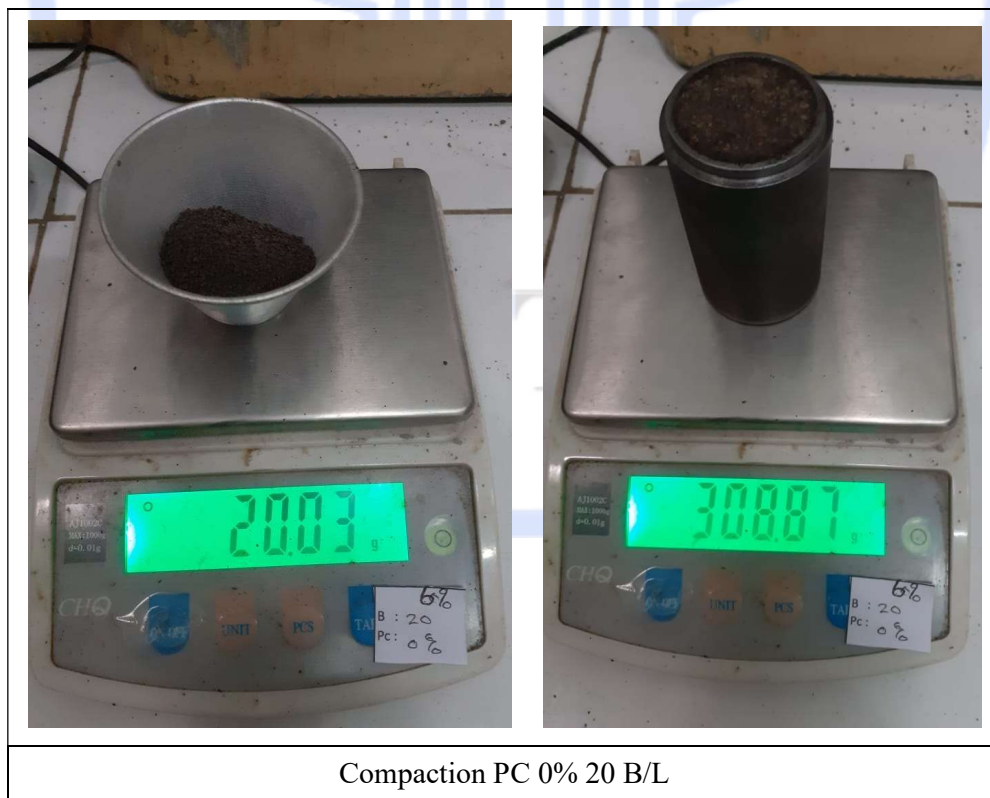
Lampiran B.2 – Analisis Parameter *Clay Shale* di Laboratorium

Lampiran B.2 – Analisis Parameter *Clay Shale* di Laboratorium

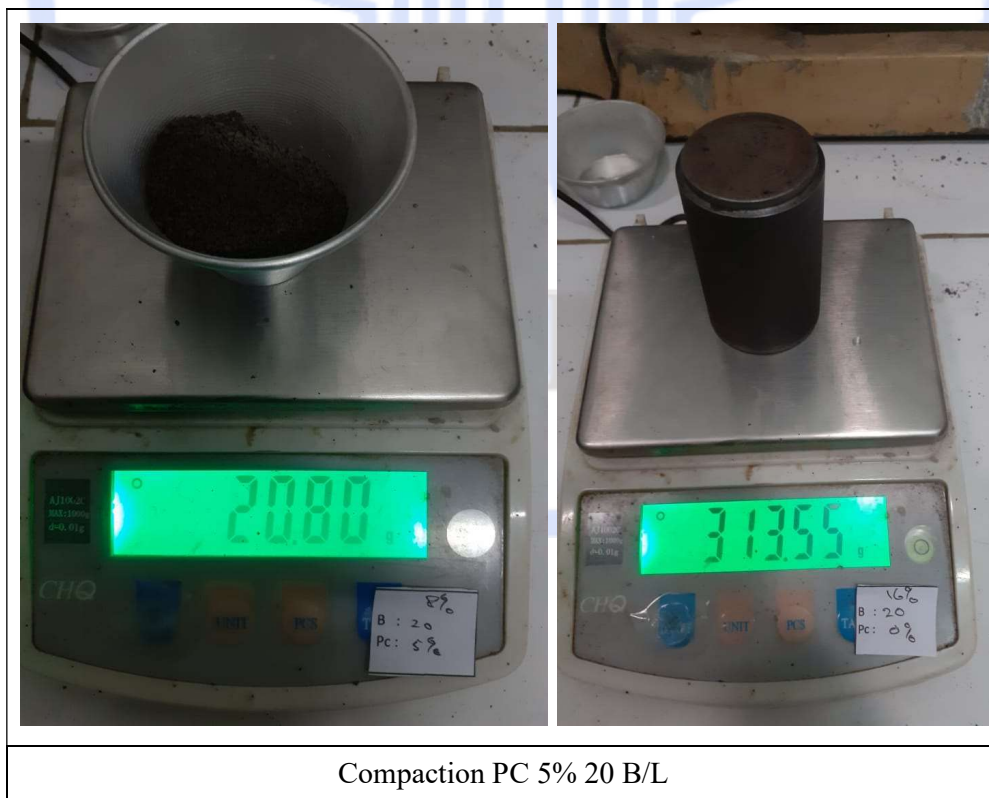
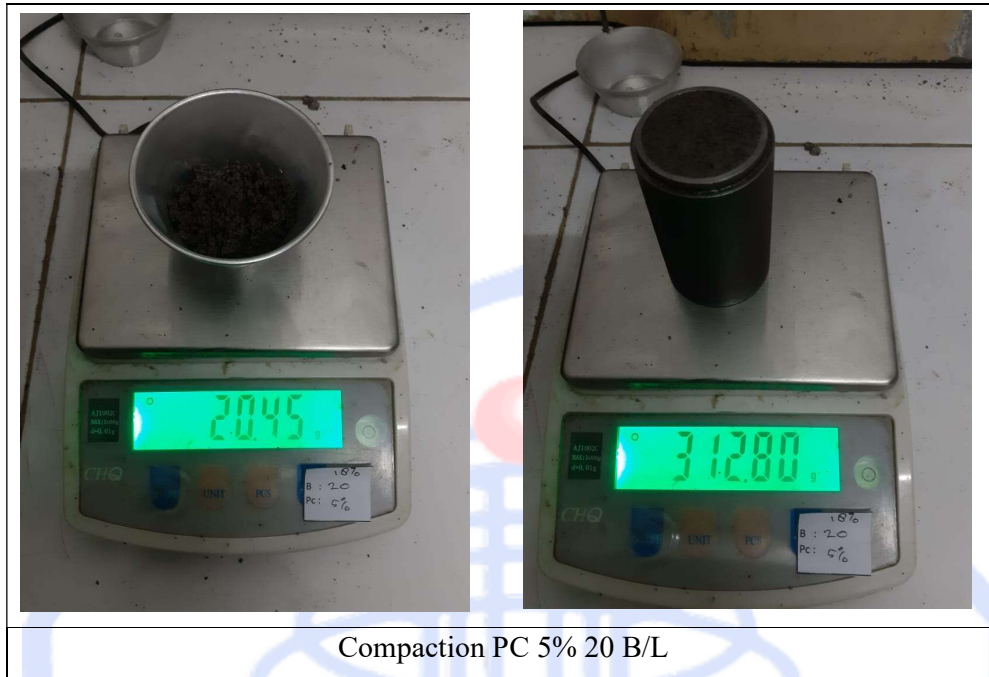
Lampiran B.2 – Analisis Parameter *Clay Shale* di Laboratorium

Lampiran B.2 – Analisis Parameter *Clay Shale* di Laboratorium

Compaction PC 0% 20 B/L



Compaction PC 0% 20 B/L

Lampiran B.2 – Analisis Parameter *Clay Shale* di Laboratorium

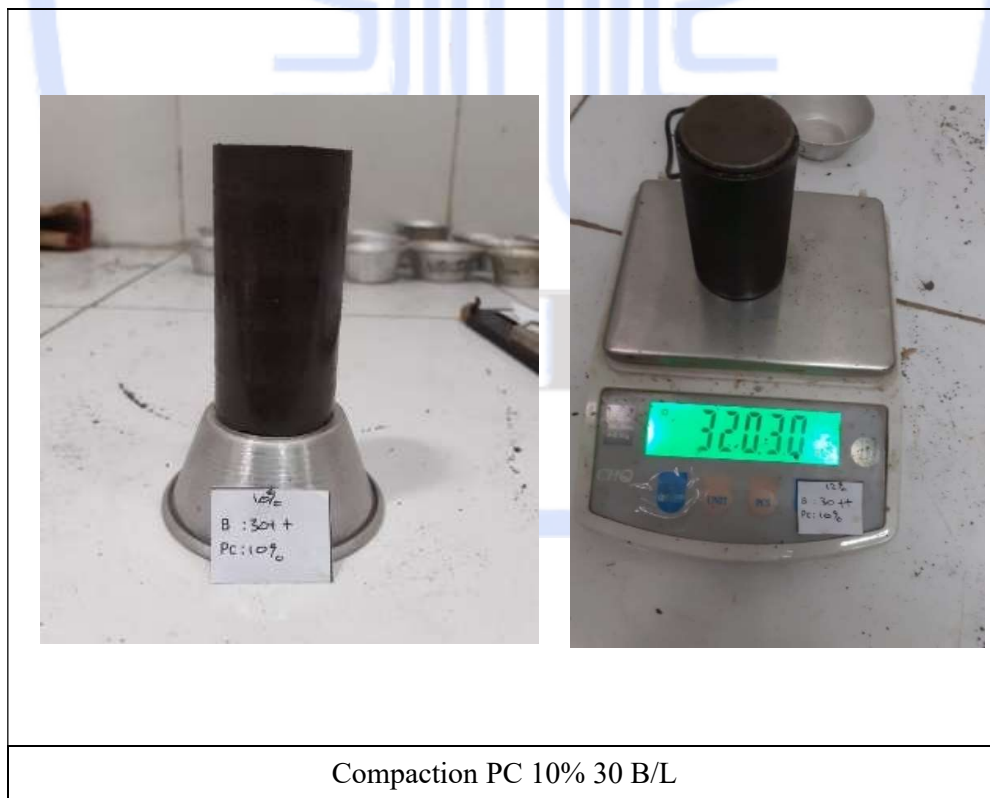
Lampiran B.2 – Analisis Parameter *Clay Shale* di Laboratorium

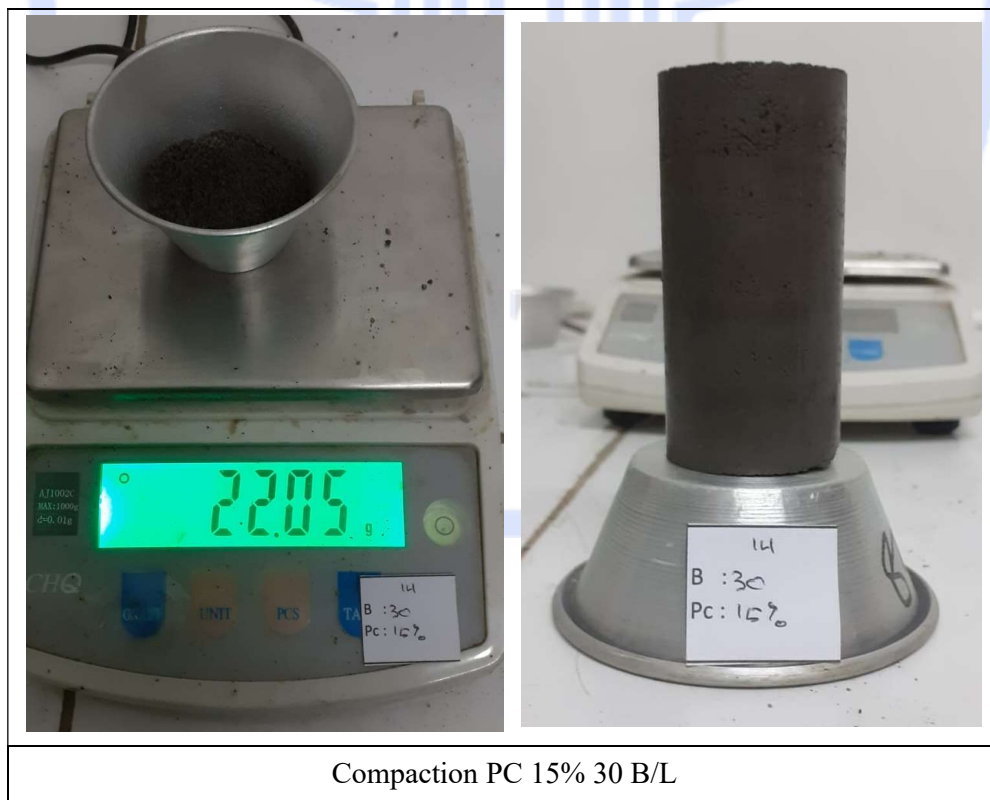
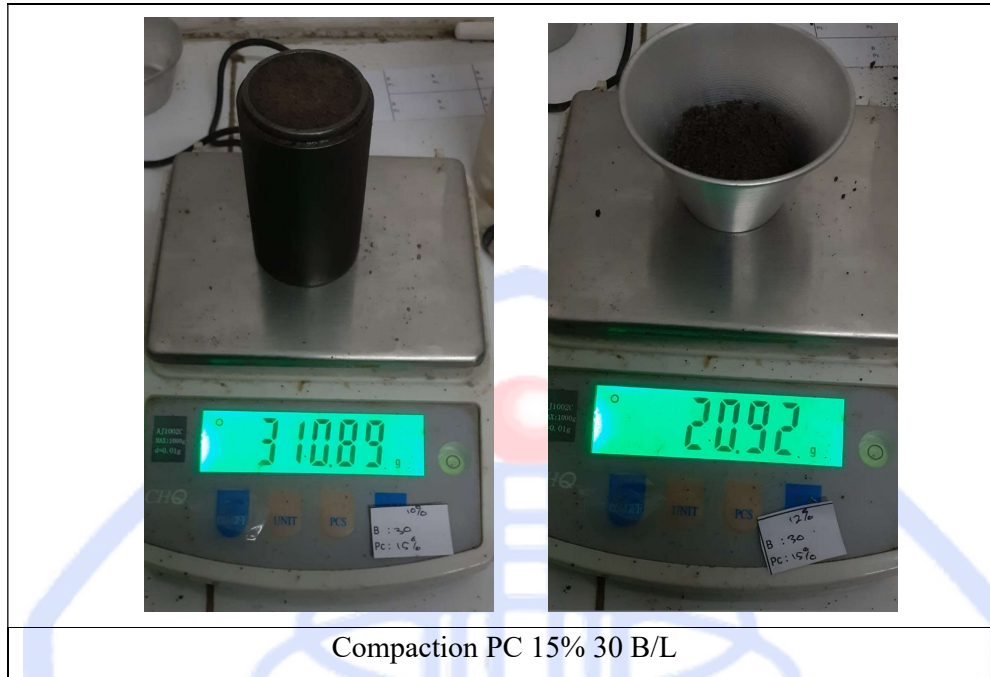
Compaction PC 10% 20 B/L

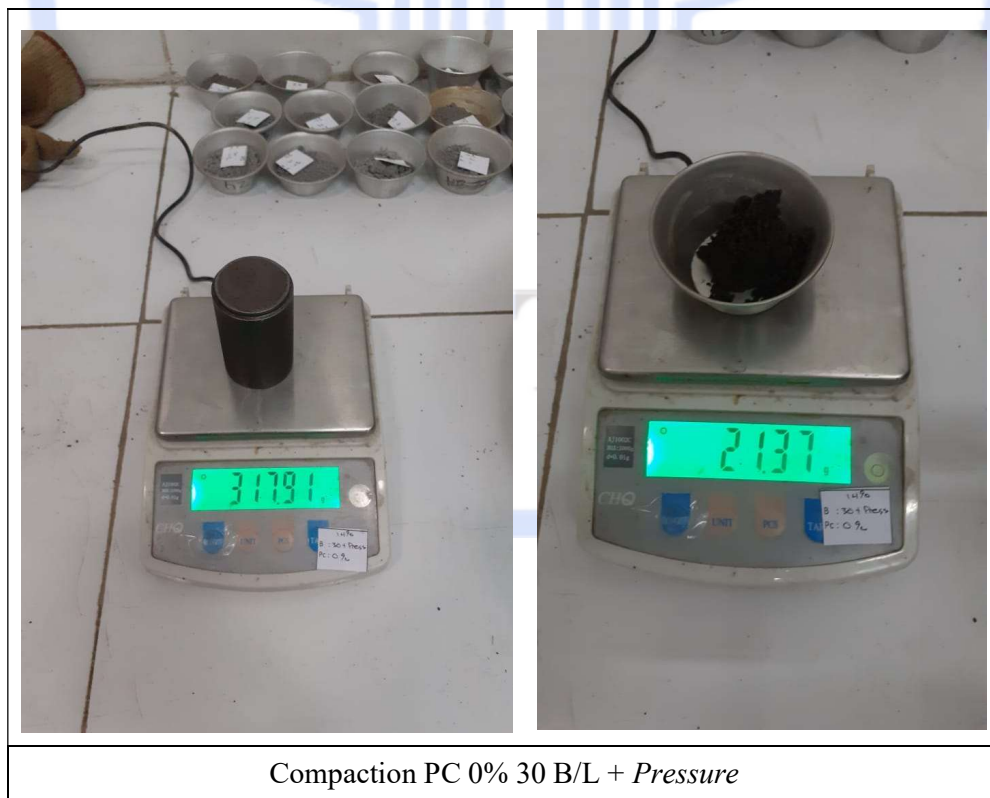
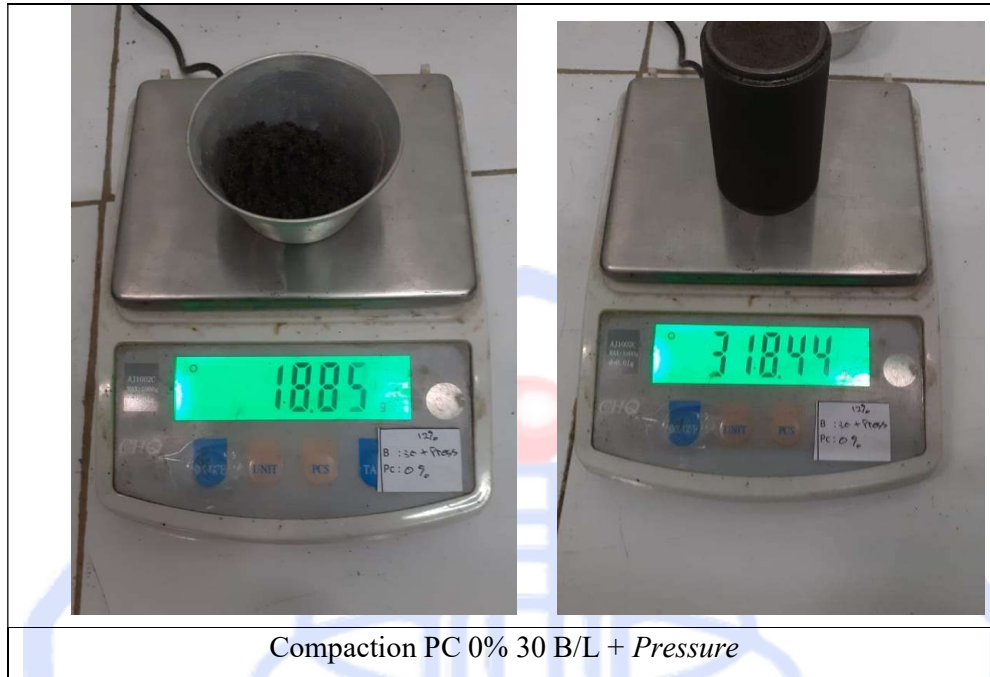


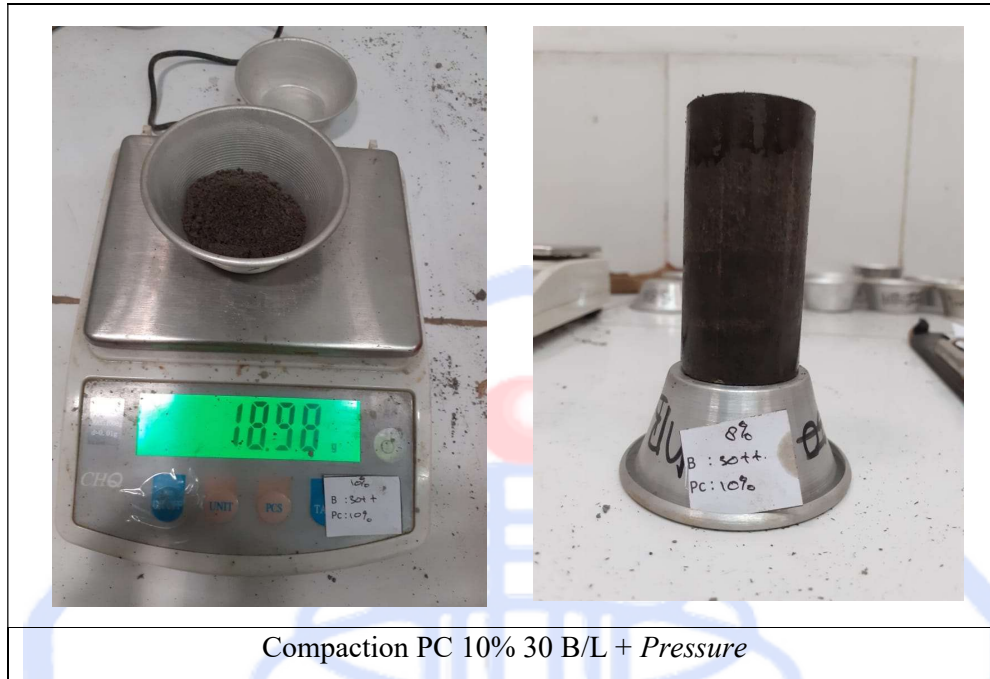
Compaction PC 10% 20 B/L

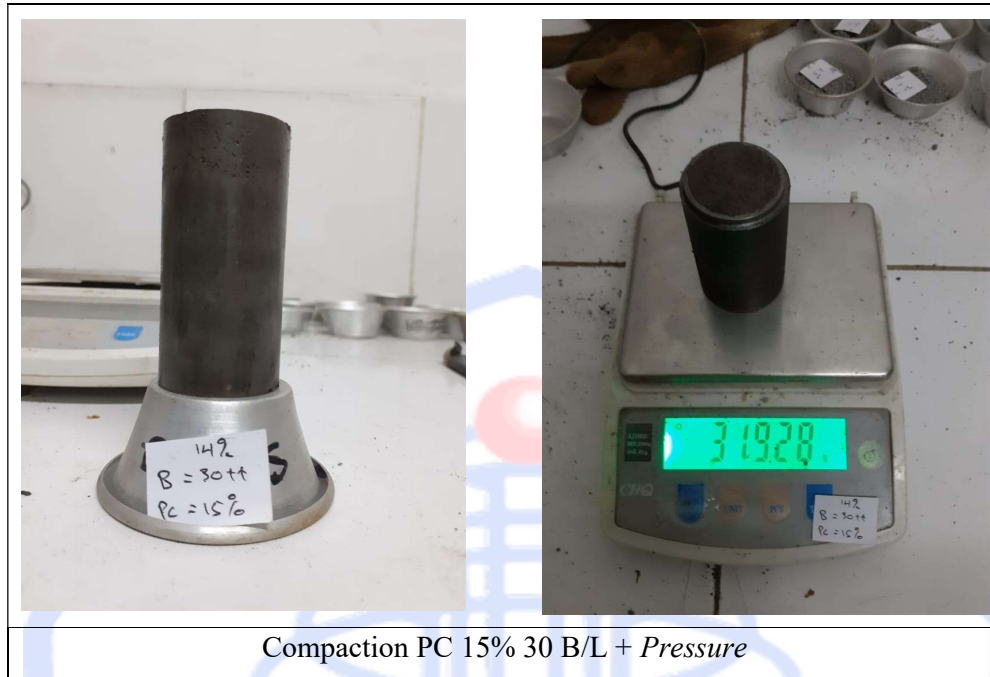
Lampiran B.2 – Analisis Parameter *Clay Shale* di Laboratorium

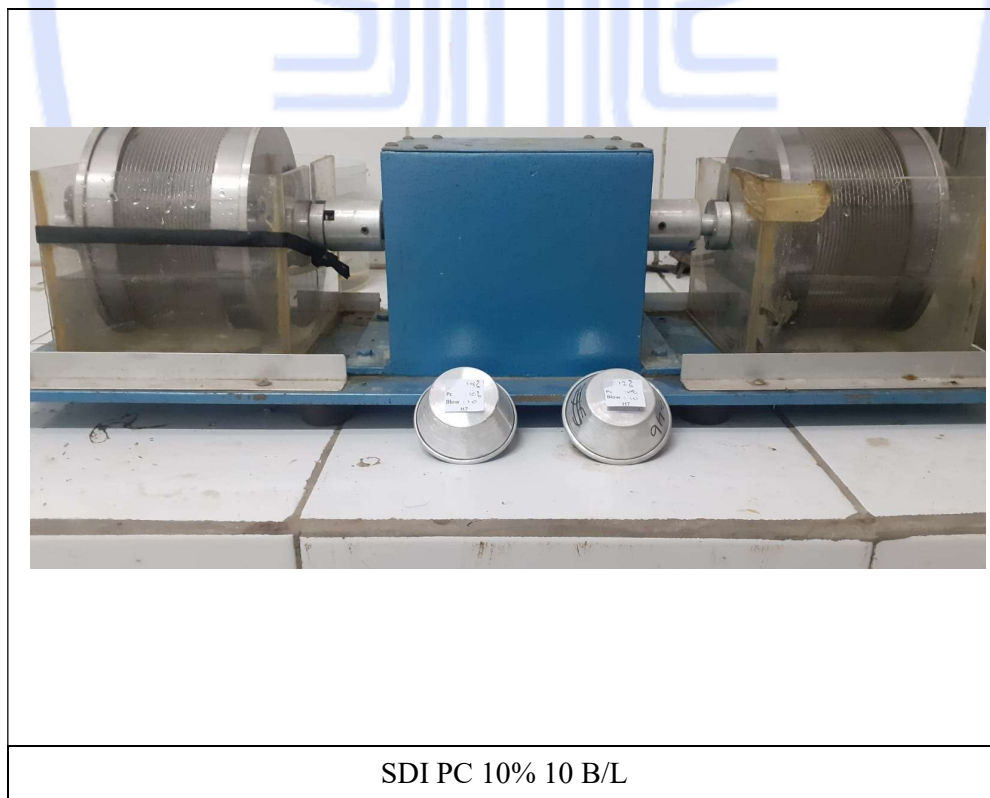
Lampiran B.2 – Analisis Parameter *Clay Shale* di Laboratorium

Lampiran B.2 – Analisis Parameter *Clay Shale* di Laboratorium

Lampiran B.2 – Analisis Parameter *Clay Shale* di Laboratorium

Lampiran B.2 – Analisis Parameter *Clay Shale* di Laboratorium

Lampiran B.2 – Analisis Parameter *Clay Shale* di Laboratorium

Lampiran B.2 – Analisis Parameter *Clay Shale* di Laboratorium

Lampiran B.2 – Analisis Parameter *Clay Shale* di Laboratorium

Lampiran B.2 – Analisis Parameter *Clay Shale* di Laboratorium



Lampiran C

Rangkuman Data Hasil Analisis *Compaction Test*

Variasi Semen *Portland* dan

Pemadatan Energi

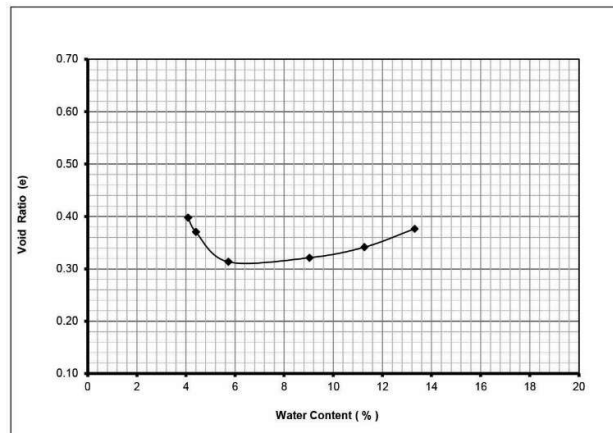
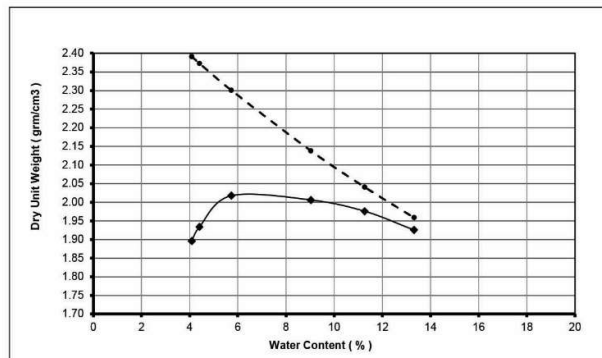


GEOINVES SOIL MECHANICS LABORATORY COMPACTION TEST

PROJECT	ENERGY COMPACTION EFFECT OF HAMBALANG WEATHERED CLAY SHALE AND PC		
LOKASI	HAMBALANG, SENTUL, JAWA BARAT		
Samples code :	Disturbed -1	Date of test :	01 to 28 October 2021
Description	Weathered Grey Clay Shale 0 % PC, 10 Blow/Layer	Tested by :	HAMID
Standard	ASTM D 1557 (SCMT Mod. Comp. Lab. Test)	Checked by :	Ega

0% PC

No	Diameter Mould (cm)	Tinggi Mould (cm)	Berat Mould (gm)	Berat Tanah & Mould (gm)	Volume Mould (cm ³)	Berat Isi Tanah (gm)	Berat Cawan (gm)	Berat C & Tanah basah (gm)	Cawan & Tanah Kering (gm)	Kadar Air (%)	Berat Isi Kering (gm/cm ³)	Gs γ _d Sr=100%	Void Ratio e
1	3.08	6.41	208.6	302.79	47.73	1.973	5.08	18.85	18.31	4.082	1.896	2.39	0.40
2	3.08	6.41	208.6	304.97	47.73	2.019	4.25	17.52	16.96	4.406	1.934	2.37	0.37
3	3.08	6.41	208.6	310.43	47.73	2.133	2.96	13.12	12.57	5.723	2.018	2.30	0.31
4	3.08	6.41	208.6	313	47.73	2.187	4.95	12.8	12.15	9.028	2.006	2.14	0.32
5	3.08	6.41	208.6	313.53	47.73	2.198	5.38	19.01	17.63	11.265	1.976	2.04	0.34
6	3.08	6.41	208.6	312.75	47.73	2.182	4.49	18.62	16.96	13.312	1.926	1.96	0.38



Hasil Test

Parameter Pemdatan	Nilai
Berat isi Kering max (γ _{d max})	2.018 gr/cm ³
Kadar air Optimum (w _{opt})	5.723 %

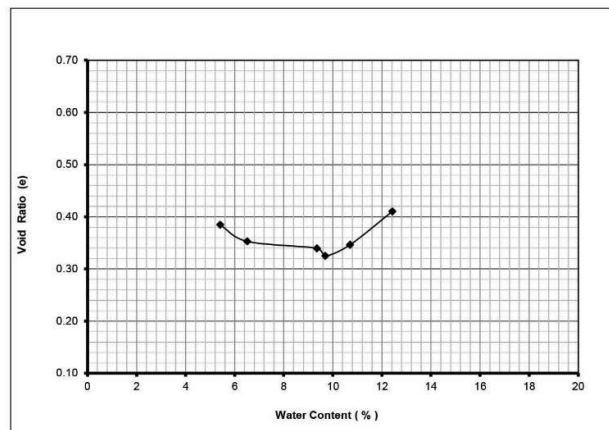
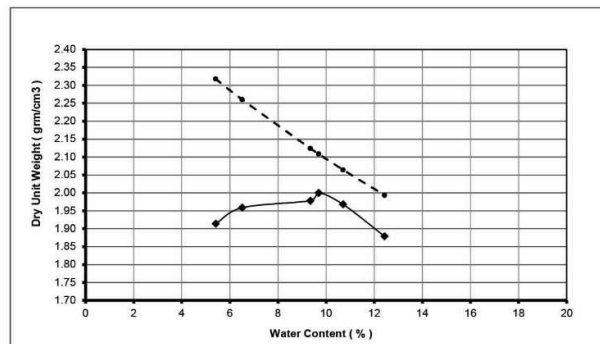
Durabilitas Clay Shale Hambalang Lapuk Distabilisasi Dengan Semen Portland dan Energi Pemdatan Berlebih

GEOINVES SOIL MECHANICS LABORATORY
COMPACTION TEST

PROJECT	ENERGY COMPACTION EFFECT OF HAMBALANG WEATHERED CLAY SHALE AND PC		
LOKASI	HAMBALANG, SENTUL, JAWA BARAT		
Samples code :	Disturbed -1	Date of test :	01 to 28 October 2021
Description	Weathered Grey Clay Shale with 5 % PC; 10 Blow/Layer	Tested by :	HAMID
Standard	ASTM D 1557 (SCMT Mod. Comp. Lab. Test)	Cheked by :	Ega

5% PC

No	Diameter Mould (cm)	Tinggi Mould (cm)	Berat Mould (gm)	Berat Tanah & Mould (gm)	Volume Mould (cm ³)	Berat Isi Tanah (gm)	Berat Cawan (gm)	Berat C & Tanah basah (gm)	Cawan & Tanah Kering (gm)	Kadar Air (%)	Berat Isi Kering (gm/cm ³)	Gs	
												yd	Void Ratio
1	3.08	6.41	208.6	304.9	47.73	2.017	4.42	19.04	18.29	5.407	1.914	2.32	0.38
2	3.08	6.41	208.6	308.19	47.73	2.086	4.28	19.17	18.26	6.509	1.959	2.26	0.35
3	3.08	6.41	208.6	311.85	47.73	2.163	5.19	19.23	18.03	9.346	1.978	2.12	0.34
4	3.08	6.41	208.6	313.32	47.73	2.194	4.15	19.55	18.19	9.687	2.000	2.11	0.32
5	3.08	6.41	208.6	312.6	47.73	2.179	4.3	18.68	17.29	10.701	1.968	2.06	0.35
6	3.08	6.41	208.6	309.44	47.73	2.113	4.21	19.23	17.57	12.425	1.879	1.99	0.41



Hasil Test

Parameter Pematatan	Nilai
Berat isi Kering max (γ_d_{max})	2,000 gr/cm ³
Kadar air Optimum (w_{opt})	9,687 %

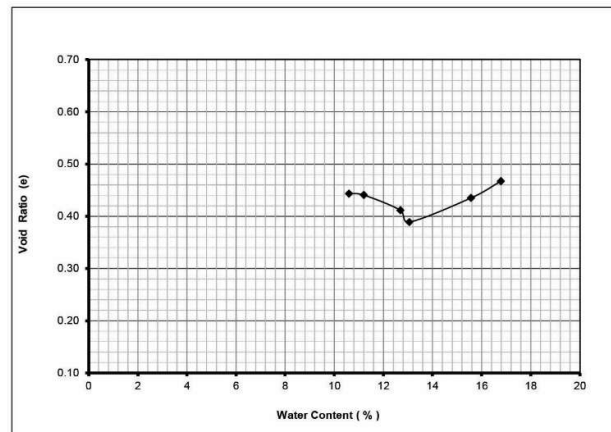
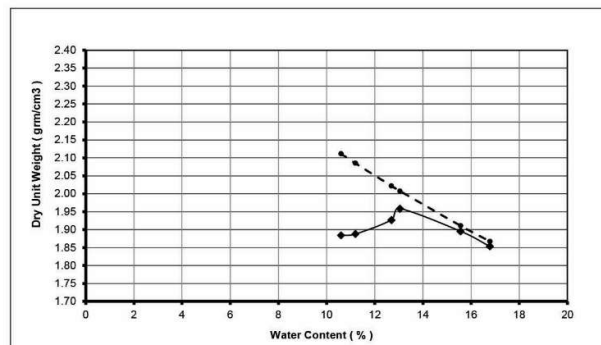
Durabilitas Clay Shale Hambalang Lapuk Distabilisasi Dengan Semen Portland dan Energi Pematatan Berlebih

GEOINVES SOIL MECHANICS LABORATORY
COMPACTION TEST

PROJECT	ENERGY COMPACTION EFFECT OF HAMBALANG WEATHERED CLAY SHALE AND PC		
LOKASI	HAMBALANG, SENTUL, JAWA BARAT		
Samples code :	Disturbed -1	Date of test :	01 to 28 October 2021
Description	Weathered Grey Clay Shale with 10 % PC; 10 Blow/Layer	Tested by :	HAMID
Standard	ASTM D 1557 (SMT Mod. Comp. Lab. Test)	Cheked by :	Ega

10 % PC

No	Diameter Mould (cm)	Tinggi Mould (cm)	Berat Mould (gm)	Berat Tanah & Mould (gm)	Volume Mould (cm ³)	Berat Isi Tanah (gm)	Berat Cawan (gm)	Berat C & Tanah basah (gm)	Cawan & Tanah Kering (gm)	Kadar Air (%)	Berat Isi Kering (gr/cm ³)	Gs	
												γ _d Sr=100%	Void Ratio e
1	3.08	6.41	208.6	308.08	47.73	2.084	5.52	18.46	17.22	10.598	1.884	2.11	0.44
2	3.08	6.41	208.6	308.81	47.73	2.099	5.37	19.57	18.14	11.198	1.888	2.08	0.44
3	3.08	6.41	208.6	312.25	47.73	2.171	4.25	19.79	18.04	12.690	1.927	2.02	0.41
4	3.08	6.41	208.6	314.29	47.73	2.214	4.75	18.18	16.63	13.047	1.959	2.01	0.39
5	3.08	6.41	208.6	313.16	47.73	2.190	5.08	19.56	17.61	15.563	1.895	1.91	0.43
6	3.08	6.41	208.6	311.94	47.73	2.165	4.46	19.77	17.57	16.781	1.854	1.87	0.47



Hasil Test

Parameter Pematatan	Nilai
Berat isi Kering max (γ _{d max})	1.927 gr/cm ³
Kadar air Optimum (w _{opt})	12.690 %

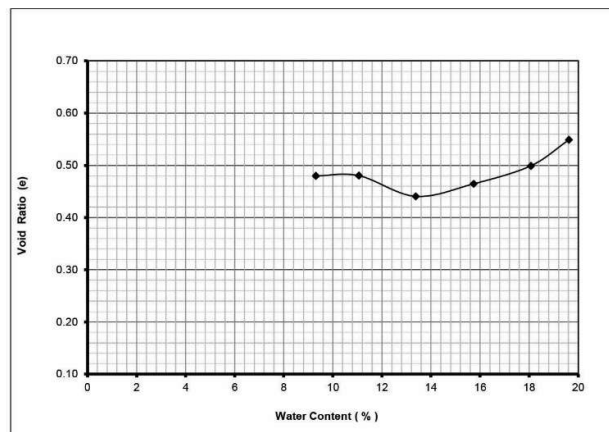
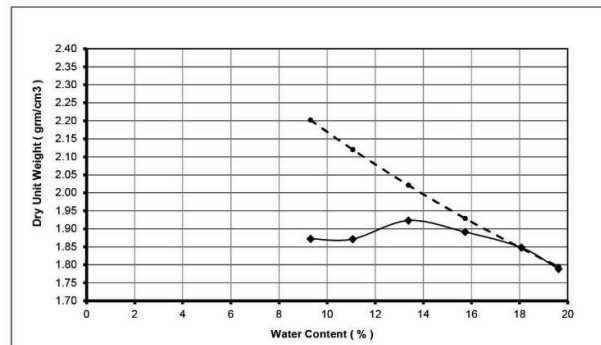
Durabilitas Clay Shale Hambalang Lapuk Distabilisasi Dengan Semen Portland dan Energi Pematatan Berlebih

GEOINVES SOIL MECHANICS LABORATORY
COMPACTION TEST

PROJECT	ENERGY COMPACTION EFFECT OF HAMBALANG WEATHERED CLAY SHALE AND PC		
LOKASI	HAMBALANG, SENTUL, JAWA BARAT		
Samples code :	Disturbed -1	Date of test :	01 to 28 October 2021
Description	Weathered Grey Clay Shale with 15 % PC, 10 Blow/Layer	Tested by :	HAMID
Standard	ASTM D 1557 (SCMT Mod. Comp. Lab. Test)	Cheked by :	Ega

15 % PC

No	Diameter Mould (cm)	Tinggi Mould (cm)	Berat Mould (gm)	Berat Tanah & Mould (gm)	Volume Mould (cm ³)	Berat Isi Tanah (gm)	Berat Cawan (gm)	Berat C & Tanah basah (gm)	Cawan & Tanah Kering (gm)	Kadar Air (%)	Berat Isi Kering (gm/cm ³)	Gs	
												γ_d Sr=100%	Void Ratio e
1	3.08	6.41	208.6	306.27	47.73	2.046	4.26	18.47	17.26	9.308	1.872	2.20	0.48
2	3.08	6.41	208.6	307.81	47.73	2.078	4.45	19.61	18.1	11.062	1.871	2.12	0.48
3	3.08	6.41	208.6	312.67	47.73	2.180	5.21	19.7	17.99	13.380	1.923	2.02	0.44
4	3.08	6.41	208.6	313.09	47.73	2.189	5.57	18.88	17.07	15.739	1.891	1.93	0.46
5	3.08	6.41	208.6	312.75	47.73	2.182	4.62	19.45	17.18	18.073	1.848	1.85	0.50
6	3.08	6.41	208.6	310.71	47.73	2.139	4.64	19.09	16.72	19.619	1.788	1.79	0.55



Hasil Test

Parameter Pematatan	Nilai
Berat isi Kering max ($\gamma_{d_{max}}$)	1.923 gr/cm ³
Kadar air Optimum (w_{opt})	13.380 %

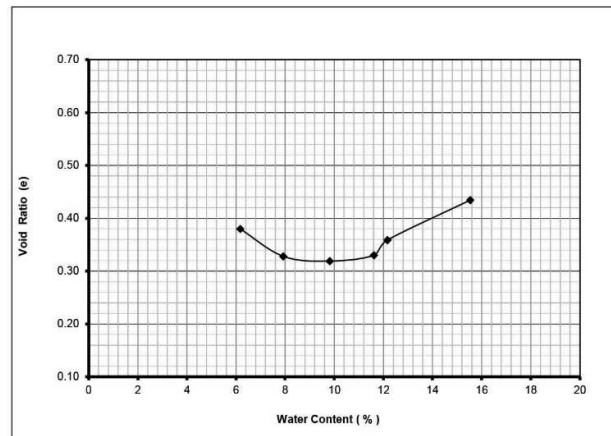
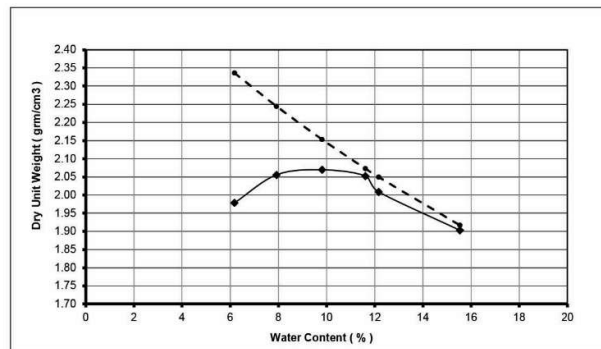
Durabilitas Clay Shale Hambalang Lapuk Distabilisasi Dengan Semen Portland dan Energi Pematatan Berlebih

GEOINVES SOIL MECHANICS LABORATORY
COMPACTION TEST

PROJECT	ENERGY COMPACTION EFFECT OF HAMBALANG WEATHERED CLAY SHALE AND PC		
LOKASI	HAMBALANG, SENTUL, JAWA BARAT		
Samples code :	Disturbed -1	Date of test :	01 to 28 October 2021
Description	Weathered Grey Clay Shale 0 % PC; 20 Blow/Layer	Tested by :	HAMID
Standard	ASTM D 1557 (SCMT Mod. Comp. Lab. Test)	Checked by :	Ega

0% PC

No	Diameter Mould (cm)	Tinggi Mould (cm)	Berat Mould (gm)	Berat Tanah & Mould (gm)	Volume Mould (cm ³)	Berat Isi Tanah (gm)	Berat Cawan (gm)	Berat C & Tanah basah (gm)	Cawan & Tanah Kering (gm)	Kadar Air (%)	Berat Isi Kering (gm/cm ³)	Gs	
												γ_d Sr=100%	Void Ratio
1	3.08	6.41	208.6	308.87	47.73	2.101	3	20.03	19.04	6.172	1.978	2.34	0.38
2	3.08	6.41	208.6	314.5	47.73	2.219	3.03	19.38	18.18	7.921	2.056	2.24	0.33
3	3.08	6.41	208.6	317.09	47.73	2.273	2.94	19.5	18.02	9.814	2.070	2.15	0.32
4	3.08	6.41	208.6	317.95	47.73	2.291	3	20.49	18.67	11.615	2.052	2.07	0.33
5	3.08	6.41	208.6	316.16	47.73	2.253	2.89	18.38	16.7	12.165	2.009	2.05	0.36
6	3.08	6.41	208.6	313.55	47.73	2.199	3.061	19.2	17.03	15.534	1.903	1.92	0.43



Hasil Test

Parameter Pematatan	Nilai
Berat isi Kering max ($\gamma_{d\ max}$)	2.070 gr/cm ³
Kadar air Optimum (w_{opt})	9.814 %

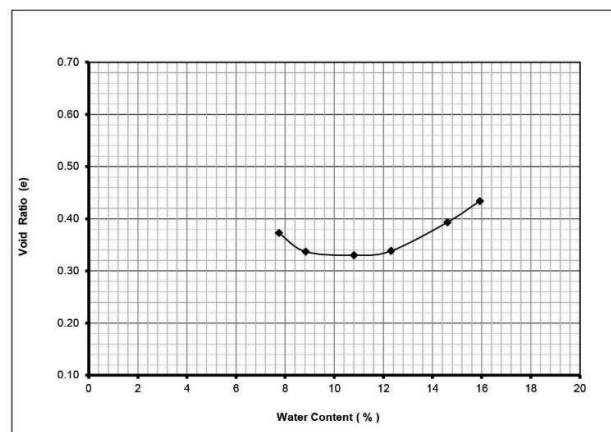
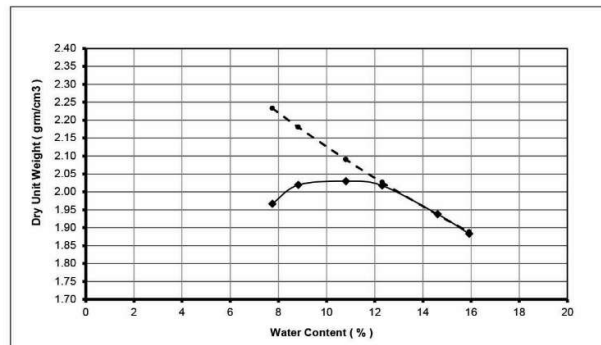
Durabilitas Clay Shale Hambalang Lapuk Distabilisasi Dengan Semen Portland dan Energi Pematatan Berlebih

GEOINVES SOIL MECHANICS LABORATORY
COMPACTION TEST

PROJECT	ENERGY COMPACTION EFFECT OF HAMBALANG WEATHERED CLAY SHALE AND PC		
LOKASI	HAMBALANG, SENTUL, JAWA BARAT		
Samples code :	Disturbed -1	Date of test :	01 to 28 October 2021
Description	Weathered Grey Clay Shale with 5 % PC; 20 Blow/Layer	Tested by :	HAMID
Standard	ASTM D 1557 (SCMT Mod. Comp. Lab. Test)	Cheked by :	Ega

5% PC

No	Diameter Mould (cm)	Tinggi Mould (cm)	Berat Mould (gm)	Berat Tanah & Mould (gm)	Volume Mould (cm ³)	Berat Isi Tanah (gm)	Berat Cawan (gm)	Berat C & Tanah basah (gm)	Cawan & Tanah Kering (gm)	Kadar Air (%)	Berat Isi Kering (grm/cm ³)	Gs	Void Ratio
												γ _d Sr=100%	
1	3.08	6.41	208.6	309.75	47.73	2.119	2.99	20.8	19.52	7.743	1.967	2.23	0.37
2	3.08	6.41	208.6	313.5	47.73	2.198	2.97	19.12	17.81	8.827	2.019	2.18	0.34
3	3.08	6.41	208.6	315.96	47.73	2.249	2.98	19.29	17.7	10.802	2.030	2.09	0.33
4	3.08	6.41	208.6	316.75	47.73	2.266	3.03	19.82	17.98	12.308	2.017	2.03	0.34
5	3.08	6.41	208.6	314.61	47.73	2.221	3.04	19.28	17.21	14.608	1.938	1.94	0.39
6	3.08	6.41	208.6	312.8	47.73	2.183	3.12	20.45	18.07	15.920	1.883	1.89	0.43



Hasil Test

Parameter Pematatan	Nilai
Berat isi Kering max (γ _d max)	2.017 gr/cm ³
Kadar air Optimum (w _{opt})	12.308 %

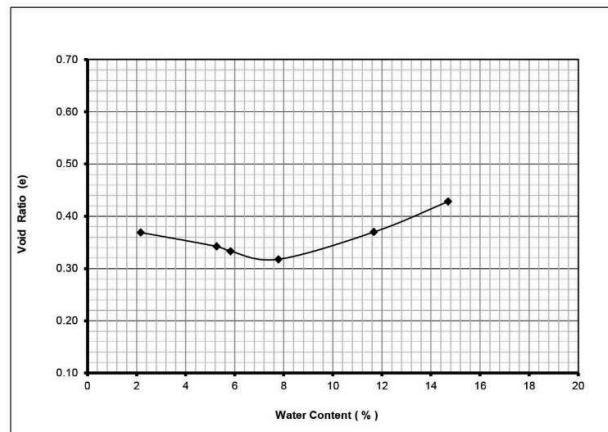
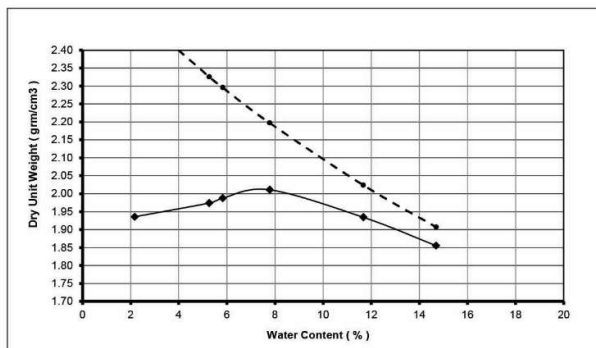
Durabilitas Clay Shale Hambalang Lapuk Distabilisasi Dengan Semen Portland dan Energi Pematatan Berlebih

GEOINVES SOIL MECHANICS LABORATORY
COMPACTION TEST

PROJECT	ENERGY COMPACTION EFFECT OF HAMBALANG WEATHERED CLAY SHALE AND PC		
LOKASI	HAMBALANG, SENTUL, JAWA BARAT		
Samples code :	Disturbed -1	Date of test :	01 to 28 October 2021
Description	Weathered Grey Clay Shale with 10 % PC; 20 Blow/Layer	Tested by :	HAMID
Standard	ASTM D 1557 (SCMT Mod. Comp. Lab. Test)	Checked by :	Ega

10 % PC

No	Diameter Mould (cm)	Tinggi Mould (cm)	Berat Mould (gm)	Berat Tanah & Mould (gm)	Volume Mould (cm ³)	Berat Isi Tanah (gm)	Berat Cawan (gm)	Berat C & Tanah basah (gm)	Cawan & Tanah Kering (gm)	Kadar Air (%)	Berat Isi Kering (gm/cm ³)	Gs yd Sr=100%	Void Ratio e
1	3.08	6.41	208.6	303	47.73	1.978	4.69	18.85	18.55	2.165	1.936	2.51	0.37
2	3.08	6.41	208.6	307.79	47.73	2.078	2.99	20.2	19.34	5.260	1.974	2.33	0.34
3	3.08	6.41	208.6	309.02	47.73	2.104	4.32	18.85	18.05	5.827	1.988	2.30	0.33
4	3.08	6.41	208.6	312.07	47.73	2.168	4.37	18.78	17.74	7.779	2.011	2.20	0.32
5	3.08	6.41	208.6	311.73	47.73	2.161	4.25	19.37	17.79	11.669	1.935	2.02	0.37
6	3.08	6.41	208.6	310.19	47.73	2.128	4.5	19.41	17.5	14.692	1.856	1.91	0.43



Hasil Test

Parameter Pemasatan	Nilai
Berat isi Kering max ($\gamma_{d \max}$)	1.988 gr/cm ³
Kadar air Optimum (w_{opt})	5.827 %

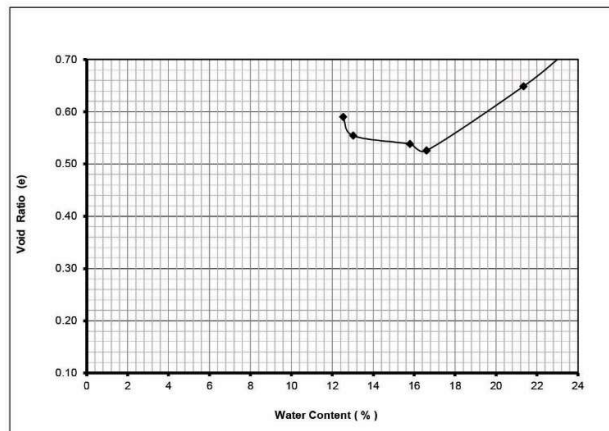
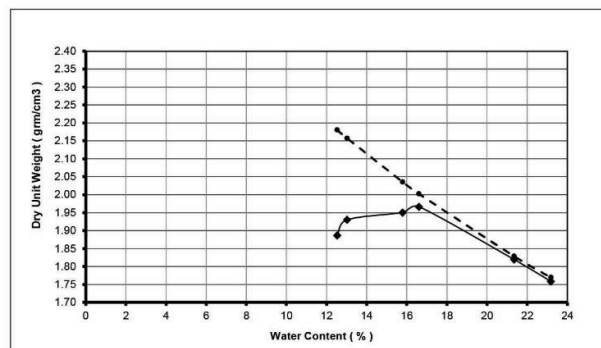
Durabilitas Clay Shale Hambalang Lapuk Distabilisasi Dengan Semen Portland dan Energi Pemasatan Berlebih

GEOINVES SOIL MECHANICS LABORATORY
COMPACTION TEST

PROJECT	ENERGY COMPACTION EFFECT OF HAMBALANG WEATHERED CLAY SHALE AND PC		
LOKASI	HAMBALANG, SENTUL, JAWA BARAT		
Samples code :	Disturbed -1	Date of test :	01 to 28 October 2021
Description	Weathered Grey Clay Shale with 15 % PC; 20 Blow/Layer	Tested by :	HAMID
Standard	ASTM D 1557 (SCMT Mod. Comp. Lab. Test)	Checked by :	Ega

15 % PC

No	Diameter Mould (cm)	Tinggi Mould (cm)	Berat Mould (gm)	Berat Tanah & Mould (gm)	Volume Mould (cm ³)	Berat Isi Tanah (gm)	Berat Cawan (gm)	Berat C & Tanah basah (gm)	Cawan & Tanah Kering (gm)	Kadar Air (%)	Berat Isi Kering (gm/cm ³)	Gs	Void Ratio
												γ _d Sr=100%	
1	3.08	6.41	208.6	309.93	47.73	2.123	4.67	19.67	18	12.528	1.886	2.18	0.59
2	3.08	6.41	208.6	312.73	47.73	2.181	5.07	20.7	18.9	13.015	1.930	2.16	0.55
3	3.08	6.41	208.6	316.4	47.73	2.258	5.37	19.45	17.53	15.789	1.950	2.04	0.54
4	3.08	6.41	208.6	318.04	47.73	2.293	4.26	19.43	17.27	16.603	1.966	2.00	0.53
5	3.08	6.41	208.6	314	47.73	2.208	4.44	19.68	17	21.338	1.820	1.83	0.65
6	3.08	6.41	208.6	312	47.73	2.166	4.67	20.4	17.44	23.179	1.759	1.77	0.71

**Hasil Test**

Parameter Pematatan	Nilai
Berat isi Kering max (γ _d max)	1.950 gr/cm ³
Kadar air Optimum (w _{opt})	15.789 %

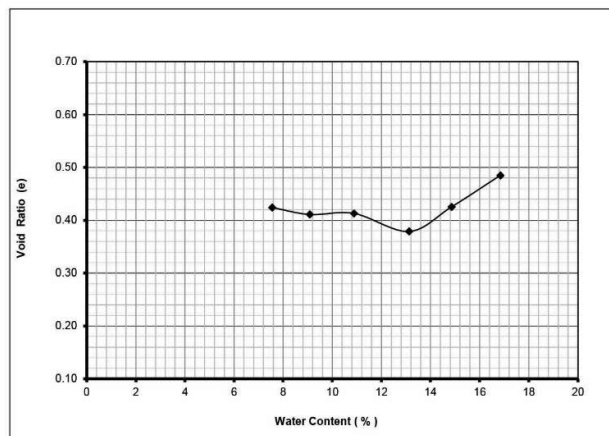
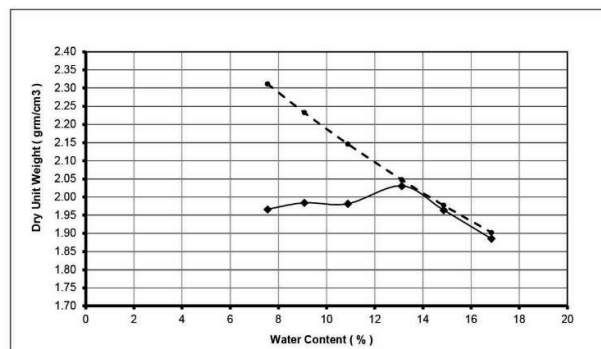
Durabilitas Clay Shale Hambalang Lapuk Distabilisasi Dengan Semen Portland dan Energi Pematatan Berlebih

GEOINVES SOIL MECHANICS LABORATORY
COMPACTION TEST

PROJECT	ENERGY COMPACTION EFFECT OF HAMBALANG WEATHERED CLAY SHALE AND PC		
LOKASI	HAMBALANG, SENTUL, JAWA BARAT		
Samples code :	Disturbed -1	Date of test :	01 November 2021
Description	Weathered Grey Clay Shale 0 % PC; 30 Blow/Layer	Tested by :	HAMID
Standard	ASTM D 1557 (SCMT Mod. Comp. Lab. Test)	Checked by :	Ega

0% PC

No	Diameter Mould (cm)	Tinggi Mould (cm)	Berat Mould (gm)	Berat Tanah & Mould (gm)	Volume Mould (cm ³)	Berat Isi Tanah (gm)	Berat Cawan (gm)	Berat C & Tanah basah (gm)	Cawan & Tanah Kering (gm)	Kadar Air (%)	Berat Isi Kering (gm/cm ³)	Gs	
												γ_d Sr=100%	Void Ratio
1	3.08	6.41	208.6	309.54	47.73	2.115	4.12	20.5	19.35	7.551	1.966	2.31	0.42
2	3.08	6.41	208.6	311.92	47.73	2.164	4.3	19.92	18.62	9.078	1.984	2.23	0.41
3	3.08	6.41	208.6	313.48	47.73	2.197	4.54	19.01	17.59	10.881	1.982	2.15	0.41
4	3.08	6.41	208.6	318.24	47.73	2.297	5.09	20	18.27	13.126	2.030	2.05	0.38
5	3.08	6.41	208.6	316.29	47.73	2.256	4.05	18.35	16.5	14.859	1.964	1.98	0.43
6	3.08	6.41	208.6	313.77	47.73	2.203	4.19	18.55	16.48	16.843	1.886	1.90	0.48

**Hasil Test**

Parameter Pematatan	Nilai
Berat isi Kering max (γ_d max)	2.030 gr/cm ³
Kadar air Optimum (w_{opt})	13.126 %

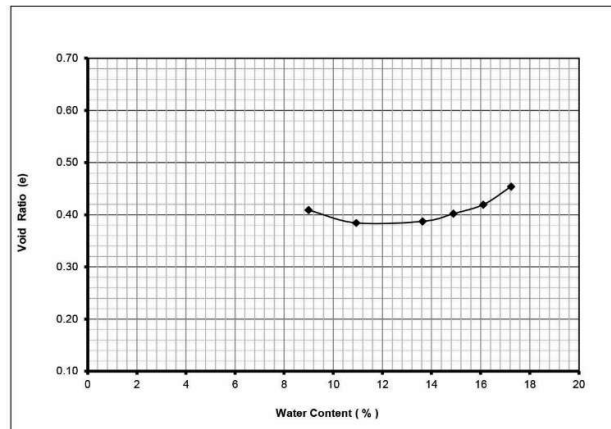
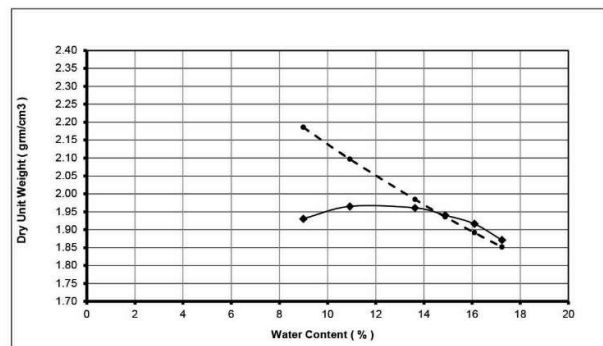
Durabilitas Clay Shale Hambalang Lapuk Distabilisasi Dengan Semen Portland dan Energi Pematatan Berlebih

GEOINVES SOIL MECHANICS LABORATORY
COMPACTION TEST

PROJECT	ENERGY COMPACTION EFFECT OF HAMBALANG WEATHERED CLAY SHALE AND PC		
LOKASI	HAMBALANG, SENTUL, JAWA BARAT		
Samples code :	Disturbed -1	Date of test :	01 November 2021
Description	Weathered Grey Clay Shale with 5 % PC; 30 Blow/Layer	Tested by :	HAMID
Standard	ASTM D 1557 (SCMT Mod. Comp. Lab. Test)	Checked by :	Ega

5% PC

No	Diameter Mould (cm)	Tinggi Mould (cm)	Berat Mould (gm)	Berat Tanah & Mould (gm)	Volume Mould (cm ³)	Berat Isi Tanah (gm)	Berat Cawan (gm)	Berat C & Tanah basah (gm)	Cawan & Tanah Kering (gm)	Kadar Air (%)	Berat Isi Kering (gm/cm ³)	Gs	
												yd Sr=100%	Void Ratio
1	3.08	6.41	208.6	309.04	47.73	2.104	2.94	21.97	20.4	8.992	1.931	2.19	0.41
2	3.08	6.41	208.6	312.64	47.73	2.180	3.48	21.55	19.77	10.927	1.965	2.10	0.38
3	3.08	6.41	208.6	314.95	47.73	2.228	5.48	22.07	20.08	13.630	1.961	1.98	0.39
4	3.08	6.41	208.6	315	47.73	2.229	4.28	22.11	19.8	14.884	1.940	1.94	0.40
5	3.08	6.41	208.6	314.8	47.73	2.225	4.41	20.2	18.01	16.103	1.916	1.89	0.42
6	3.08	6.41	208.6	313.3	47.73	2.193	4.57	22.32	19.71	17.239	1.871	1.85	0.45



Hasil Test

Parameter Pematatan	Nilai
Berat isi Kering max ($\gamma_{d\ max}$)	1.965 gr/cm ³
Kadar air Optimum (w_{opt})	10.927 %

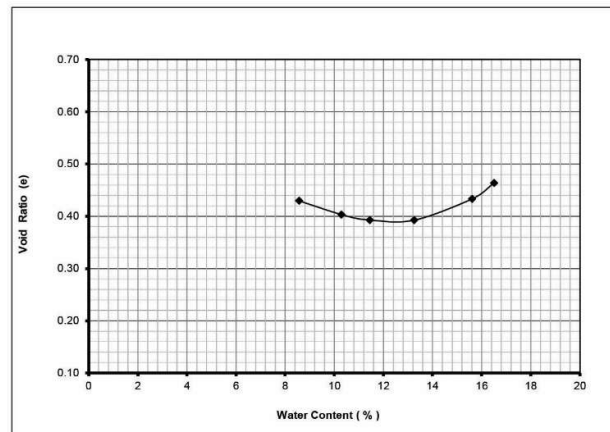
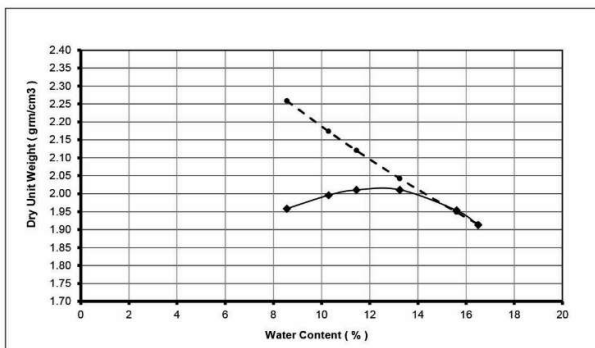
Durabilitas Clay Shale Hambalang Lapuk Distabilisasi Dengan Semen Portland dan Energi Pematatan Berlebih

GEOINVES SOIL MECHANICS LABORATORY
COMPACTION TEST

PROJECT	ENERGY COMPACTION EFFECT OF HAMBALANG WEATHERED CLAY SHALE AND PC		
LOKASI	HAMBALANG, SENTUL, JAWA BARAT		
Samples code :	Disturbed -1	Date of test :	01 November 2021
Description	Weathered Grey Clay Shale with 10 % PC; 30 Blow/Layer	Tested by :	HAMID
Standard	ASTM D 1557 (SCMT Mod. Comp. Lab. Test)	Checked by :	Ega

10 % PC

No	Diameter Mould (cm)	Tinggi Mould (cm)	Berat Mould (gm)	Berat Tanah & Mould (gm)	Volume Mould (cm ³)	Berat Isi Tanah (gm)	Berat Cawan (gm)	Berat C & Tanah basah (gm)	Cawan & Tanah Kering (gm)	Kadar Air (%)	Berat Isi Kering (gm/cm ³)	Gs	Void Ratio e
1	3.08	6.41	208.6	310.09	47.73	2.126	4.27	19.74	18.52	8.561	1.958	2.26	0.43
2	3.08	6.41	208.6	313.65	47.73	2.201	4.67	21.07	19.54	10.289	1.995	2.17	0.40
3	3.08	6.41	208.6	315.55	47.73	2.241	4.11	20.86	19.14	11.444	2.010	2.12	0.39
4	3.08	6.41	208.6	317.3	47.73	2.277	4.1	20.34	18.44	13.250	2.011	2.04	0.39
5	3.08	6.41	208.6	316.41	47.73	2.259	5.18	20.81	18.7	15.607	1.954	1.95	0.43
6	3.08	6.41	208.6	314.99	47.73	2.229	4.15	20.67	18.33	16.502	1.913	1.92	0.46

**Hasil Test**

Parameter Pemdatan	Nilai
Berat isi Kering max ($\gamma_{d\ max}$)	2.011 gr/cm ³
Kadar air Optimum (w_{opt})	13.250 %

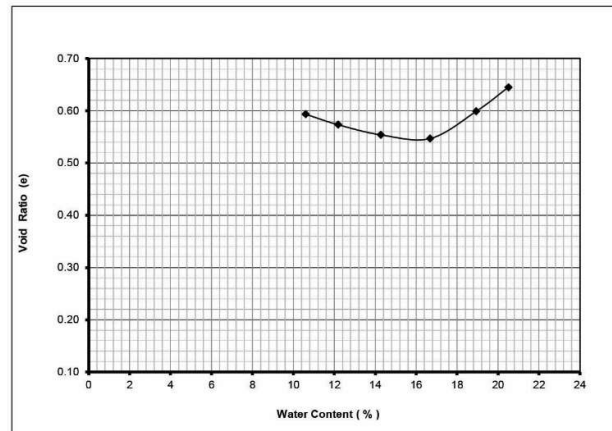
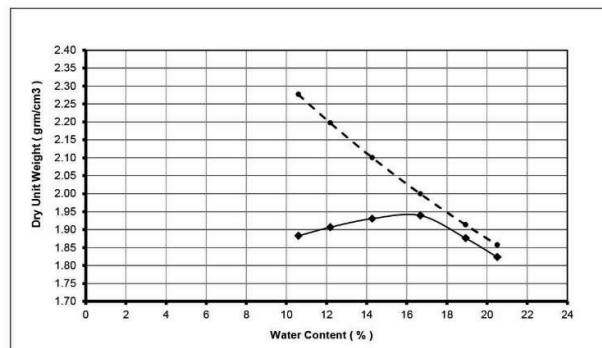
Durabilitas Clay Shale Hambalang Lapuk Distabilisasi Dengan Semen Portland dan Energi Pemdatan Berlebih

GEOINVES SOIL MECHANICS LABORATORY
COMPACTION TEST

PROJECT	ENERGY COMPACTION EFFECT OF HAMBALANG WEATHERED CLAY SHALE AND PC		
LOKASI	HAMBALANG, SENTUL, JAWA BARAT		
Samples code :	Disturbed -1	Date of test :	01 November 2021
Description	Weathered Grey Clay Shale with 15 % PC; 30 Blow/Layer	Tested by :	HAMID
Standard	ASTM D 1557 (SCMT Mod. Comp. Lab. Test)	Cheked by :	Ega

15 % PC

No	Diameter Mould (cm)	Tinggi Mould (cm)	Berat Mould (gm)	Berat Tanah & Mould (gm)	Volume Mould (cm ³)	Berat Isi Tanah (gm)	Berat Cawan (gm)	Berat C & Tanah basah (gm)	Cawan & Tanah Kering (gm)	Kadar Air (%)	Berat Isi Kering (gm/cm ³)	Gs	
												γ _d Sr=100%	Void Ratio
1	3.08	6.41	208.6	308	47.73	2.082	2.99	22.09	20.26	10.596	1.883	2.28	0.59
2	3.08	6.41	208.6	310.7	47.73	2.139	2.88	20.93	18.97	12.181	1.907	2.20	0.57
3	3.08	6.41	208.6	313.9	47.73	2.206	3.07	22.05	19.68	14.269	1.931	2.10	0.55
4	3.08	6.41	208.6	316.61	47.73	2.263	3.12	22.57	19.79	16.677	1.939	2.00	0.55
5	3.08	6.41	208.6	315.12	47.73	2.232	3.06	20.78	17.96	18.926	1.876	1.91	0.60
6	3.08	6.41	208.6	313.51	47.73	2.198	2.98	22.67	19.32	20.502	1.824	1.86	0.64

**Hasil Test**

Parameter Pemasatan	Nilai
Berat isi Kering max (γ _{d max})	1.939 gr/cm ³
Kadar air Optimum (w _{opt})	16.677 %

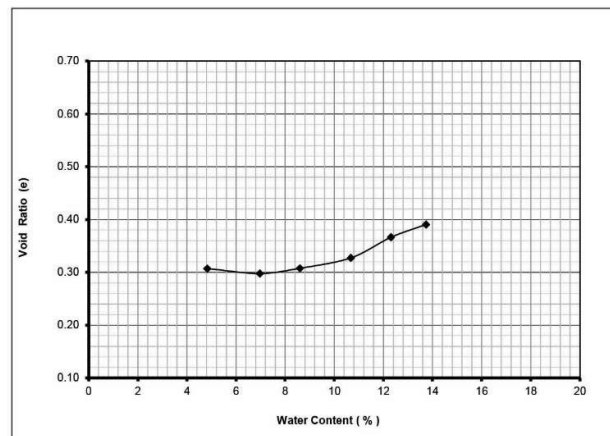
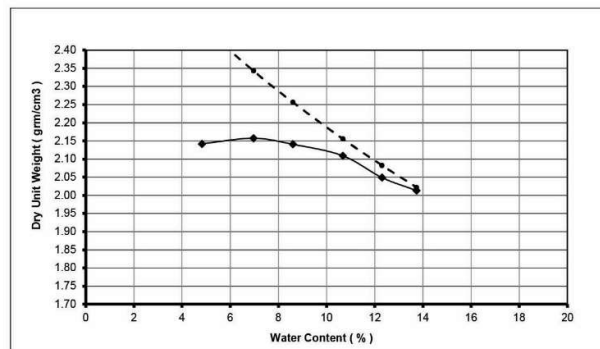
Durabilitas Clay Shale Hambalang Lapuk Distabilisasi Dengan Semen Portland dan Energi Pemasatan Berlebih

GEOINVES SOIL MECHANICS LABORATORY
COMPACTION TEST

PROJECT	ENERGY COMPACTION EFFECT OF HAMBALANG WEATHERED CLAY SHALE AND PC		
LOKASI	HAMBALANG, SENTUL, JAWA BARAT		
Samples code :	Disturbed -1	Date of test :	01 November 2021
Description	Weathered Grey Clay Shale 0 % PC; 30 Blow/Layer+ Pressu	Tested by :	HAMID
Standard	ASTM D 1557 (SCMT Mod. Comp. Lab. Test)	Choked by :	Ega

0% PC

No	Diameter Mould (cm)	Tinggi Mould (cm)	Berat Mould (gm)	Berat Tanah & Mould (gm)	Volume Mould (cm ³)	Berat Isi Tanah (gm)	Berat Cawan (gm)	Berat C & Tanah basah (gm)	Cawan & Tanah Kering (gm)	Kadar Air (%)	Berat Isi Kering (gm/cm ³)	Gs	
												γ_d Sr=100%	Void Ratio e
1	3.08	6.41	208.6	315.79	47.73	2.246	4.14	21.08	20.30	4.827	2.142	2.47	0.31
2	3.08	6.41	208.6	318.75	47.73	2.308	3.53	19.81	18.75	6.965	2.157	2.34	0.30
3	3.08	6.41	208.6	319.58	47.73	2.325	4.58	20.24	19.00	8.599	2.141	2.26	0.31
4	3.08	6.41	208.6	320.04	47.73	2.335	4.22	19.88	18.37	10.671	2.109	2.16	0.33
5	3.08	6.41	208.6	318.44	47.73	2.301	4.43	18.85	17.27	12.305	2.049	2.08	0.37
6	3.08	6.41	208.6	317.91	47.73	2.290	4.23	21.37	19.30	13.736	2.013	2.02	0.39



Hasil Test

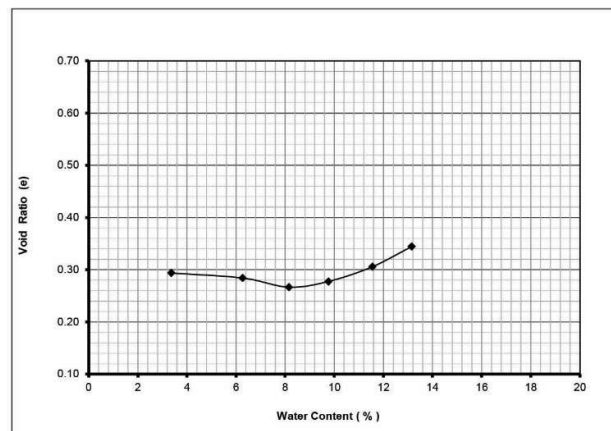
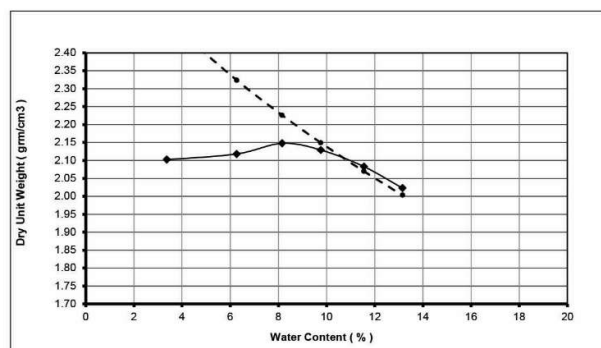
Parameter Pematatan	Nilai
Berat isi Kering max (γ_d max)	2.109 gr/cm ³
Kadar air Optimum (w_{opt})	10.671 %

Durabilitas Clay Shale Hambalang Lapuk Distabilisasi Dengan Semen Portland dan Energi Pematatan Berlebih

GEOINVES SOIL MECHANICS LABORATORY
COMPACTION TEST

PROJECT	ENERGY COMPACTION EFFECT OF HAMBALANG WEATHERED CLAY SHALE AND PC		
LOKASI	HAMBALANG, SENTUL, JAWA BARAT		
Samples code :	Disturbed -1	Date of test :	01 November 2021
Description	Weathered Grey Clay Shale with 5 % PC, 30 Blow/Layer	Tested by :	HAMID
Standard	ASTM D 1557 (SCMT Mod. Comp. Lab. Test)	Cheked by :	Ega

No	Diameter Mould (cm)	Tinggi Mould (cm)	Berat Mould (gm)	Berat Tanah & Mould (gm)	Volume Mould (cm ³)	Berat Isi Tanah (gm)	Berat Cawan (gm)	Berat C & Tanah basah (gm)	Cawan & Tanah Kering (gm)	Kadar Air (%)	Berat Isi Kering (gm/cm ³)	5% PC	
												Gs	Void Ratio
1	3.08	6.41	208.6	312.33	47.73	2.173	4.84	19.91	19.42	3.361	2.102	2.49	0.29
2	3.08	6.41	208.6	316.03	47.73	2.251	4.47	20.58	19.63	6.266	2.118	2.32	0.28
3	3.08	6.41	208.6	319.47	47.73	2.323	4.3	20.49	19.27	8.150	2.148	2.23	0.27
4	3.08	6.41	208.6	320.16	47.73	2.337	5.01	20.53	19.15	9.760	2.129	2.15	0.28
5	3.08	6.41	208.6	319.51	47.73	2.323	3.42	18.1	16.58	11.550	2.083	2.07	0.31
6	3.08	6.41	208.6	317.87	47.73	2.289	6.03	19.54	17.97	13.149	2.023	2.00	0.34



Hasil Test

Parameter Pematatan	Nilai
Berat isi Kering max ($\gamma_{d\ max}$)	2.118 gr/cm ³
Kadar air Optimum (w_{opt})	6.266 %

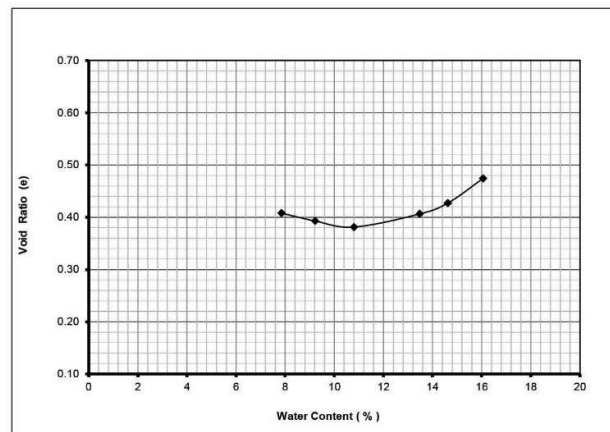
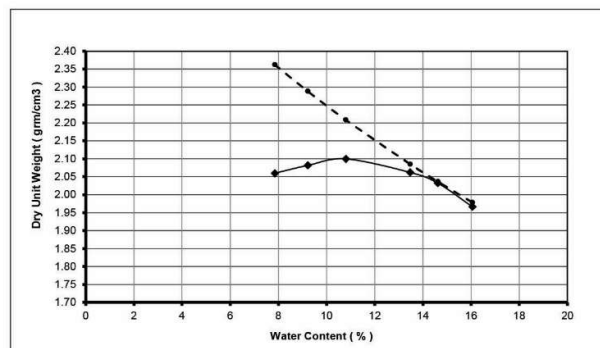
Durabilitas Clay Shale Hambalang Lapuk Distabilisasi Dengan Semen Portland dan Energi Pematatan Berlebih

GEOINVES SOIL MECHANICS LABORATORY
COMPACTION TEST

PROJECT	ENERGY COMPACTION EFFECT OF HAMBALANG WEATHERED CLAY SHALE AND PC		
LOKASI	HAMBALANG, SENTUL, JAWA BARAT		
Samples code :	Disturbed -1	Date of test :	01 November 2021
Description	Weathered Grey Clay Shale with 10 % PC; 30 Blow/Layer	Tested by :	HAMID
Standard	ASTM D 1557 (SCMT Mod. Comp. Lab. Test)	Cheked by :	Ega

10 % PC

No	Diameter Mould (cm)	Tinggi Mould (cm)	Berat Mould (gm)	Berat Tanah & Mould (gm)	Volume Mould (cm ³)	Berat Isi Tanah (gm)	Berat Cawan (gm)	Berat C & Tanah basah (gm)	Cawan & Tanah Kering (gm)	Kadar Air (%)	Berat Isi Kering (gm/cm ³)	Gs	
												γ _d Sr=100%	Void Ratio
1	3.08	6.41	208.6	314.63	47.73	2.221	3.02	21.43	20.09	7.850	2.060	2.36	0.41
2	3.08	6.41	208.6	317.14	47.73	2.274	4.17	19.45	18.16	9.221	2.082	2.29	0.39
3	3.08	6.41	208.6	319.65	47.73	2.326	4	18.98	17.52	10.799	2.100	2.21	0.38
4	3.08	6.41	208.6	320.3	47.73	2.340	5.58	21.33	19.46	13.473	2.062	2.09	0.41
5	3.08	6.41	208.6	319.8	47.73	2.330	4.7	19.99	18.04	14.618	2.032	2.04	0.43
6	3.08	6.41	208.6	317.56	47.73	2.283	5.96	20.63	18.6	16.060	1.967	1.98	0.47



Hasil Test

Parameter Pematatan	Nilai
Berat isi Kering max (γ _d max)	2.062 gr/cm ³
Kadar air Optimum (w _{opt})	13.473 %

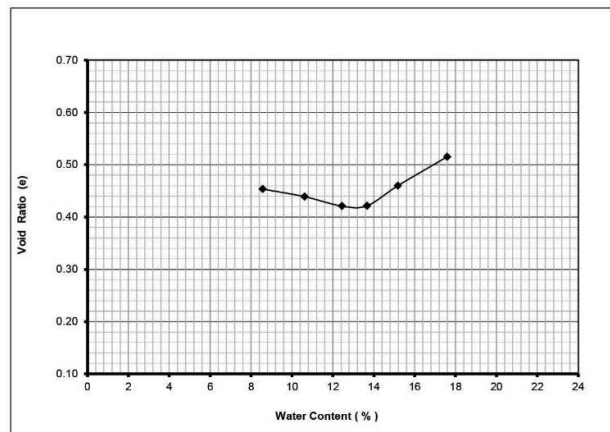
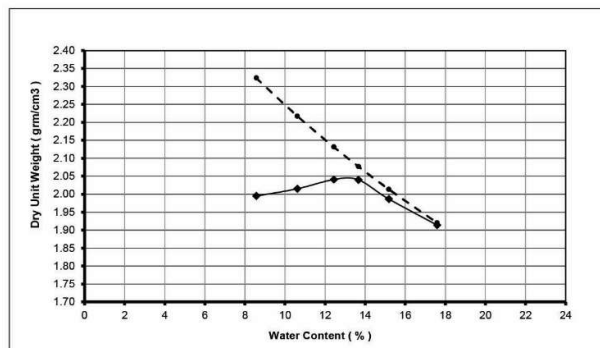
Durabilitas Clay Shale Hambalang Lapuk Distabilisasi Dengan Semen Portland dan Energi Pematatan Berlebih

GEOINVES SOIL MECHANICS LABORATORY
COMPACTION TEST

PROJECT	ENERGY COMPACTION EFFECT OF HAMBALANG WEATHERED CLAY SHALE AND PC		
LOKASI	HAMBALANG, SENTUL, JAWA BARAT		
Samples code :	Disturbed -1	Date of test :	01 November 2021
Description	Weathered Grey Clay Shale with 15 % PC; 30 Blow/Layer	Tested by :	HAMID
Standard	ASTM D 1557 (SCMT Mod. Comp. Lab. Test)	Cheked by :	Ega

15 % PC

No	Diameter Mould (cm)	Tinggi Mould (cm)	Berat Mould (gm)	Berat Tanah & Mould (gm)	Volume Mould (cm ³)	Berat Isi Tanah (gm)	Berat Cawan (gm)	Berat C & Tanah basah (gm)	Cawan & Tanah Kering (gm)	Kadar Air (%)	Berat Isi Kering (gm/cm ³)	Gs yd Sr=100%	Void Ratio
1	3.08	6.41	208.6	312	47.73	2.166	5.9	20.73	19.56	8.565	1.995	2.32	0.45
2	3.08	6.41	208.6	315	47.73	2.229	3.43	18.85	17.37	10.617	2.015	2.22	0.44
3	3.08	6.41	208.6	318.13	47.73	2.295	3.97	18.53	16.92	12.432	2.041	2.13	0.42
4	3.08	6.41	208.6	319.28	47.73	2.319	4.31	19.62	17.78	13.660	2.040	2.08	0.42
5	3.08	6.41	208.6	317.82	47.73	2.288	6.16	20.12	18.28	15.182	1.987	2.01	0.46
6	3.08	6.41	208.6	316.03	47.73	2.251	4.15	19.93	17.57	17.586	1.914	1.92	0.52



Hasil Test

Parameter Pemadatan	Nilai
Berat isi Kering max ($\gamma_{d \max}$)	2.040 gr/cm ³
Kadar air Optimum (w_{opt})	13.660 %

Durabilitas Clay Shale Hambalang Lapuk Distabilisasi Dengan Semen Portland dan Energi Pemadatan Berlebih

Lampiran D

Rangkuman Data Hasil Analisis

Slake Durability Index



GEOINVES SOIL MECHANICS LABORATORY SLAKE DURABILITY INDEX TEST

PROJECT	Research : ENERGY COMPACTION EFFECT OF HAMBALANG WEATHERED CLAY SHALE AND PC		
LOCATION	Hambalang, Sentul , Jawa Barat		
SAMPLE NO.	0% PC & 10B/L	DATE	22 Oktober 2021
DEPTH	RECOMPACTED	TESTED BY	Ega- Hamid

I. PROCEDURE

		Wn	Wn-1	Wn-2	Wn-3	Wn-4	Wn-5	Wn-6
			4.08	4.41	5.72	10.88	13.22	13.31
		γ_d (t/m^3)	1.896	1.934	2.018	2.005	1.941	1.926
1	Weight of sample	W _o	93.90 gr	96.12 gr	101.57 gr	106.72 gr	104.71 gr	103.93 gr
2	Weight of oven drum, Cycle-1	W _d	1161.40 gr	1148.80 gr	1161.40 gr	1148.80 gr	1161.40 gr	1148.80 gr
3	Weight of oven dried sample + Drum before rotated (1 st Cycle)	W ₁	1255.30 gr	1244.92 gr	1262.97 gr	1255.52 gr	1266.11 gr	1252.73 gr
4	Weight of oven dried sample + Drum after rotated (1 st Cycle)	W ₂	1161.40 gr	1148.80 gr	1172.00 gr	1176.47 gr	1203.46 gr	1181.40 gr
5	Weight of oven dried sample + Drum before rotated (1 st Cycle)	W _d	1161.40 gr	1148.80 gr	1161.40 gr	1161.40 gr	1148.80 gr	1161.40 gr
6	Weight of oven dried sample + Drum before rotated (2 nd Cycle)	W ₃	1161.40 gr	1148.80 gr	1161.40 gr	1176.46 gr	1203.46 gr	1181.95 gr
7	Weight of oven dried sample + Drum after rotated (2 nd Cycle)	W ₄ =	1161.40 gr	1148.80 gr	1161.40 gr	1162.05 gr	1151.17 gr	1161.40 gr
8	Weight of oven dried sample + Drum before rotated (3 rd Cycle)	W ₅ =						
9	Weight of oven dried sample + Drum after rotated (3 rd Cycle)	W ₆ =						

II. CALCULATION

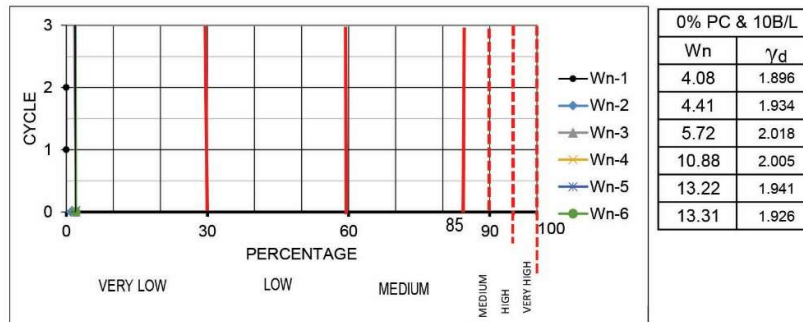
- Slake Durability Index, 1st cycle =
- Slake Durability Index, 2nd cycle =
- Slake Durability Index, 3rd cycle =

Cycle	Wn-1	Wn-2	Wn-3	Wn-4	Wn-5	Wn-6
	4.08	4.41	5.72	10.88	13.22	13.31
1	0.0000 %	0.0000 %	10.4362 %	25.9277 %	40.168 %	31.3673 %
2	0.00 %	0.00 %	0.00 %	0.01 %	0.02 %	0.00 %
	NP	NP	NP	NP	NP	NP

III. REMARK

VERY LOW

IV. GRAPHIQ



Durabilitas Clay Shale Hambalang Lapuk Distabilisasi Dengan Semen Portland dan Energi Pemadatan Berlebih

GEOINVES SOIL MECHANICS LABORATORY SLAKE DURABILITY INDEX TEST

PROJECT	Research : ENERGY COMPACTION EFFECT OF HAMBALANG WEATHERED CLAY SHALE AND PC		
LOCATION	Hambalang, Sentul , Jawa Barat		
SAMPLE NO.	5% PC & 10B/L	DATE	22 Oktober 2021
DEPTH	RECOMPACTED	TESTED BY	Ega- Hamid

I. PROCEDURE

	Wn	Wn-1	Wn-2	Wn-3	Wn-4	Wn-5	Wn-6	
		5.41	6.51	9.35	9.69	10.70	12.43	
	γ_d (t/m ³)	1.914	1.959	1.978	2.000	1.968	1.879	
1	Weight of sample	W _o	96.13 gr	99.44 gr	103.10 gr	104.60 gr	103.79 gr	100.69 gr
2	Weight of oven drum, Cycle-1	W _d	1161.40 gr	1148.80 gr	1161.40 gr	1148.80 gr	1161.40 gr	1148.80 gr
3	Weight of oven dried sample + Drum before rotated (1 st Cycle)	W ₁	1257.53 gr	1248.24 gr	1264.50 gr	1253.40 gr	1265.19 gr	1249.49 gr
4	Weight of oven dried sample + Drum after rotated (1 st Cycle)	W ₂	1222.13 gr	1216.73 gr	1227.18 gr	1191.77 gr	1214.60 gr	1185.56 gr
5	Weight of oven dried sample + Drum before rotated (1 st Cycle)	W _d	1148.80 gr	1161.40 gr	1148.80 gr	1161.40 gr	1148.80 gr	1161.40 gr
6	Weight of oven dried sample + Drum before rotated (2 nd Cycle)	W ₃	1222.13 gr	1216.73 gr	1227.18 gr	1191.77 gr	1214.60 gr	1185.56 gr
7	Weight of oven dried sample + Drum after rotated (2 nd Cycle)	W ₄	1157.31 gr	1202.19 gr	1187.20 gr	1181.94 gr	1170.95 gr	1170.53 gr
8	Weight of oven dried sample + Drum before rotated (3 rd Cycle)	W ₅						
9	Weight of oven dried sample + Drum after rotated (3 rd Cycle)	W ₆						

II. CALCULATION

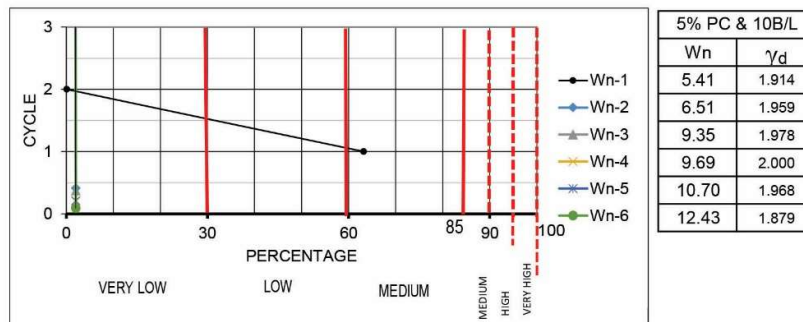
- Slake Durability Index, 1st cycle =
- Slake Durability Index, 2nd cycle =
- Slake Durability Index, 3rd cycle =

Cycle	Wn-1	Wn-2	Wn-3	Wn-4	Wn-5	Wn-6
	5.41	6.51	9.35	9.69	10.70	12.43
1	63.1749 %	68.3126 %	63.8021 %	41.0803 %	51.257 %	36.5081 %
2	0.09 %	0.41 %	0.37 %	0.20 %	0.21 %	0.09 %
	NP	NP	NP	NP	NP	NP

III. REMARK

VERY LOW

IV. GRAPHIQ



Durabilitas Clay Shale Hambalang Lapuk Distabilisasi Dengan Semen Portland dan Energi Pemasatan Berlebih

GEOINVES SOIL MECHANICS LABORATORY
SLAKE DURABILITY INDEX TEST

PROJECT	Research : ENERGY COMPACTION EFFECT OF HAMBALANG WEATHERED CLAY SHALE AND PC		
LOCATION	Hambalang, Sentul , Jawa Barat		
SAMPLE NO.	10 % PC & 10B/L	DATE	25 Oktober 2021
DEPTH	RECOMPACTED	TESTED BY	Ega- Hamid

I. PROCEDURE

	Wn	Wn-1	Wn-2	Wn-3	Wn-4	Wn-5	Wn-6	
		10.60	11.20	12.69	13.05	15.56	16.78	
	γ_d (t/m ³)	1.884	1.888	1.927	1.959	1.895	1.854	
1	Weight of sample	Wo	99.33 gr	100.11 gr	103.34 gr	105.45 gr	104.26 gr	103.08 gr
2	Weight of oven drum, Cycle-1	Wd	1161.40 gr	1148.80 gr	1161.40 gr	1148.80 gr	1161.40 gr	1148.80 gr
3	Weight of oven dried sample + Drum before rotated (1 st Cycle)	W1	1260.73 gr	1248.91 gr	1264.74 gr	1254.25 gr	1265.66 gr	1251.88 gr
4	Weight of oven dried sample + Drum after rotated (1 st Cycle)	W2	1248.35 gr	1234.12 gr	1250.43 gr	1237.47 gr	1242.91 gr	1225.18 gr
5	Weight of oven dried sample + Drum before rotated (1 st Cycle)	Wd	1161.40 gr	1148.80 gr	1161.40 gr	1148.80 gr	1161.40 gr	1148.80 gr
6	Weight of oven dried sample + Drum before rotated (2 nd Cycle)	W3	1248.35 gr	1234.12 gr	1250.43 gr	1237.47 gr	1242.91 gr	1225.18 gr
7	Weight of oven dried sample + Drum after rotated (2 nd Cycle)	W4 =	1232.95 gr	1220.77 gr	1236.21 gr	1223.35 gr	1225.49 gr	1208.14 gr
8	Weight of oven dried sample + Drum before rotated (3 rd Cycle)	W5 =						
9	Weight of oven dried sample + Drum after rotated (3 rd Cycle)	W6 =						

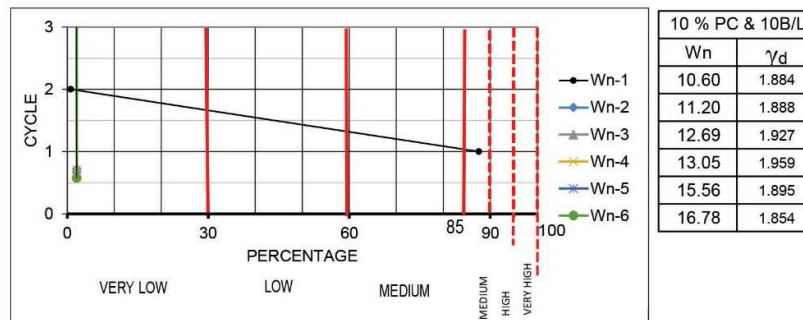
II. CALCULATION

	Cycle	Wn-1	Wn-2	Wn-3	Wn-4	Wn-5	Wn-6	
		10.60	11.20	12.69	13.05	15.56	16.78	
1.	Slake Durability Index, 1 st cycle	=	87.5365 %	85.2263 %	86.1525 %	84.0872 %	78.180 %	74.0978 %
2.	Slake Durability Index, 2 nd cycle	=	0.72 %	0.72 %	0.72 %	0.71 %	0.61 %	0.58 %
3.	Slake Durability Index, 3 rd cycle	=	NP	NP	NP	NP	NP	NP

III. REMARK

VERY LOW

IV. GRAPHIQ



Durabilitas Clay Shale Hambalang Lapuk Distabilisasi Dengan Semen Portland dan Energi Pematatan Berlebih

GEOINVES SOIL MECHANICS LABORATORY
SLAKE DURABILITY INDEX TEST

PROJECT	Research : ENERGY COMPACTION EFFECT OF HAMBALANG WEATHERED CLAY SHALE AND PC		
LOCATION	Hambalang, Sentul , Jawa Barat		
SAMPLE NO.	15 % PC & 10B/L	DATE	25 Oktober 2021
DEPTH	RECOMPACTED	TESTED BY	Ega- Hamid

I. PROCEDURE

	Wn	Wn-1	Wn-2	Wn-3	Wn-4	Wn-5	Wn-6
		9.31	11.06	13.38	15.74	18.07	19.62
	γ_d (t/m ³)	1.872	1.871	1.923	1.891	1.848	1.788
1 Weight of sample	Wo	97.17 gr	98.82 gr	103.64 gr	104.15 gr	103.76 gr	101.81 gr
2 Weight of oven drum, Cycle-1	Wd	1161.40 gr	1148.80 gr	1161.40 gr	1148.80 gr	1161.40 gr	1148.80 gr
3 Weight of oven dried sample + Drum before rotated (1 st Cycle)	W1	1258.52 gr	1247.62 gr	1265.51 gr	1252.95 gr	1265.16 gr	1250.61 gr
4 Weight of oven dried sample + Drum after rotated (1 st Cycle)	W2	1250.80 gr	1236.41 gr	1256.48 gr	1238.74 gr	1243.89 gr	1224.10 gr
5 Weight of oven dried sample + Drum before rotated (1 st Cycle)	Wd	1161.40 gr	1148.80 gr	1161.40 gr	1148.80 gr	1161.40 gr	1148.80 gr
6 Weight of oven dried sample + Drum before rotated (2 nd Cycle)	W3	1250.80 gr	1236.41 gr	1256.48 gr	1238.74 gr	1243.89 gr	1224.10 gr
7 Weight of oven dried sample + Drum after rotated (2 nd Cycle)	W4 =	1240.12 gr	1222.54 gr	1236.71 gr	1231.60 gr	1227.38 gr	1205.70 gr
8 Weight of oven dried sample + Drum before rotated (3 rd Cycle)	W5 =						
9 Weight of oven dried sample + Drum after rotated (3 rd Cycle)	W6 =						

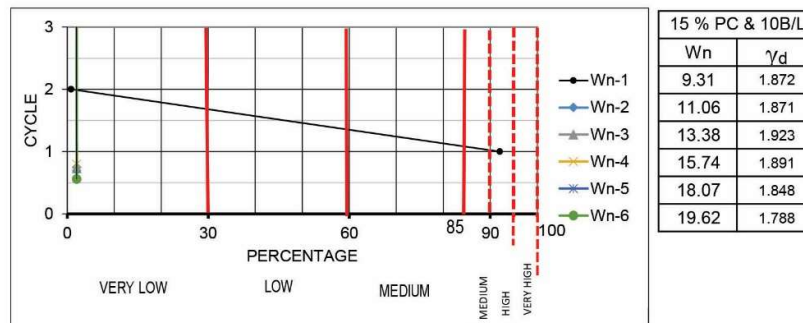
II. CALCULATION

	Cycle	Wn-1	Wn-2	Wn-3	Wn-4	Wn-5	Wn-6
		9.31	11.06	13.38	15.74	18.07	19.62
1. Slake Durability Index, 1 st cycle	1	92.0037 %	88.6561 %	91.7406 %	86.3562 %	79.501 %	73.9613 %
2. Slake Durability Index, 2 nd cycle	2	0.81 %	0.75 %	0.73 %	0.80 %	0.64 %	0.56 %
3. Slake Durability Index, 3 rd cycle		NP	NP	NP	NP	NP	NP

III. REMARK

VERY LOW

IV. GRAPHIQ



Durabilitas Clay Shale Hambalang Lapuk Distabilisasi Dengan Semen Portland dan Energi Pemasatan Berlebih

GEOINVES SOIL MECHANICS LABORATORY
SLAKE DURABILITY INDEX TEST

PROJECT	Research : ENERGY COMPACTION EFFECT OF HAMBALANG WEATHERED CLAY SHALE AND PC		
LOCATION	Hambalang, Sentul , Jawa Barat		
SAMPLE NO.	0% PC & 20 B/L	DATE	26 Oktober 2021
DEPTH	RECOMPACTED	TESTED BY	Ega- Hamid

I. PROCEDURE

	Wn	Wn-1	Wn-2	Wn-3	Wn-4	Wn-5	Wn-6	
		6.17	7.92	9.81	11.61	12.17	15.53	
	γ_d (t/m ³)	1.978	2.056	2.068	2.052	2.009	1.903	
1	Weight of sample	Wo	100.17 gr	105.74 gr	108.75 gr	109.24 gr	107.35 gr	104.69 gr
2	Weight of oven drum, Cycle-1	Wd	1161.40 gr	1148.80 gr	1161.40 gr	1148.80 gr	1161.40 gr	1148.80 gr
3	Weight of oven dried sample + Drum before rotated (1 st Cycle)	W1	1261.59 gr	1254.54 gr	1263.75 gr	1258.04 gr	1268.75 gr	1253.49 gr
4	Weight of oven dried sample + Drum after rotated (1 st Cycle)	W2	1161.40 gr	1154.54 gr	1198.74 gr	1176.47 gr	1214.43 gr	1193.37 gr
5	Weight of oven dried sample + Drum before rotated (1 st Cycle)	Wd	1161.40 gr	1148.80 gr	1161.40 gr	1148.80 gr	1161.40 gr	1148.80 gr
6	Weight of oven dried sample + Drum before rotated (2 nd Cycle)	W3	1161.40 gr	1154.54 gr	1198.74 gr	1176.47 gr	1214.43 gr	1193.97 gr
7	Weight of oven dried sample + Drum after rotated (2 nd Cycle)	W4 =	1161.40 gr	1154.54 gr	1161.40 gr	1162.05 gr	1165.36 gr	1152.36 gr
8	Weight of oven dried sample + Drum before rotated (3 rd Cycle)	W5 =						
9	Weight of oven dried sample + Drum after rotated (3 rd Cycle)	W6 =						

II. CALCULATION

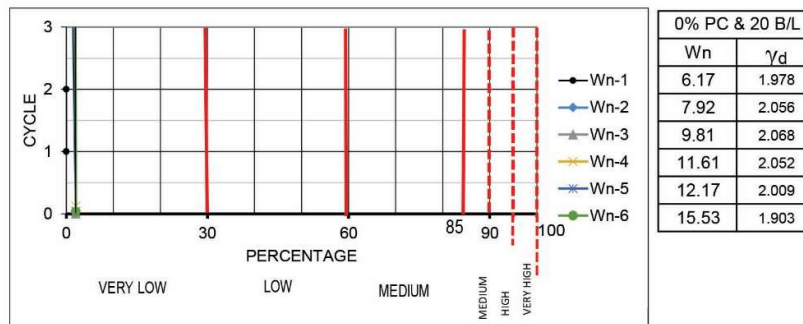
- Slake Durability Index, 1st cycle =
- Slake Durability Index, 2nd cycle =
- Slake Durability Index, 3rd cycle =

Cycle	Wn-1	Wn-2	Wn-3	Wn-4	Wn-5	Wn-6
	6.17	7.92	9.81	11.61	12.17	15.53
1	0.0000 %	5.4284 %	34.3356 %	25.3295 %	49.399 %	42.5733 %
2	0.00 %	0.05 %	0.00 %	0.12 %	0.04 %	0.03 %
	NP	NP	NP	NP	NP	NP

III. REMARK

VERY LOW

IV. GRAPHIQ



Durabilitas Clay Shale Hambalang Lapuk Distabilisasi Dengan Semen Portland dan Energi Pemasatan Berlebih

GEOINVES SOIL MECHANICS LABORATORY
SLAKE DURABILITY INDEX TEST

PROJECT	Research : ENERGY COMPACTION EFFECT OF HAMBALANG WEATHERED CLAY SHALE AND PC		
LOCATION	Hambalang, Sentul , Jawa Barat		
SAMPLE NO.	5% PC & 20 B/L	DATE	26 Oktober 2021
DEPTH	RECOMPACTED	TESTED BY	Ega- Hamid

I. PROCEDURE

	Wn	Wn-1	Wn-2	Wn-3	Wn-4	Wn-5	Wn-6	
		6.17	7.92	9.81	11.61	12.17	15.53	
	γ_d (t/m ³)	1.978	2.056	2.068	2.052	2.009	1.903	
1	Weight of sample	Wo	101.01 gr	104.77 gr	107.23 gr	108.08 gr	105.94 gr	104.13 gr
2	Weight of oven drum, Cycle-1	Wd	1161.40 gr	1148.80 gr	1161.40 gr	1148.80 gr	1161.40 gr	1148.80 gr
3	Weight of oven dried sample + Drum before rotated (1 st Cycle)	W1	1262.41 gr	1253.57 gr	1268.63 gr	1256.88 gr	1267.34 gr	1252.93 gr
4	Weight of oven dried sample + Drum after rotated (1 st Cycle)	W2	1226.80 gr	1228.17 gr	1242.31 gr	1224.11 gr	1226.78 gr	1204.44 gr
5	Weight of oven dried sample + Drum before rotated (1 st Cycle)	Wd	1161.40 gr	1148.80 gr	1161.40 gr	1148.80 gr	1161.40 gr	1148.80 gr
6	Weight of oven dried sample + Drum before rotated (2 nd Cycle)	W3	1226.80 gr	1228.17 gr	1242.31 gr	1224.11 gr	1226.78 gr	1204.44 gr
7	Weight of oven dried sample + Drum after rotated (2 nd Cycle)	W4 =	1205.96 gr	1211.97 gr	1224.01 gr	1203.49 gr	1201.60 gr	1182.82 gr
8	Weight of oven dried sample + Drum before rotated (3 rd Cycle)	W5 =						
9	Weight of oven dried sample + Drum after rotated (3 rd Cycle)	W6 =						

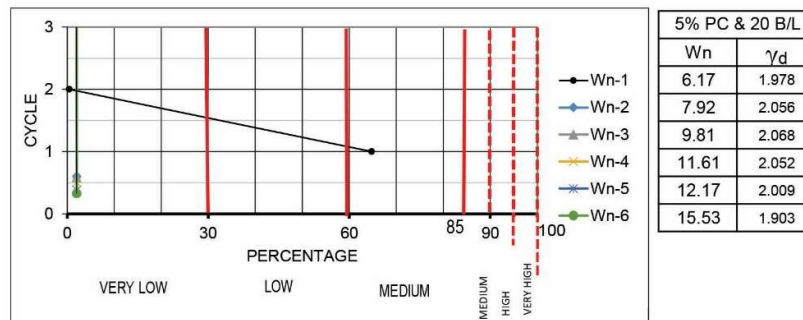
II. CALCULATION

	Cycle	Wn-1	Wn-2	Wn-3	Wn-4	Wn-5	Wn-6	
		6.17	7.92	9.81	11.61	12.17	15.53	
1.	Slake Durability Index, 1 st cycle	=	64.7461 %	75.7564 %	75.4546 %	69.6799 %	61.714 %	53.4332 %
2.	Slake Durability Index, 2 nd cycle	=	0.44 %	0.60 %	0.58 %	0.51 %	0.38 %	0.33 %
3.	Slake Durability Index, 3 rd cycle	=	NP	NP	NP	NP	NP	NP

III. REMARK

VERY LOW

IV. GRAPHIQ



Durabilitas Clay Shale Hambalang Lapuk Distabilisasi Dengan Semen Portland dan Energi Pemasatan Berlebih

GEOINVES SOIL MECHANICS LABORATORY
SLAKE DURABILITY INDEX TEST

PROJECT	Research : ENERGY COMPACTION EFFECT OF HAMBALANG WEATHERED CLAY SHALE AND PC		
LOCATION	Hambalang, Sentul , Jawa Barat		
SAMPLE NO.	10% PC & 20 B/L	DATE	26 Oktober 2021
DEPTH	RECOMPACTED	TESTED BY	Ega- Hamid

I. PROCEDURE

	Wn	Wn-1	Wn-2	Wn-3	Wn-4	Wn-5	Wn-6	
		7.74	8.83	10.80	12.31	14.61	15.92	
	γ_d (t/m ³)	1.967	1.990	2.006	2.005	1.938	1.883	
1	Weight of sample	W _o	97.94 gr	99.12 gr	100.26 gr	103.29 gr	102.04 gr	101.43 gr
2	Weight of oven drum, Cycle-1	W _d	1161.40 gr	1148.80 gr	1161.40 gr	1148.80 gr	1161.40 gr	1148.80 gr
3	Weight of oven dried sample + Drum before rotated (1 st Cycle)	W ₁	1259.14 gr	1247.92 gr	1261.66 gr	1252.09 gr	1264.21 gr	1250.23 gr
4	Weight of oven dried sample + Drum after rotated (1 st Cycle)	W ₂	1236.69 gr	1228.59 gr	1243.10 gr	1233.13 gr	1242.52 gr	1221.60 gr
5	Weight of oven dried sample + Drum before rotated (1 st Cycle)	W _d	1161.40 gr	1148.80 gr	1161.40 gr	1148.80 gr	1161.40 gr	1148.80 gr
6	Weight of oven dried sample + Drum before rotated (2 nd Cycle)	W ₃	1236.69 gr	1228.59 gr	1243.10 gr	1233.13 gr	1242.52 gr	1221.60 gr
7	Weight of oven dried sample + Drum after rotated (2 nd Cycle)	W ₄	1222.80 gr	1212.28 gr	1229.35 gr	1218.78 gr	1223.98 gr	1197.98 gr
8	Weight of oven dried sample + Drum before rotated (3 rd Cycle)	W ₅						
9	Weight of oven dried sample + Drum after rotated (3 rd Cycle)	W ₆						

II. CALCULATION

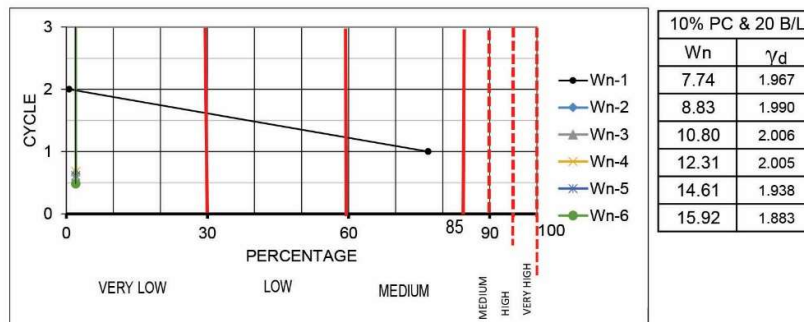
- Slake Durability Index, 1st cycle =
- Slake Durability Index, 2nd cycle =
- Slake Durability Index, 3rd cycle =

Cycle	Wn-1	Wn-2	Wn-3	Wn-4	Wn-5	Wn-6
	7.74	8.83	10.80	12.31	14.61	15.92
1	76.8736 %	80.4984 %	81.4881 %	81.6439 %	79.498 %	71.7736 %
2	0.63 %	0.64 %	0.68 %	0.68 %	0.61 %	0.48 %
	NP	NP	NP	NP	NP	NP

III. REMARK

VERY LOW

IV. GRAPHIQ



Durabilitas Clay Shale Hambalang Lapuk Distabilisasi Dengan Semen Portland dan Energi Pematatan Berlebih

GEOINVES SOIL MECHANICS LABORATORY
SLAKE DURABILITY INDEX TEST

PROJECT	Research : ENERGY COMPACTION EFFECT OF HAMBALANG WEATHERED CLAY SHALE AND PC		
LOCATION	Hambalang, Sentul , Jawa Barat		
SAMPLE NO.	15% PC & 20 B/L	DATE	26 Oktober 2021
DEPTH	RECOMPACTED	TESTED BY	Ega- Hamid

I. PROCEDURE

		Wn	Wn-1	Wn-2	Wn-3	Wn-4	Wn-5	Wn-6
			10.60	12.18	14.27	16.68	18.93	20.50
		γ_d (t/m ³)	1.883	1.907	1.931	1.946	1.876	1.824
1	Weight of sample	Wo	101.21 gr	104.02 gr	107.69 gr	109.39 gr	108.11 gr	106.07 gr
2	Weight of oven drum, Cycle-1	Wd	1161.40 gr	1148.80 gr	1161.40 gr	1148.80 gr	1161.40 gr	1148.80 gr
3	Weight of oven dried sample + Drum before rotated (1 st Cycle)	W1	1262.61 gr	1252.82 gr	1269.09 gr	1258.19 gr	1269.51 gr	1254.87 gr
4	Weight of oven dried sample + Drum after rotated (1 st Cycle)	W2	1249.38 gr	1242.82 gr	1257.98 gr	1247.37 gr	1250.43 gr	1232.95 gr
5	Weight of oven dried sample + Drum before rotated (1 st Cycle)	Wd	1161.40 gr	1148.80 gr	1161.40 gr	1148.80 gr	1161.40 gr	1148.80 gr
6	Weight of oven dried sample + Drum before rotated (2 nd Cycle)	W3	1249.38 gr	1242.82 gr	1257.98 gr	1247.37 gr	1250.43 gr	1232.95 gr
7	Weight of oven dried sample + Drum after rotated (2 nd Cycle)	W4 =	1235.38 gr	1228.75 gr	1243.64 gr	1235.26 gr	1232.67 gr	1217.74 gr
8	Weight of oven dried sample + Drum before rotated (3 rd Cycle)	W5 =						
9	Weight of oven dried sample + Drum after rotated (3 rd Cycle)	W6 =						

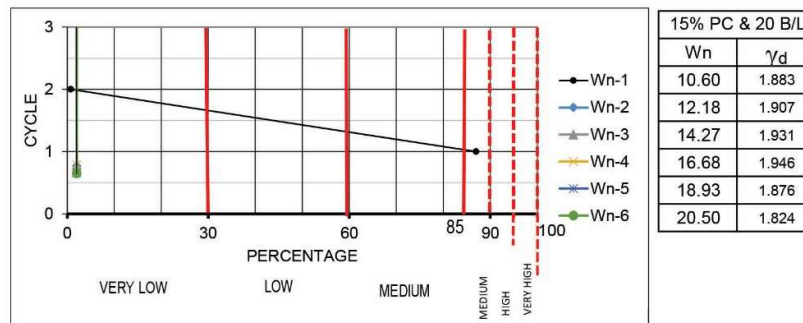
II. CALCULATION

		Cycle	Wn-1	Wn-2	Wn-3	Wn-4	Wn-5	Wn-6
			10.60	12.18	14.27	16.68	18.93	20.50
1.	Slake Durability Index, 1 st cycle	=	86.9282 %	90.3865 %	89.6834 %	90.1088 %	82.351 %	79.3344 %
2.	Slake Durability Index, 2 nd cycle	=	0.73 %	0.77 %	0.76 %	0.79 %	0.66 %	0.65 %
3.	Slake Durability Index, 3 rd cycle	=	NP	NP	NP	NP	NP	NP

III. REMARK

VERY LOW

IV. GRAPHIQ



Durabilitas Clay Shale Hambalang Lapuk Distabilisasi Dengan Semen Portland dan Energi Pemasatan Berlebih

GEOINVES SOIL MECHANICS LABORATORY
SLAKE DURABILITY INDEX TEST

PROJECT	Research : ENERGY COMPACTION EFFECT OF HAMBALANG WEATHERED CLAY SHALE AND PC		
LOCATION	Hambalang, Sentul , Jawa Barat		
SAMPLE NO.	0% PC & 30 B/L	DATE	03-Nov-21
DEPTH	RECOMPACTED	TESTED BY	Ega- Hamid

I. PROCEDURE

	Wn	Wn-1	Wn-2	Wn-3	Wn-4	Wn-5	Wn-6
		7.55	9.08	10.88	13.13	14.86	16.84
	γ_d (t/m ³)	1.966	1.984	2.023	2.083	1.964	1.886
1	Weight of sample	Wo	100.77 gr	103.11 gr	104.63 gr	109.56 gr	104.93 gr
2	Weight of oven drum, Cycle-1	Wd	1161.40 gr	1148.80 gr	1161.40 gr	1148.80 gr	1161.40 gr
3	Weight of oven dried sample + Drum before rotated (1 st Cycle)	W1	1262.17 gr	1151.91 gr	1266.03 gr	1258.36 gr	1253.73 gr
4	Weight of oven dried sample + Drum after rotated (1 st Cycle)	W2	1161.40 gr	1155.14 gr	1180.09 gr	1206.81 gr	1208.08 gr
5	Weight of oven dried sample + Drum before rotated (1 st Cycle)	Wd	1161.40 gr	1148.80 gr	1161.40 gr	1148.80 gr	1161.40 gr
6	Weight of oven dried sample + Drum before rotated (2 nd Cycle)	W3	1161.40 gr	1148.80 gr	1161.40 gr	1206.81 gr	1208.08 gr
7	Weight of oven dried sample + Drum after rotated (2 nd Cycle)	W4 =	1161.40 gr	1148.80 gr	1161.40 gr	1148.80 gr	1161.40 gr
8	Weight of oven dried sample + Drum before rotated (3 rd Cycle)	W5 =					
9	Weight of oven dried sample + Drum after rotated (3 rd Cycle)	W6 =					

II. CALCULATION

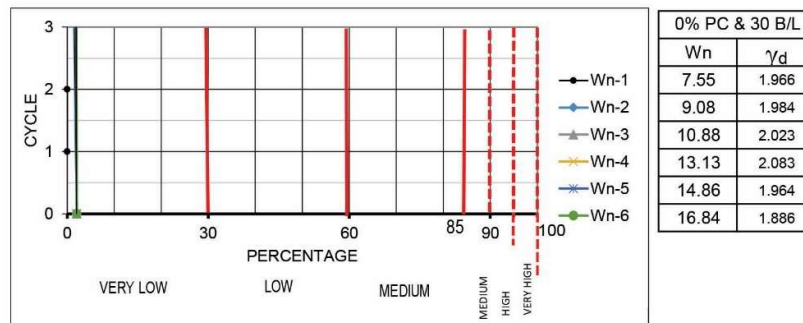
- Slake Durability Index, 1st cycle =
- Slake Durability Index, 2nd cycle =
- Slake Durability Index, 3rd cycle =

Cycle	Wn-1	Wn-2	Wn-3	Wn-4	Wn-5	Wn-6
	7.55	9.08	10.88	13.13	14.86	16.84
1	0.0000 %	6.1488 %	17.8629 %	52.9482 %	43.423 %	36.0526 %
2	0.00 %	0.00 %	0.00 %	0.00 %	0.00 %	0.00 %
	NP	NP	NP	NP	NP	NP

III. REMARK

VERY LOW

IV. GRAPHIQ



Durabilitas Clay Shale Hambalang Lapuk Distabilisasi Dengan Semen Portland dan Energi Pematatan Berlebih

GEOINVES SOIL MECHANICS LABORATORY
SLAKE DURABILITY INDEX TEST

PROJECT	Research : ENERGY COMPACTION EFFECT OF HAMBALANG WEATHERED CLAY SHALE AND PC		
LOCATION	Hambalang, Sentul , Jawa Barat		
SAMPLE NO.	5% PC & 30 B/L	DATE	03-Nov-21
DEPTH	RECOMPACTED	TESTED BY	Ega- Hamid

I. PROCEDURE

	Wn	Wn-1	Wn-2	Wn-3	Wn-4	Wn-5	Wn-6	
		8.99	10.93	13.63	14.88	16.10	17.24	
	γ_d (t/m ³)	1.931	1.965	2.026	1.940	1.916	1.871	
1	Weight of sample	Wo	100.37 gr	104.03 gr	106.26 gr	107.05 gr	106.53 gr	104.58 gr
2	Weight of oven drum, Cycle-1	Wd	1161.40 gr	1148.80 gr	1161.40 gr	1148.80 gr	1161.40 gr	1148.80 gr
3	Weight of oven dried sample + Drum before rotated (1 st Cycle)	W1	1261.77 gr	1252.83 gr	1267.66 gr	1256.75 gr	1267.93 gr	1253.38 gr
4	Weight of oven dried sample + Drum after rotated (1 st Cycle)	W2	1224.40 gr	1224.23 gr	1239.07 gr	1229.89 gr	1227.13 gr	1207.22 gr
5	Weight of oven dried sample + Drum before rotated (1 st Cycle)	Wd	1161.40 gr	1148.80 gr	1161.40 gr	1148.80 gr	1161.40 gr	1148.80 gr
6	Weight of oven dried sample + Drum before rotated (2 nd Cycle)	W3	1224.40 gr	1224.23 gr	1239.07 gr	1229.89 gr	1227.13 gr	1207.22 gr
7	Weight of oven dried sample + Drum after rotated (2 nd Cycle)	W4 =	1188.86 gr	1188.97 gr	1198.08 gr	1192.51 gr	1186.72 gr	1169.37 gr
8	Weight of oven dried sample + Drum before rotated (3 rd Cycle)	W5 =						
9	Weight of oven dried sample + Drum after rotated (3 rd Cycle)	W6 =						

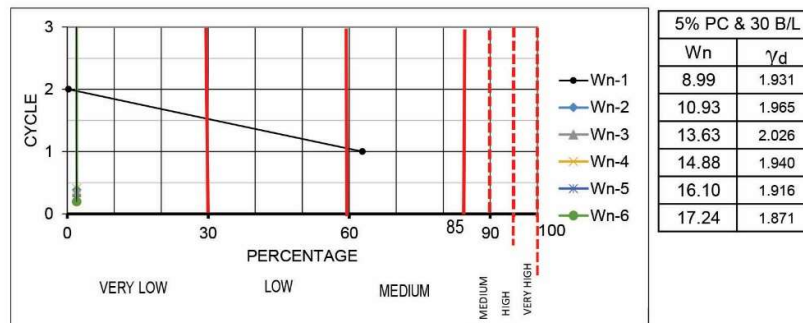
II. CALCULATION

	Cycle	Wn-1	Wn-2	Wn-3	Wn-4	Wn-5	Wn-6	
		8.99	10.93	13.63	14.88	16.10	17.24	
1.	Slake Durability Index, 1 st cycle	=	62.7678 %	72.5079 %	73.0943 %	75.7496 %	61.701 %	55.8615 %
2.	Slake Durability Index, 2 nd cycle	=	0.27 %	0.39 %	0.35 %	0.41 %	0.24 %	0.20 %
3.	Slake Durability Index, 3 rd cycle	=	NP	NP	NP	NP	NP	NP

III. REMARK

VERY LOW

IV. GRAPHIQ



Durabilitas Clay Shale Hambalang Lapuk Distabilisasi Dengan Semen Portland dan Energi Pematatan Berlebih

GEOINVES SOIL MECHANICS LABORATORY
SLAKE DURABILITY INDEX TEST

PROJECT	Research : ENERGY COMPACTION EFFECT OF HAMBALANG WEATHERED CLAY SHALE AND PC		
LOCATION	Hambalang, Sentul , Jawa Barat		
SAMPLE NO.	10 % PC & 30 B/L	DATE	03-Nov-21
DEPTH	RECOMPACTED	TESTED BY	Ega- Hamid

I. PROCEDURE

	Wn	Wn-1	Wn-2	Wn-3	Wn-4	Wn-5	Wn-6	
		8.56	10.29	11.44	13.25	15.61	16.50	
	γ_d (t/m ³)	1.958	1.995	2.010	2.027	1.954	1.913	
1	Weight of sample	Wo	101.41 gr	104.96 gr	106.81 gr	108.59 gr	107.86 gr	106.40 gr
2	Weight of oven drum, Cycle-1	Wd	1161.40 gr	1148.80 gr	1161.40 gr	1148.80 gr	1161.40 gr	1148.80 gr
3	Weight of oven dried sample + Drum before rotated (1 st Cycle)	W1	1262.81 gr	1253.76 gr	1268.21 gr	1257.39 gr	1269.26 gr	1255.20 gr
4	Weight of oven dried sample + Drum after rotated (1 st Cycle)	W2	1239.74 gr	1237.84 gr	1254.01 gr	1236.76 gr	1241.11 gr	1224.94 gr
5	Weight of oven dried sample + Drum before rotated (1 st Cycle)	Wd	1161.40 gr	1148.80 gr	1161.40 gr	1148.80 gr	1161.40 gr	1148.80 gr
6	Weight of oven dried sample + Drum before rotated (2 nd Cycle)	W3	1239.74 gr	1237.84 gr	1254.01 gr	1236.76 gr	1241.11 gr	1224.94 gr
7	Weight of oven dried sample + Drum after rotated (2 nd Cycle)	W4 =	1216.39 gr	1216.95 gr	1231.83 gr	1215.10 gr	1215.29 gr	1200.61 gr
8	Weight of oven dried sample + Drum before rotated (3 rd Cycle)	W5 =						
9	Weight of oven dried sample + Drum after rotated (3 rd Cycle)	W6 =						

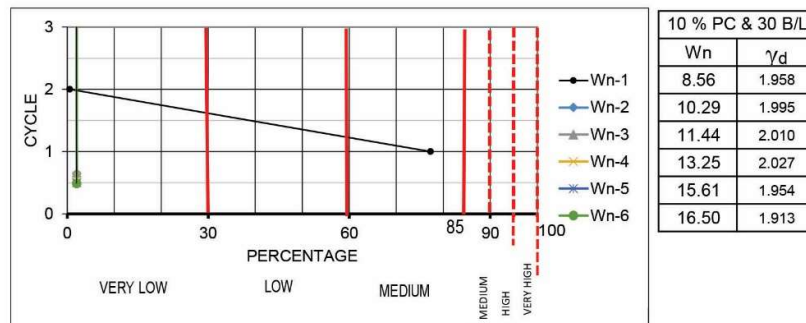
II. CALCULATION

	Cycle	Wn-1	Wn-2	Wn-3	Wn-4	Wn-5	Wn-6	
		8.56	10.29	11.44	13.25	15.61	16.50	
1.	Slake Durability Index, 1 st cycle	=	77.2508 %	84.8323 %	86.7054 %	80.9927 %	73.901 %	71.5602 %
2.	Slake Durability Index, 2 nd cycle	=	0.54 %	0.65 %	0.66 %	0.61 %	0.50 %	0.49 %
3.	Slake Durability Index, 3 rd cycle	=	NP	NP	NP	NP	NP	NP

III. REMARK

VERY LOW

IV. GRAPHIQ



Durabilitas Clay Shale Hambalang Lapuk Distabilisasi Dengan Semen Portland dan Energi Pemasatan Berlebih

GEOINVES SOIL MECHANICS LABORATORY
SLAKE DURABILITY INDEX TEST

PROJECT	Research : ENERGY COMPACTION EFFECT OF HAMBALANG WEATHERED CLAY SHALE AND PC		
LOCATION	Hambalang, Sentul , Jawa Barat		
SAMPLE NO.	15% PC & 30 B/L	DATE	03-Nov-21
DEPTH	RECOMPACTED	TESTED BY	Ega- Hamid

I. PROCEDURE

	Wn	Wn-1	Wn-2	Wn-3	Wn-4	Wn-5	Wn-6	
		10.60	12.18	14.27	16.68	18.93	20.50	
	γ_d (t/m ³)	1.883	1.907	1.931	1.946	1.876	1.824	
1	Weight of sample	Wo	102.34 gr	104.21 gr	105.24 gr	108.49 gr	106.64 gr	104.67 gr
2	Weight of oven drum, Cycle-1	Wd	1161.40 gr	1148.80 gr	1161.40 gr	1148.80 gr	1161.40 gr	1148.80 gr
3	Weight of oven dried sample + Drum before rotated (1 st Cycle)	W1	1263.74 gr	1253.01 gr	1264.64 gr	1257.29 gr	1268.04 gr	1253.47 gr
4	Weight of oven dried sample + Drum after rotated (1 st Cycle)	W2	1220.20 gr	1220.91 gr	1248.31 gr	1236.91 gr	1242.84 gr	1218.67 gr
5	Weight of oven dried sample + Drum before rotated (1 st Cycle)	Wd	1161.40 gr	1148.80 gr	1161.40 gr	1148.80 gr	1161.40 gr	1148.80 gr
6	Weight of oven dried sample + Drum before rotated (2 nd Cycle)	W3	1220.20 gr	1220.91 gr	1248.31 gr	1236.91 gr	1242.84 gr	1218.67 gr
7	Weight of oven dried sample + Drum after rotated (2 nd Cycle)	W4 =	1190.04 gr	1201.63 gr	1217.07 gr	1210.70 gr	1213.30 gr	1179.24 gr
8	Weight of oven dried sample + Drum before rotated (3 rd Cycle)	W5 =						
9	Weight of oven dried sample + Drum after rotated (3 rd Cycle)	W6 =						

II. CALCULATION

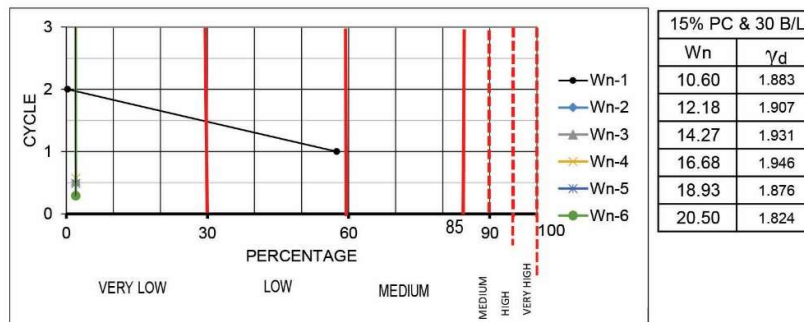
- Slake Durability Index, 1st cycle =
- Slake Durability Index, 2nd cycle =
- Slake Durability Index, 3rd cycle =

Cycle	Wn-1	Wn-2	Wn-3	Wn-4	Wn-5	Wn-6
	10.60	12.18	14.27	16.68	18.93	20.50
1	57.4555 %	69.1968 %	82.5827 %	81.2149 %	76.369 %	66.7527 %
2	0.28 %	0.51 %	0.53 %	0.57 %	0.49 %	0.29 %
	NP	NP	NP	NP	NP	NP

III. REMARK

VERY LOW

IV. GRAPHIQ



Durabilitas Clay Shale Hambalang Lapuk Distabilisasi Dengan Semen Portland dan Energi Pemasatan Berlebih

GEOINVES SOIL MECHANICS LABORATORY
SLAKE DURABILITY INDEX TEST

PROJECT	Research : ENERGY COMPACTION EFFECT OF HAMBALANG WEATHERED CLAY SHALE AND PC		
LOCATION	Hambalang, Sentul , Jawa Barat		
SAMPLE NO.	0% PC & 30 B/L+ Press	DATE	19-Nov-17
DEPTH	RECOMPACTED	TESTED BY	Ega- Hamid

I. PROCEDURE

		Wn	Wn-1	Wn-2	Wn-3	Wn-4	Wn-5	Wn-6
			4.83	6.96	8.60	10.67	12.31	13.74
		γ_d (t/m ³)	2.142	2.157	2.141	2.109	2.049	2.013
1	Weight of sample	Wo	107.17 gr	110.14 gr	110.89 gr	111.32 gr	109.82 gr	109.21 gr
2	Weight of oven drum, Cycle-1	Wd	1161.40 gr	1148.80 gr	1161.40 gr	1148.80 gr	1161.40 gr	1148.80 gr
3	Weight of oven dried sample + Drum before rotated (1 st Cycle)	W1	1268.57 gr	1258.94 gr	1272.29 gr	1260.12 gr	1271.22 gr	1258.01 gr
4	Weight of oven dried sample + Drum after rotated (1 st Cycle)	W2	1171.50 gr	1181.14 gr	1207.27 gr	1217.65 gr	1201.61 gr	1185.56 gr
5	Weight of oven dried sample + Drum before rotated (1 st Cycle)	Wd	1161.40 gr	1148.80 gr	1161.40 gr	1148.80 gr	1161.40 gr	1148.80 gr
6	Weight of oven dried sample + Drum before rotated (2 nd Cycle)	W3	1171.50 gr	1181.14 gr	1207.27 gr	1217.65 gr	1201.61 gr	1185.56 gr
7	Weight of oven dried sample + Drum after rotated (2 nd Cycle)	W4 =	1161.40 gr	1148.80 gr	1169.33 gr	1161.81 gr	1174.45 gr	1156.41 gr
8	Weight of oven dried sample + Drum before rotated (3 rd Cycle)	W5 =						
9	Weight of oven dried sample + Drum after rotated (3 rd Cycle)	W6 =						

II. CALCULATION

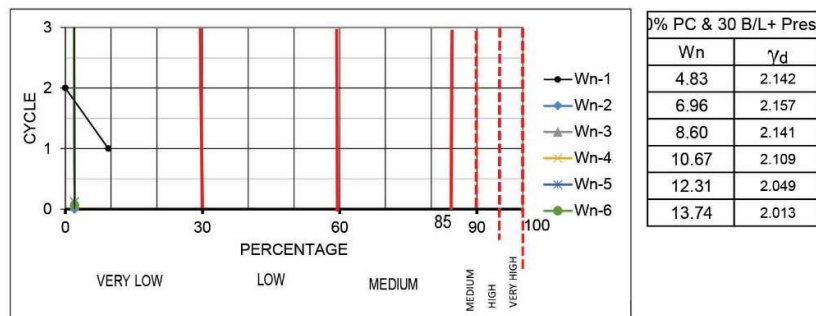
- Slake Durability Index, 1st cycle =
- Slake Durability Index, 2nd cycle =
- Slake Durability Index, 3rd cycle =

Cycle	Wn-1	Wn-2	Wn-3	Wn-4	Wn-5	Wn-6
	4.83	6.96	8.60	10.67	12.31	13.74
1	9.4243 %	29.3626 %	41.3653 %	61.8487 %	36.614 %	33.6599 %
2	0.00 %	0.00 %	0.07 %	0.12 %	0.12 %	0.07 %
	NP	NP	NP	NP	NP	NP

III. REMARK

VERY LOW

IV. GRAPHIQ



Durabilitas Clay Shale Hambalang Lapuk Distabilisasi Dengan Semen Portland dan Energi Pemasatan Berlebih

GEOINVES SOIL MECHANICS LABORATORY
SLAKE DURABILITY INDEX TEST

PROJECT	Research : ENERGY COMPACTION EFFECT OF HAMBALANG WEATHERED CLAY SHALE AND PC		
LOCATION	Hambalang, Sentul , Jawa Barat		
SAMPLE NO.	5 % PC & 30 B/L+ Press	DATE	19-Nov-17
DEPTH	RECOMPACTED	TESTED BY	Ega- Hamid

I. PROCEDURE

	Wn	Wn-1	Wn-2	Wn-3	Wn-4	Wn-5	Wn-6	
		3.36	6.27	8.15	9.76	11.55	13.15	
	γ_d (t/m ³)	2.102	2.118	2.148	2.129	2.083	2.023	
1	Weight of sample	Wo	103.68 gr	107.40 gr	110.88 gr	111.41 gr	110.88 gr	109.14 gr
2	Weight of oven drum, Cycle-1	Wd	1161.40 gr	1148.80 gr	1161.40 gr	1148.80 gr	1161.40 gr	1148.80 gr
3	Weight of oven dried sample + Drum before rotated (1 st Cycle)	W1	1265.08 gr	1256.20 gr	1279.28 gr	1260.31 gr	1272.28 gr	1257.94 gr
4	Weight of oven dried sample + Drum after rotated (1 st Cycle)	W2	1185.40 gr	1222.64 gr	1246.53 gr	1236.39 gr	1251.66 gr	1222.16 gr
5	Weight of oven dried sample + Drum before rotated (1 st Cycle)	Wd	1161.40 gr	1148.80 gr	1161.40 gr	1148.80 gr	1161.40 gr	1148.80 gr
6	Weight of oven dried sample + Drum before rotated (2 nd Cycle)	W3	1185.40 gr	1222.64 gr	1246.53 gr	1236.39 gr	1251.66 gr	1222.16 gr
7	Weight of oven dried sample + Drum after rotated (2 nd Cycle)	W4 =	1176.60 gr	1207.03 gr	1223.52 gr	1211.92 gr	1231.16 gr	1198.63 gr
8	Weight of oven dried sample + Drum before rotated (3 rd Cycle)	W5 =						
9	Weight of oven dried sample + Drum after rotated (3 rd Cycle)	W6 =						

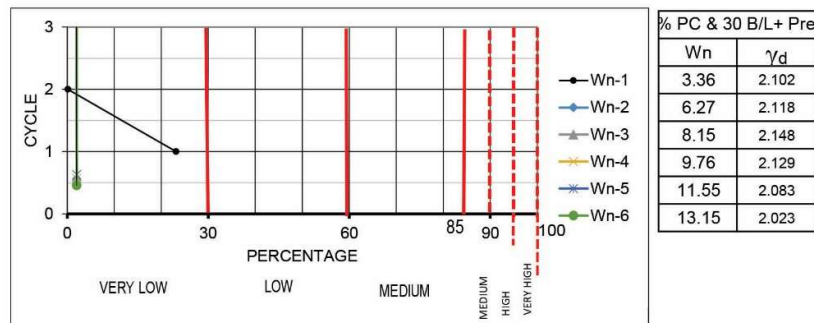
II. CALCULATION

	Cycle	Wn-1	Wn-2	Wn-3	Wn-4	Wn-5	Wn-6	
		3.36	6.27	8.15	9.76	11.55	13.15	
1.	Slake Durability Index, 1 st cycle	=	23.1481 %	68.7523 %	76.7767 %	78.6195 %	81.403 %	67.2164 %
2.	Slake Durability Index, 2 nd cycle	=	0.15 %	0.54 %	0.56 %	0.57 %	0.63 %	0.46 %
3.	Slake Durability Index, 3 rd cycle	=	NP	NP	NP	NP	NP	NP

III. REMARK

VERY LOW

IV. GRAPHIQ



Durabilitas Clay Shale Hambalang Lapuk Distabilisasi Dengan Semen Portland dan Energi Pemasatan Berlebih

GEOINVES SOIL MECHANICS LABORATORY
SLAKE DURABILITY INDEX TEST

PROJECT	Research : ENERGY COMPACTION EFFECT OF HAMBALANG WEATHERED CLAY SHALE AND PC		
LOCATION	Hambalang, Sentul , Jawa Barat		
SAMPLE NO.	10 % PC & 30 B/L+ Press	DATE	24-Nov-21
DEPTH	RECOMPACTED	TESTED BY	Ega- Hamid

I. PROCEDURE

	Wn	Wn-1	Wn-2	Wn-3	Wn-4	Wn-5	Wn-6	
		7.85	9.22	10.80	13.47	14.62	16.06	
	γ_d (t/m ³)	2.060	2.082	2.100	2.062	2.032	1.967	
1	Weight of sample	W _o	105.94 gr	108.47 gr	110.89 gr	111.65 gr	111.11 gr	108.90 gr
2	Weight of oven drum, Cycle-1	W _d	1161.40 gr	1148.80 gr	1161.40 gr	1148.80 gr	1161.40 gr	1148.80 gr
3	Weight of oven dried sample + Drum before rotated (1 st Cycle)	W ₁	1267.34 gr	1257.27 gr	1272.29 gr	1260.45 gr	1272.55 gr	1257.70 gr
4	Weight of oven dried sample + Drum after rotated (1 st Cycle)	W ₂	1217.21 gr	1239.38 gr	1252.74 gr	1241.28 gr	1245.60 gr	1238.41 gr
5	Weight of oven dried sample + Drum before rotated (1 st Cycle)	W _d	1161.40 gr	1148.80 gr	1161.40 gr	1148.80 gr	1161.40 gr	1148.80 gr
6	Weight of oven dried sample + Drum before rotated (2 nd Cycle)	W ₃	1217.21 gr	1239.38 gr	1252.74 gr	1241.28 gr	1245.60 gr	1238.41 gr
7	Weight of oven dried sample + Drum after rotated (2 nd Cycle)	W ₄	1208.34 gr	1225.74 gr	1238.96 gr	1229.50 gr	1227.61 gr	1218.30 gr
8	Weight of oven dried sample + Drum before rotated (3 rd Cycle)	W ₅						
9	Weight of oven dried sample + Drum after rotated (3 rd Cycle)	W ₆						

II. CALCULATION

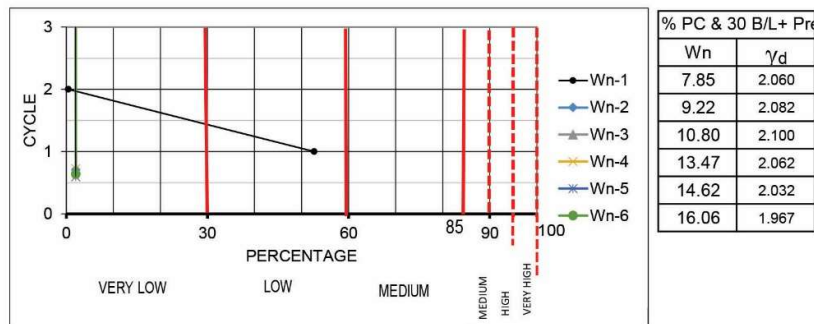
- Slake Durability Index, 1st cycle =
- Slake Durability Index, 2nd cycle =
- Slake Durability Index, 3rd cycle =

Cycle	Wn-1	Wn-2	Wn-3	Wn-4	Wn-5	Wn-6
	7.85	9.22	10.80	13.47	14.62	16.06
1	52.6808 %	83.5070 %	82.3699 %	82.8303 %	75.781 %	82.2865 %
2	0.44 %	0.71 %	0.70 %	0.72 %	0.60 %	0.64 %
	NP	NP	NP	NP	NP	NP

III. REMARK

VERY LOW

IV. GRAPHIQ



Durabilitas Clay Shale Hambalang Lapuk Distabilisasi Dengan Semen Portland dan Energi Pemasatan Berlebih

GEOINVES SOIL MECHANICS LABORATORY
SLAKE DURABILITY INDEX TEST

PROJECT	Research : ENERGY COMPACTION EFFECT OF HAMBALANG WEATHERED CLAY SHALE AND PC		
LOCATION	Hambalang, Sentul , Jawa Barat		
SAMPLE NO.	15 % PC & 30 B/L+ Press	DATE	24-Nov-21
DEPTH	RECOMPACTED	TESTED BY	Ega- Hamid

I. PROCEDURE

	Wn	Wn-1	Wn-2	Wn-3	Wn-4	Wn-5	Wn-6	
		8.57	10.62	12.43	13.66	15.18	17.59	
	γ_d (t/m ³)	1.995	2.015	2.041	2.040	1.987	1.914	
1	Weight of sample	Wo	102.34 gr	104.21 gr	105.24 gr	108.49 gr	106.64 gr	104.67 gr
2	Weight of oven drum, Cycle-1	Wd	1161.40 gr	1148.80 gr	1161.40 gr	1148.80 gr	1161.40 gr	1148.80 gr
3	Weight of oven dried sample + Drum before rotated (1 st Cycle)	W1	1267.09 gr	1256.89 gr	1270.72 gr	1259.36 gr	1270.54 gr	1256.11 gr
4	Weight of oven dried sample + Drum after rotated (1 st Cycle)	W2	1252.03 gr	1246.11 gr	1259.82 gr	1248.26 gr	1250.23 gr	1231.99 gr
5	Weight of oven dried sample + Drum before rotated (1 st Cycle)	Wd	1161.40 gr	1148.80 gr	1161.40 gr	1148.80 gr	1161.40 gr	1148.80 gr
6	Weight of oven dried sample + Drum before rotated (2 nd Cycle)	W3	1252.03 gr	1246.11 gr	1259.82 gr	1248.26 gr	1250.23 gr	1231.99 gr
7	Weight of oven dried sample + Drum after rotated (2 nd Cycle)	W4 =	1236.20 gr	1232.77 gr	1245.65 gr	1231.90 gr	1231.51 gr	1215.52 gr
8	Weight of oven dried sample + Drum before rotated (3 rd Cycle)	W5 =						
9	Weight of oven dried sample + Drum after rotated (3 rd Cycle)	W6 =						

II. CALCULATION

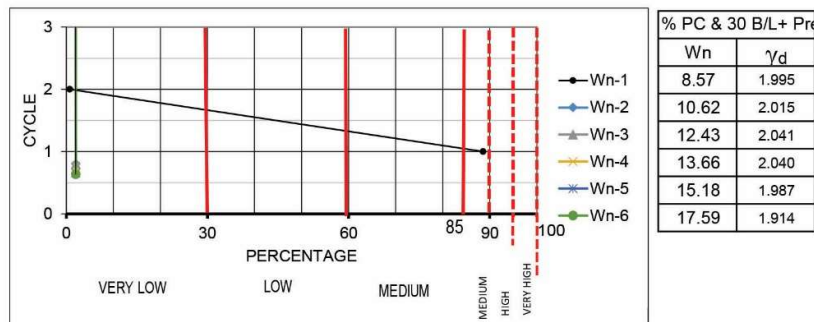
- Slake Durability Index, 1st cycle =
- Slake Durability Index, 2nd cycle =
- Slake Durability Index, 3rd cycle =

Cycle	Wn-1	Wn-2	Wn-3	Wn-4	Wn-5	Wn-6
	8.57	10.62	12.43	13.66	15.18	17.59
1	88.5577 %	93.3788 %	93.5196 %	91.6767 %	83.299 %	79.4784 %
2	0.73 %	0.81 %	0.80 %	0.77 %	0.66 %	0.64 %
	NP	NP	NP	NP	NP	NP

III. REMARK

VERY LOW

IV. GRAPHIQ



Durabilitas Clay Shale Hambalang Lapuk Distabilisasi Dengan Semen Portland dan Energi Pemadatan Berlebih